

**ÉTUDE DES OSCILLATEURS  
À LONGUEURS D'ONDES MULTIPLES  
Les OLOM**

**De Georges Lakhovsky à nos jours**

On en reparlera - - - -

Bon courage

Cordialement

(R)

# SOMMAIRE

## Table des matières

1	PRINCIPES GÉNÉRAUX .....	4
1.1	L'Oscillateur à Longueurs d'Ondes Multiples de G. Lakhovsky .....	4
1.2	Le générateur.....	5
1.3	Les excitateurs.....	5
1.4	Le but recherché par G. Lakhovsky .....	6
2	ESSAIS EFFECTUÉS Le 18 – 01 - 2002.....	9
2.1	L'OSCILLATEUR DE Georges LAKHOVSKY .....	9
	Version simplifiée	9
2.2	LE MATÉRIEL UTILISÉ.....	9
2.3	LES ESSAIS .....	9
2.3.1	Essais avec un seul résonateur .....	9
2.3.2	Essais avec deux résonateurs espacés de 82cm .....	10
2.3.3	Essais avec deux résonateurs espacés de 1,2m.....	10
3	ESSAIS EFFECTUÉS le 01 - 02 - 02.....	19
3.1	L'OSCILLATEUR DE GUY THIEUX.....	19
3.2	LE MATÉRIEL UTILISÉ.....	19
3.3	LES ESSAIS .....	20
3.3.1	Essais avec deux résonateurs espacés de 82cm .....	20
3.3.2	Essais avec deux antennes espacées de 1,2m .....	20
4	L'ÉTUDE DE L'AMPOULE "FLICKER" .....	26
4.1	LES COMPOSANTS.....	26
4.2	LES ESSAIS .....	26
4.2.1	Essais avec l'ampoule néon posée sur une plaque en bois .....	26
4.2.2	Essais avec l'ampoule néon posée sur une plaque métallique.....	27
4.2.3	Essais identiques aux deux précédents avec les résonateurs déconnectés.....	27
4.3	ANALYSE DE DIVERS PARAMÈTRES .....	31
4.3.1	Influence du point d'injection sur le diffuseur .....	31
4.3.2	Influence du sens de branchement des résonateurs .....	31
4.4	CONCLUSION.....	32
5	ESSAIS EFFECTUÉS le 10 – 01 – 2003 .....	33
5.1	L'OSCILLATEUR M.W.O .....	33
5.1.1	LE MATÉRIEL UTILISÉ.....	33
5.1.2	LES ESSAIS .....	34
5.2	L'OSCILLATEUR M.W.O et RÉSONATEURS « Thieux » avec spires alignées ..	40
5.2.1	LE MATÉRIEL UTILISÉ.....	40
5.3	L'OSCILLATEUR M.W.O et RÉSONATEURS « Thieux » avec spires alternées ..	45
5.3.1	LE MATÉRIEL UTILISÉ .....	45
5.4	L'OSCILLATEUR « DIETI-NATURE » .....	49
5.5	CONCLUSION.....	52
5.5.1	Concernant l'oscillateur MWO .....	52
5.5.2	Concernant les diffuseurs de type MWO.....	52
5.5.3	Concernant les diffuseurs de type « Thieux » .....	52
5.5.4	Concernant les effets des arcs électriques .....	52
5.5.5	Influence de l'injection à travers une ampoule néon .....	52

5.5.6	Conclusion provisoire.....	52
6	ESSAIS EFFECTUÉS Le 06 – 06 -2003.....	53
6.1	ÉTUDE DE L’OSCILLATEUR DE “LANCOSME” .....	53
6.1.1	LE MATÉRIEL UTILISÉ.....	53
6.1.2	LES ESSAIS.....	53
6.2	ÉTUDE DES EFFETS DES ARCS ÉLECTRIQUES .....	56
6.2.1	LE MATÉRIEL UTILISÉ.....	56
6.2.2	LES ESSAIS.....	56
6.2.3	Résultats.....	57
6.3	ÉTUDE DES DIFFUSEURS DE LANCOSME.....	62
6.3.1	LE MATÉRIEL UTILISÉ.....	62
6.3.2	LES ESSAIS.....	62
6.3.3	Résultats.....	62
6.4	CONCLUSION.....	64
6.4.1	Concernant l’oscillateur de type « Lancosme ».....	64
6.4.2	Concernant les dispositifs de génération des arcs électriques .....	64
7	ESSAIS EFFECTUÉS Le 16 – 01 - 2004.....	65
7.1	L’OSCILLATEUR “TESLAKOV” .....	65
7.1.1	LE MATÉRIEL UTILISÉ.....	65
7.1.2	LES ESSAIS.....	65
7.2	ÉTUDE D’UNE COPIE DU LAKHOVSKY.....	69
7.2.1	LE MATÉRIEL UTILISÉ.....	69
7.2.2	LES ESSAIS.....	69
7.2.3	Conclusion.....	71
8	ESSAIS EFFECTUÉS Le 12 - 03 - 2004 .....	72
8.1.1	L’OSCILLATEUR “TESLAKOV” Études complémentaires .....	72
8.1.2	LE MATÉRIEL UTILISÉ.....	72
8.1.3	LES ESSAIS SUR L’OSCILLATEUR TESLAKOV .....	72
8.1.4	Les résultats .....	73
8.1.5	L’ÉTUDE COMPARATIVE DES DIFFUSEURS DE TYPE DECLA ET THIEUX.....	73
8.2	Conclusion.....	77
9	ESSAIS EFFECTUÉS Le 19 – 07 - 2007.....	78
9.1	L’OSCILLATEUR DE Georges LAKHOVSKY Version complète.....	78
9.1.1	LE MATÉRIEL UTILISÉ.....	78
9.1.2	LES ESSAIS.....	78
9.1.3	Conclusion.....	84

# 1 PRINCIPES GÉNÉRAUX

Le concept de « l'Oscillateur à Longueurs d'Ondes Multiples » (OLOM) est dû à Georges Lakhovsky. Pour mémoire, il faut rappeler que cet appareil a fait l'objet d'une utilisation importante dans de nombreux hôpitaux à partir de l'année 1931, avec des résultats souvent spectaculaires.

Depuis cette époque, de nombreux chercheurs se sont penchés sur ce concept, ce qui a débouché sur toute une gamme d'OLOM. **Une confusion a fini par s'établir** qu'il convient de dénoncer car les conséquences thérapeutiques sont importantes : **tous les OLOM ne sont pas des oscillateurs de Lakhovsky et sont loin d'obtenir les mêmes résultats**, tant s'en faut !

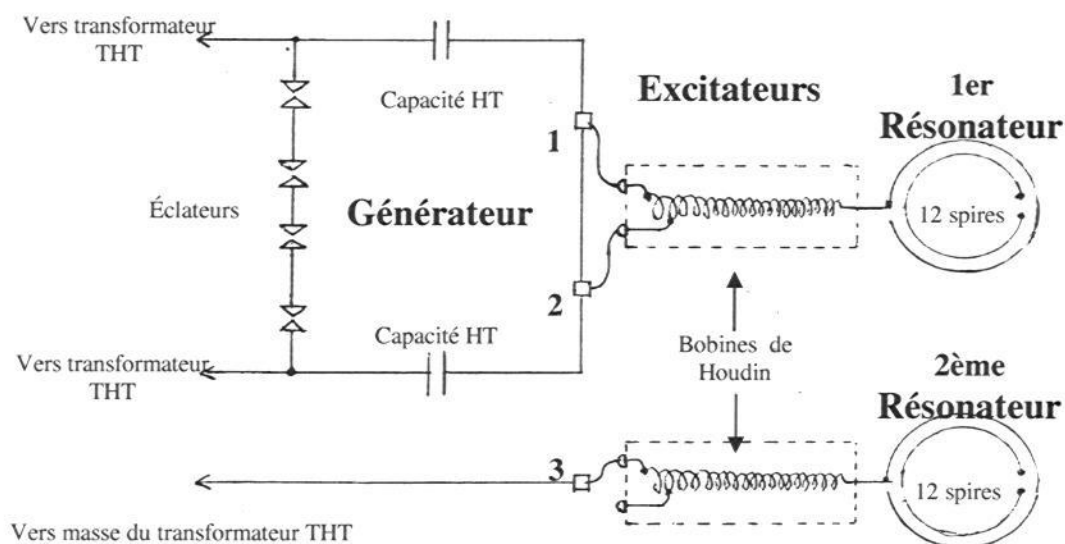
Dans le but d'apporter un minimum d'objectivité sur ce sujet, nous avons procédé au relevé de certaines caractéristiques du spectre d'émission de divers appareils. Pour lever toute ambiguïté, il faut ajouter qu'il s'agit là d'études minimales qui mériteraient d'être reprises et complétées avec des moyens techniques beaucoup plus importants.

## 1.1 L'Oscillateur à Longueurs d'Ondes Multiples de G. Lakhovsky

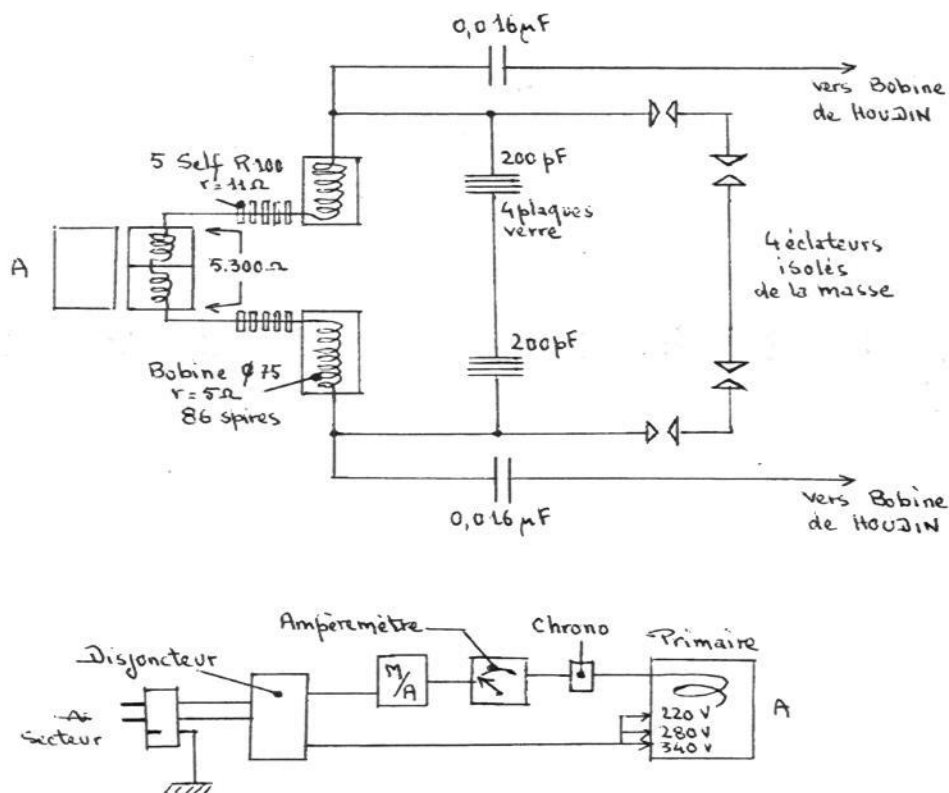
Cet oscillateur comporte trois grandes parties :

- un générateur,
- deux excitateurs,
- deux résonateurs (encore appelés diffuseurs).

Le schéma ci-après en donne une représentation générale :



## 1.2 Le générateur



## 1.3 Les excitateurs

L'excitateur est un autotransformateur de Oudin.

Le bobinage se trouve sur un cylindre en Lucoflex jaune de 10,5 cm de diamètre et de 35 cm de long. Il est protégé par un cylindre en Lucoflex marron. Les deux extrémités de celui-ci sont constituées par une joue en bois verni. L'une d'elles est munie des deux connecteurs qui assurent la liaison avec le générateur.

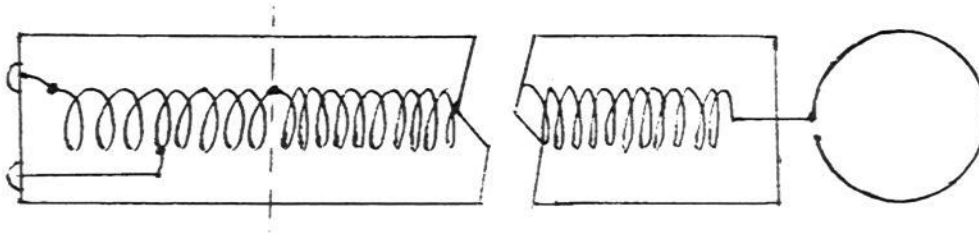
Le primaire comprend 8 spires d'un fil de  $\varnothing 2$  mm dont l'écartement est assuré par un fil en coton de  $\varnothing 2$  mm. Une connexion, obtenue expérimentalement (dans le but de créer un maximum d'effluves au niveau des résonateurs), est réalisée dans la machine en objet à environ 4 tours  $\frac{1}{2}$  de ce bobinage et constitue la borne de « masse ». L'autre extrémité est soudée sur le secondaire.

Le secondaire est constitué par 270 spires de fil de  $\varnothing 0,5$  mm isolé (1,1 mm avec l'isolant), dont l'extrémité constitue la borne « active », laquelle est reliée directement à une spire ouverte de 49 cm de diamètre intérieur qui sert d'excitateur.

**Primaire**  
8 spires de  $\varnothing 2$  mm

**Secondaire**  
270 spires de  $\varnothing 0,5$  mm

**Spire ouverte**  
de  $\varnothing 49$  cm



### Les résonateurs

Chaque résonateur est composé de 12 oscillateurs constitués par des spires ouvertes réalisées avec différents métaux. Les deux extrémités des spires se terminent par des boules afin de limiter l'effet Corona.

L'ensemble est fixé sur deux croisillons en Lucoflex blanc.

Les diamètres intérieurs et les sections des spires (en cm) sont approximativement les suivants :

N°	1	2	3	4	5	6	7	8	9	10	11	12
Ø spire (cm)	40,5	32,5	27	22	18	14,5	11	8	5	3	2	
Ø fil (cm)	1,6	1,3	1	0,9	0,8	0,7	0,6	0,5	0,5	0,4	0,3	0,2

Dans ce qui suit, nous allons rappeler les concepts généraux qui ont amené G. Lakhovsky à concevoir son générateur.

### 1.4 Le but recherché par G. Lakhovsky

**Le but poursuivi par celui-ci était de générer un spectre d'ondes capable d'entrer en résonance avec les cellules vivantes. Selon lui, ce procédé devait entraîner une activation et une optimisation des vibrations de celles-ci, ce qui devait redonner aux cellules déficientes une énergie suffisante pour leur permettre de retrouver leurs caractéristiques vibratoires nominales.**

Aujourd'hui, il existe de nombreuses études concernant la susceptibilité des cellules vivantes aux ondes électromagnétiques et en particulier à certaines fréquences spécifiques. Le dossier INRS ED 785 fait état des résultats obtenus par certaines d'entre elles, ce qui donne une idée sommaire des interactions possibles.

En résumé, on peut en conclure que les cellules vivantes possèdent bien des récepteurs capables d'entrer en résonance avec ces ondes, ce qui prouve que les concepts de G. Lakhovsky étaient tout à fait fondés.

### L'utilisation de ce concept dans la « déprogrammation » cellulaire

#### *L'objectivation des « spectres vibratoires » de la matière*

Lorsqu'on intercale un produit quelconque (médicament, vaccin, aliment, etc.) entre l'oscillateur et le sujet à traiter, on a constaté deux choses particulièrement intéressantes :

- 1 - Que les effets obtenus ne sont pas les mêmes qu'avec l'oscillateur seul.
- 2 - Que ces effets ont généralement un rapport direct avec le produit utilisé.

**Ce qui permet de conclure que le produit interposé génère un spectre d'ondes spécifiques.**

Pour donner de ce phénomène une image plus familière, nous dirons que le spectre du produit « parasite » en quelque sorte celui de l'oscillateur.

Si l'on se place sur le plan électronique, on peut dire que tout se passe comme si certaines des ondes émises par l'oscillateur jouaient le rôle d'ondes « porteuses » et que celles-ci étaient « modulées » par le spectre du produit intercalé.

#### ***Le phénomène de la « mémorisation » cellulaire***

Lorsqu'un organisme est exposé de manière répétitive à un produit agressif, il est bien connu que les réactions de l'organisme sont souvent de plus en plus rapides et importantes ; c'est le phénomène des allergies. La mémorisation cellulaire est ici directement apparente, mais il semble évident que, dans la grande majorité des cas, elle reste invisible.

**De ce simple fait, on peut déduire que certains récepteurs cellulaires sont capables de « mémoriser » un spectre vibratoire spécifique, avec toutes les conséquences que cela implique dès qu'apparaît la moindre sollicitation.**

#### **Comment « déprogrammer » ces mémoires ?**

Compte tenu de ce qui précède, on peut envisager la possibilité d'obtenir une déprogrammation en utilisant le principe suivant :

- primo, exposer le sujet à traiter aux effets de l'oscillateur de manière à optimiser ses vibrations cellulaires,

- secundo, interposer entre l'oscillateur et le sujet à traiter un produit qui a été mémorisé par celui-ci. Ce procédé permet de moduler les ondes de l'oscillateur avec celles du spectre du produit intercalé, ce qui a pour effet d'entraîner au niveau des cellules les mêmes séquences fonctionnelles spécifiques que si elles se trouvaient en présence du produit réel.

**L'intérêt de cette méthode c'est que, d'une part, l'organisme n'a pas à lutter contre une agression réelle, mais contre son « fantôme » et que, d'autre part, il est incité à retrouver son état normal, ce qui peut être résumé comme suit :**

**La théorie que l'on peut émettre ici est la suivante :**

- d'une part, l'oscillateur fournit aux cellules une énergie destinée à les aider à retrouver leur registre vibratoire nominal,
- d'autre part, ces cellules sont amenées à réagir contre le fantôme d'un produit qu'elles ne parviennent pas à éliminer.

**On peut donc considérer que, ce faisant, on augmente considérablement les chances de parvenir à éliminer les traces de celui-ci et "d'effacer" ainsi les mémoires cellulaires.**

**En résumé, il s'agit bien, d'une certaine manière, d'un processus de « déprogrammation ».**

#### **NOTA**

Il est intéressant de remarquer que cette théorie présente des points communs avec l'Homéopathie.

Toutes les expérimentations qui suivent ont été effectuées en collaboration par :  
MM. DECAIX Roland et LAHITTE Pierre

### **Récapitulatif des expérimentations effectuées :**

- 1 – Le 18 janvier 2002  
L'oscillateur de G. Lakhovsky simplifié
- 2 – Le 1er février 2002  
L'oscillateur de Guy Thieux  
La lampe à plasma « Flicker » de 2/3 W
- 3 – Le 10 janvier 2003  
Le Multi Wave Oscillateur (MWO) fabriqué en Hollande  
L'Holo Électron
- 4 – Le 6 juin 2003  
L'oscillateur de « Lancosme »  
L'Holo Électron avec les arcs électriques  
L'Holo Électron avec des vis platinées réglables
- 5 – Le 16 janvier 2004  
La « Teslakov »  
Une copie conforme de l'oscillateur de G. Lakhovsky simplifié
- 6 – Le 18 juillet 2007  
L'oscillateur de G. Lakhovsky dans sa version complète

## **2      ESSAIS EFFECTUÉS Le 18 – 01 - 2002**

### **2.1      L'OSCILLATEUR DE Georges LAKHOVSKY Version simplifiée**

### **2.2      LE MATÉRIEL UTILISÉ**

Il s'agit d'un vrai oscillateur de Lakhovsky, conforme au schéma donné précédemment, mais incomplet du fait de l'absence des excitateurs (bobines de Houdin).

En conséquence, la configuration n'est pas celle d'origine. Dans le cas présent, le 1er résonateur est relié à la sortie 1 et le second à la sortie 2.

Le générateur utilisé est un matériel d'époque qui a été en partie restauré.

Les résonateurs sont d'origine. L'un est en partie détérioré (manque de quelques spires).

### **2.3      LES ESSAIS**

#### **2.3.1      Essais avec un seul résonateur**

##### ***Configuration***

Le centre du résonateur est situé à 1,31m du sol.

L'excitation est faite au milieu du premier dipôle (photo n°2).

##### ***Moyen de mesure***

Les signaux émis sont captés au moyen d'une antenne située à 1,15m dans l'axe (photo n°2).

**Résultats** : les photos n°4, 5 et 6 montrent l'existence d'un spectre allant jusqu'à 10 GHz avec des niveaux qui décroissent rapidement jusqu'à 200 Mhz.

## 2.3.2 Essais avec deux résonateurs espacés de 82cm

### *Configuration*

Les essais sont effectués avec deux résonateurs espacés de 82cm (distance nominale préconisée par G. Lakhovsky). Les autres paramètres sont inchangés.

**Résultats** : les photos n°7, 8 et 9 ne montrent pas de différences très significatives par rapport à un seul résonateur.

## 2.3.3 Essais avec deux résonateurs espacés de 1,2m

### *1<sup>ère</sup> configuration*

Les deux résonateurs sont espacés de 1,2m. Les autres paramètres sont inchangés.

**Résultats** : les photos n°12, 13, 14 et 15 ne montrent pas de différences très significatives par rapport aux essais précédents.

### *2<sup>ème</sup> configuration*

Un seul résonateur est branché. Les autres paramètres sont inchangés.

**Résultats** : la photo 16 ne montre pas de différences très significatives par rapport aux essais précédents.

### *3<sup>ème</sup> configuration*

Un seul résonateur est branché.

L'excitation est faite sur l'une des extrémités du dipôle comme il apparaît sur les photos représentant l'appareil de G. Lakhovsky.

**Résultats** : la photo 17 ne montre pas de différences très significatives par rapport aux essais précédents.

Les photos 18 et 19 permettent de compléter la compréhension du fonctionnement de l'appareil. Le spectre est émis tous les 10 millisecondes (100 Hz) et dure 2 millisecondes.

# Oscillateur de LAKHOVSKY incomplet

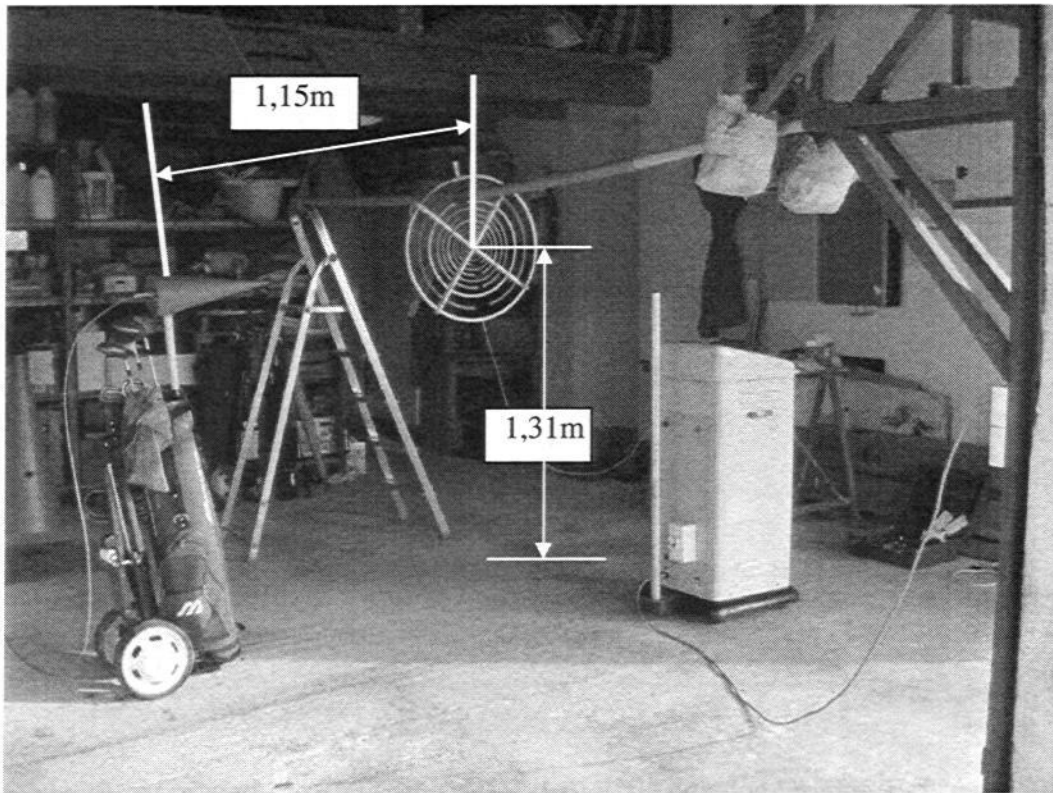


Photo n°2 - Oscillateur de LAKHOVSKY incomplet – un seul résonateur  
Antenne de mesure dans l'axe du résonateur

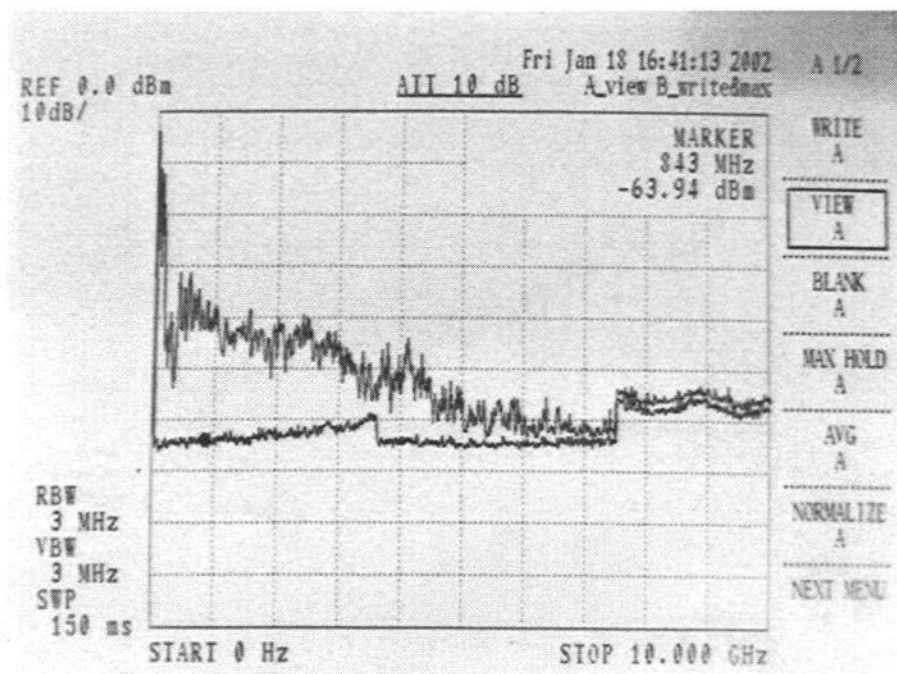


Photo n°4 - Capteur : antenne HF (1-10GHz) ref à 0dBm - bande 0 à 10GHz  
Générateur : un seul résonateur avec excitation au milieu

Oscillateur de LAKHOVSKY incomplet

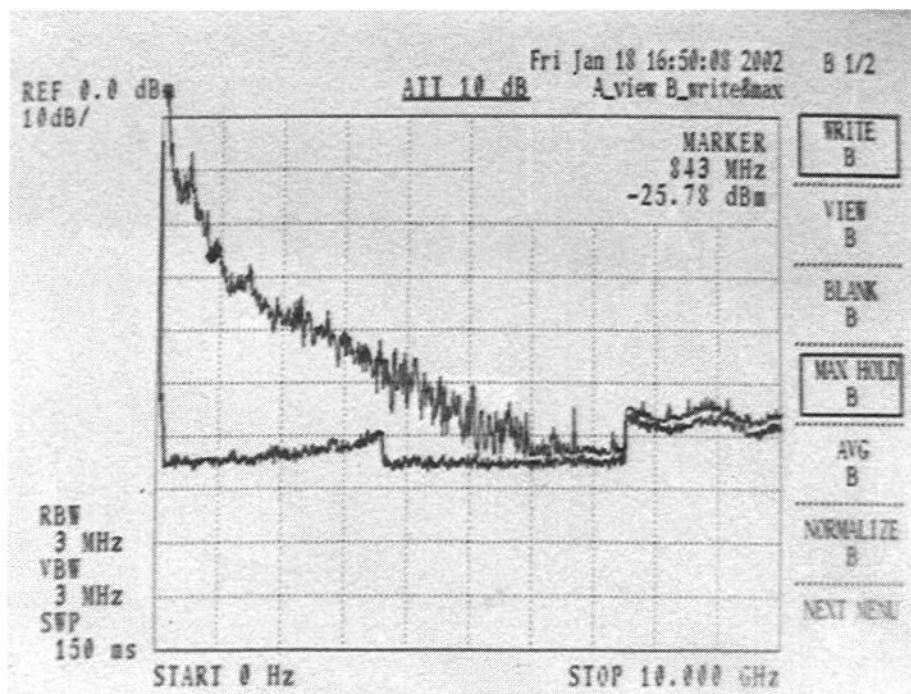


Photo n°5 - Capteur : antenne UHF (0,1-1GHz) ref à 0dBm - bande 0 à 10GHz  
Générateur : un seul résonateur avec excitation au milieu

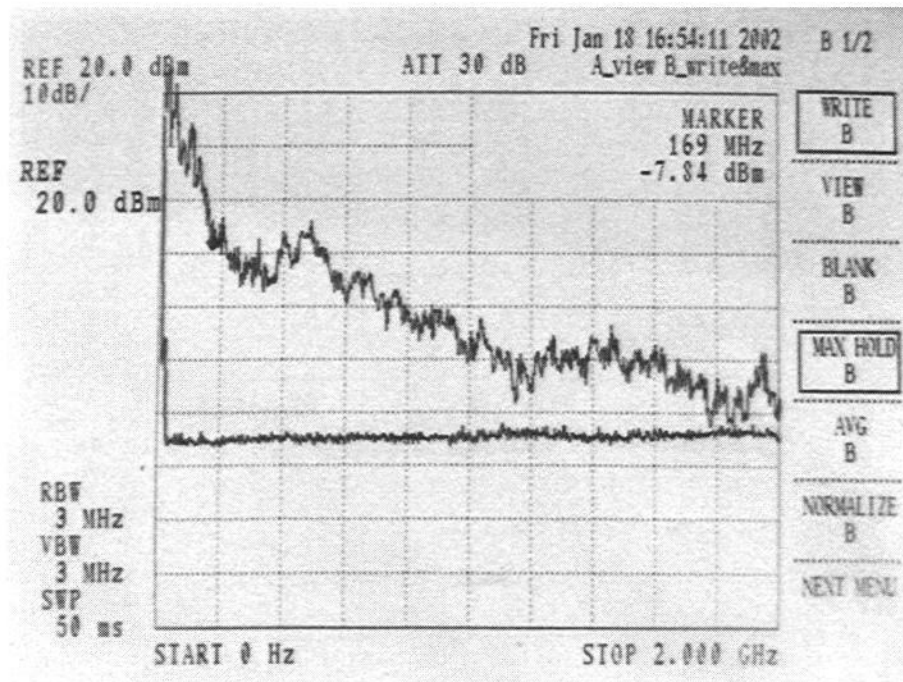


Photo n°6 - Capteur : antenne UHF (0,1-1GHz) ref à +20dBm - bande 0 à 2GHz  
Générateur : un seul résonateur avec excitation au milieu

Oscillateur de LAKHOVSKY incomplet

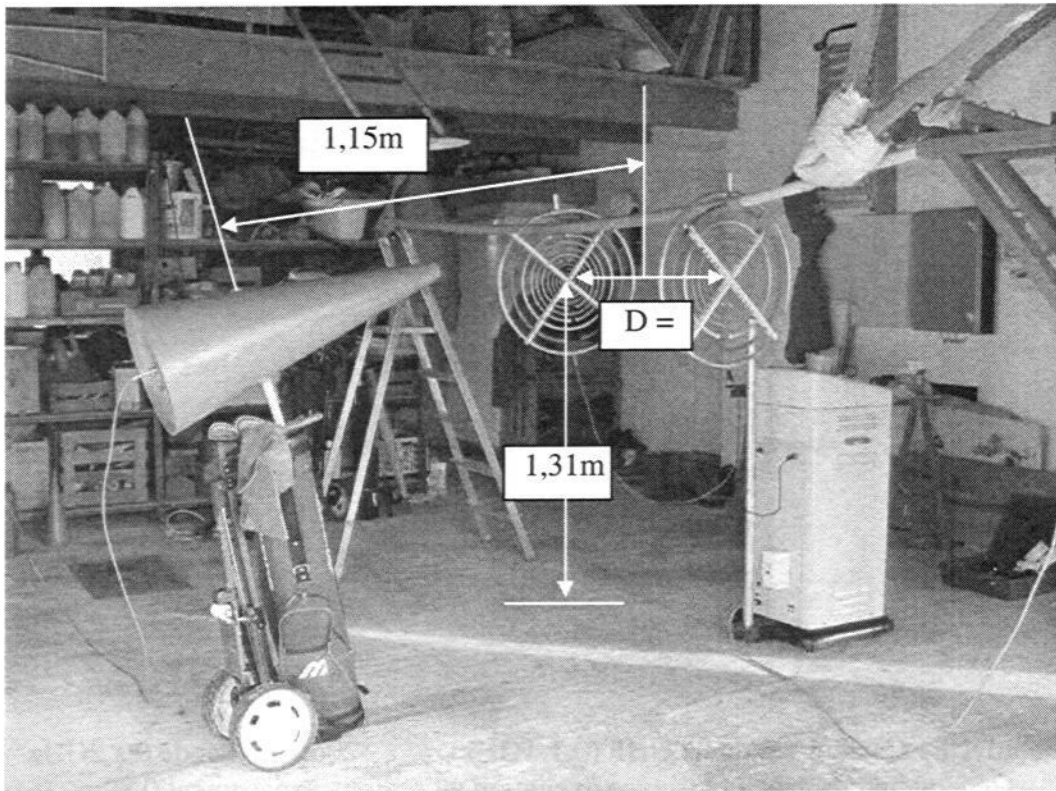


Photo n°10 - Deux résonateurs espacés de 82cm  
Antenne de mesure entre les deux résonateurs

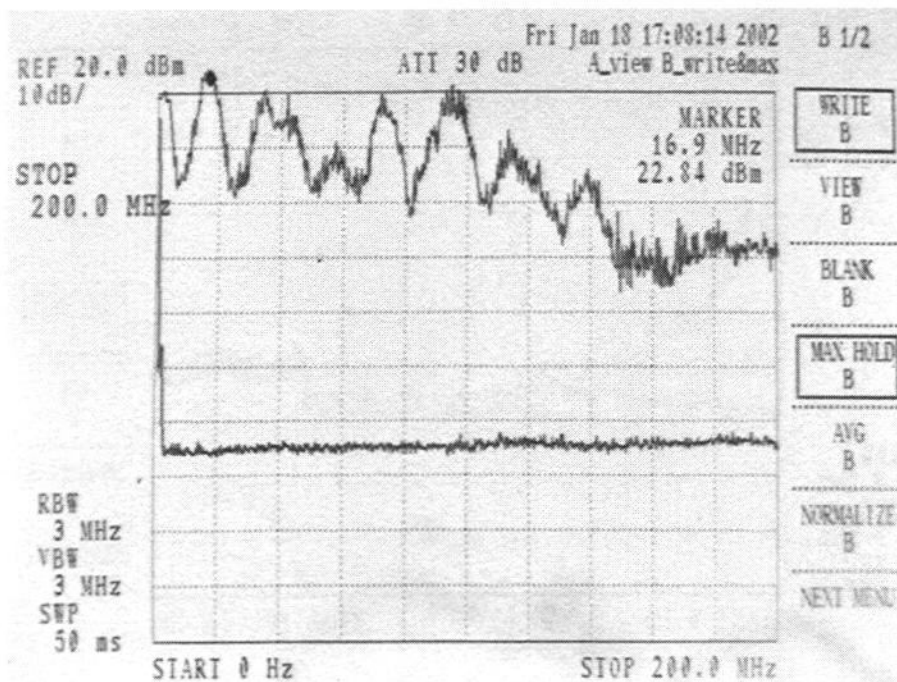


Photo n°7 - Capteur : antenne UHF (0,1-1GHz) ref à +20dBm - bande 0 à 200MHz  
Générateur : 2 résonateurs avec excitation au milieu - espacement 0,82m

Oscillateur de LAKHOVSKY incomplet

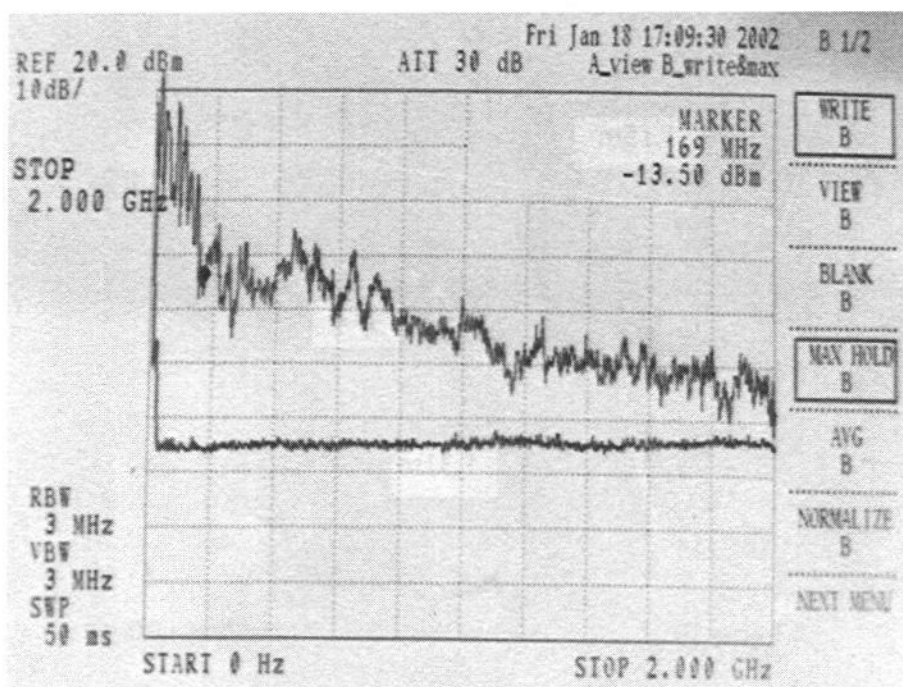


Photo n°8 - Capteur : antenne UHF (0,1-1GHz) ref à +20dBm - bande 0 à 2GHz  
Générateur : 2 résonateurs avec excitation au milieu - espacement 0,82m

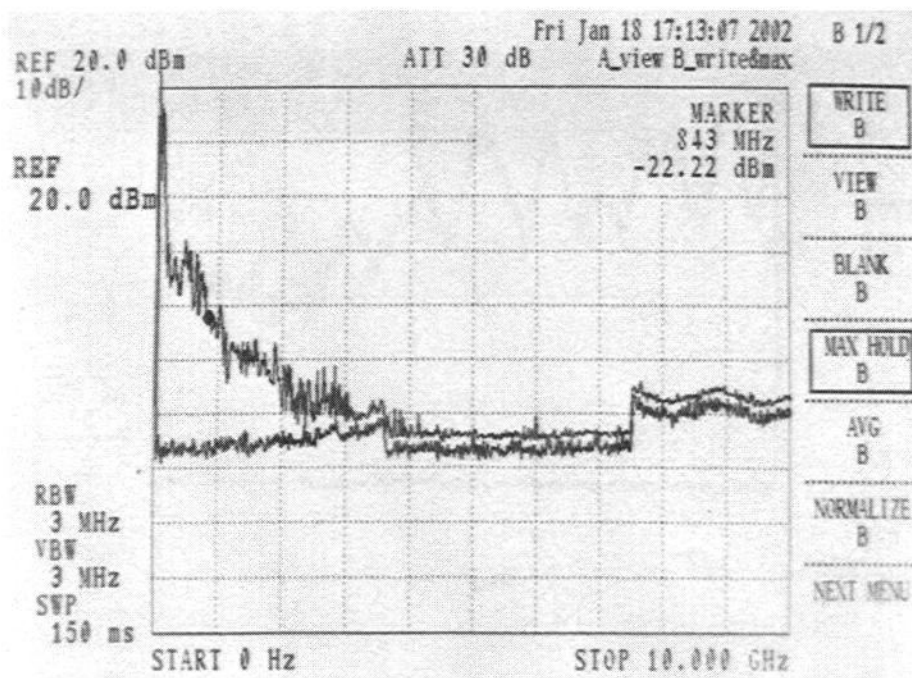


Photo n°9 - Capteur : antenne UHF (0,1-1GHz) ref à +20dBm - bande 0 à 10GHz  
Générateur : 2 résonateurs avec excitation au milieu - espacement 0,82m

Oscillateur de LAKHOVSKY incomplet

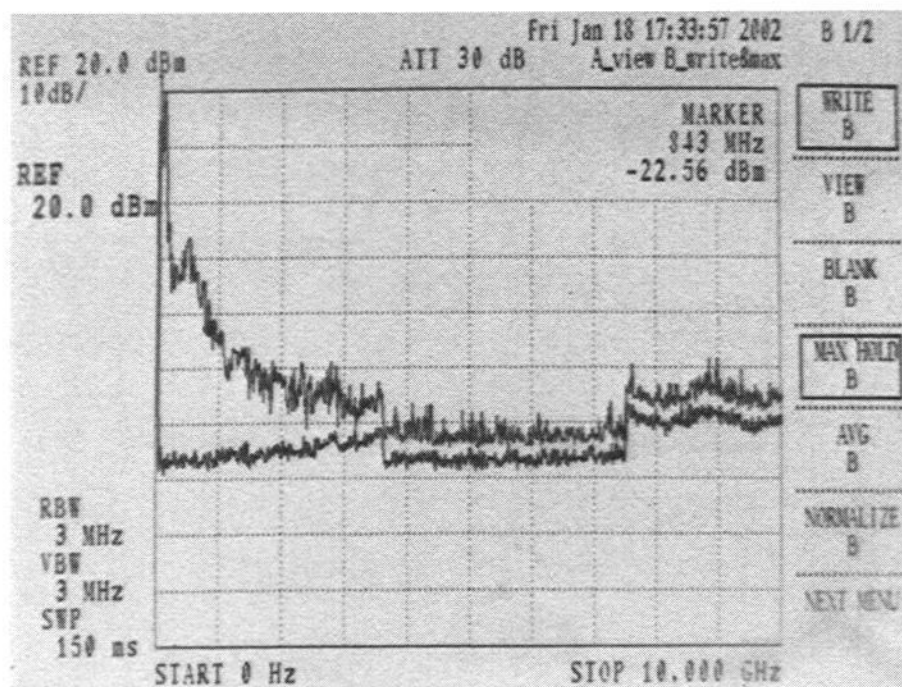


Photo n°12 - Capteur : antenne UHF (0,1-1GHz) ref à +20dBm - bande 0 à 10GHz  
Générateur : 2 résonateurs avec excitation au milieu - espacement 1,2 m

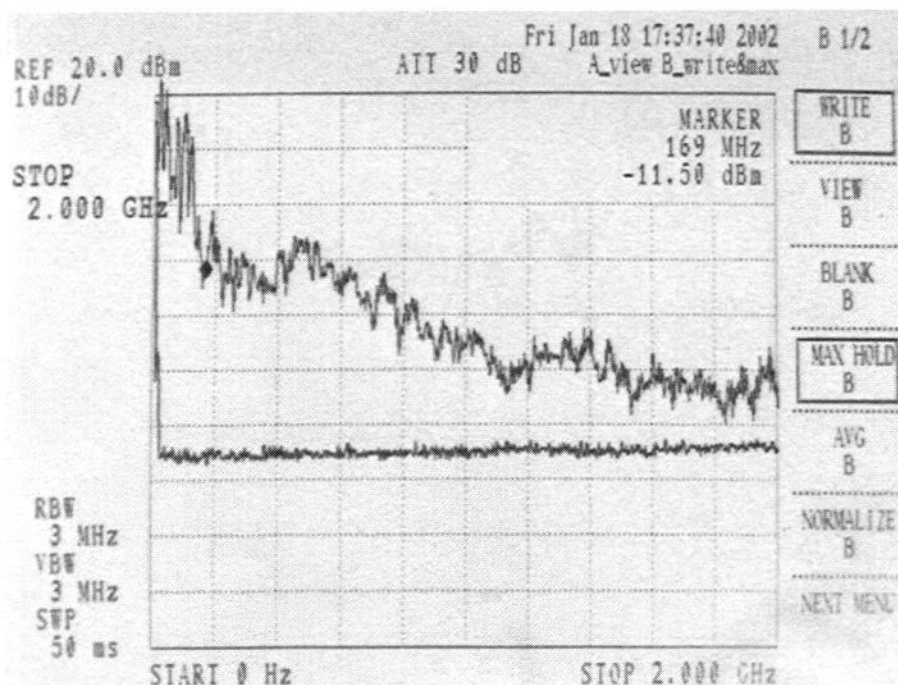


Photo n°13 - Capteur : antenne UHF (0,1-1GHz) ref à +20dBm - bande 0 à 2GHz  
Générateur : 2 résonateurs avec excitation au milieu - espacement 1,2 m

Oscillateur de LAKHOVSKY incomplet

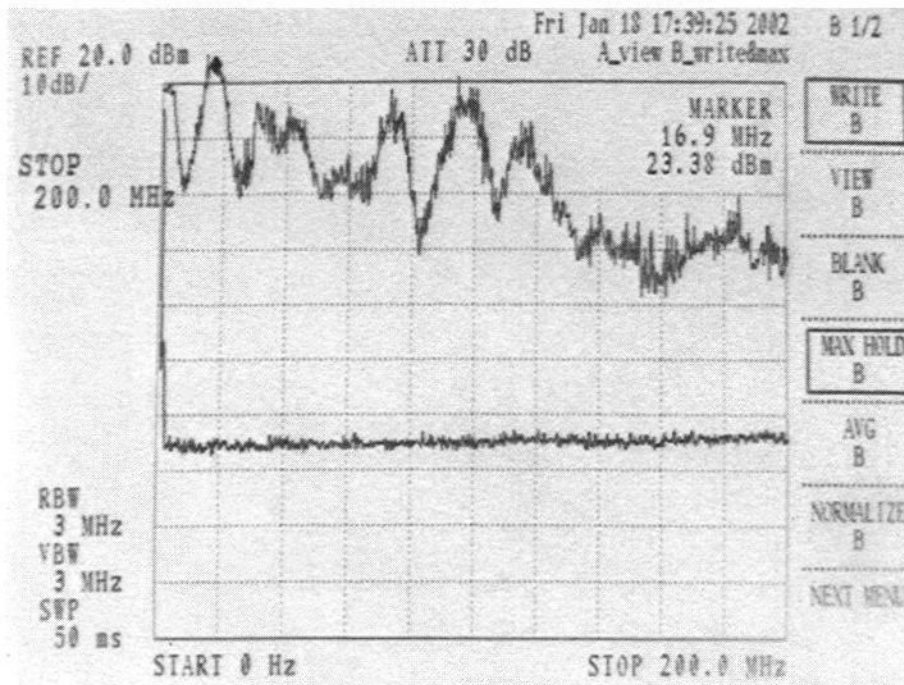


Photo n°14 - Capteur : antenne UHF (0,1-1GHz) ref à +20dBm - bande 0 à 200MHz  
Générateur : 2 résonateurs avec excitation au milieu, espacement 1,2 m

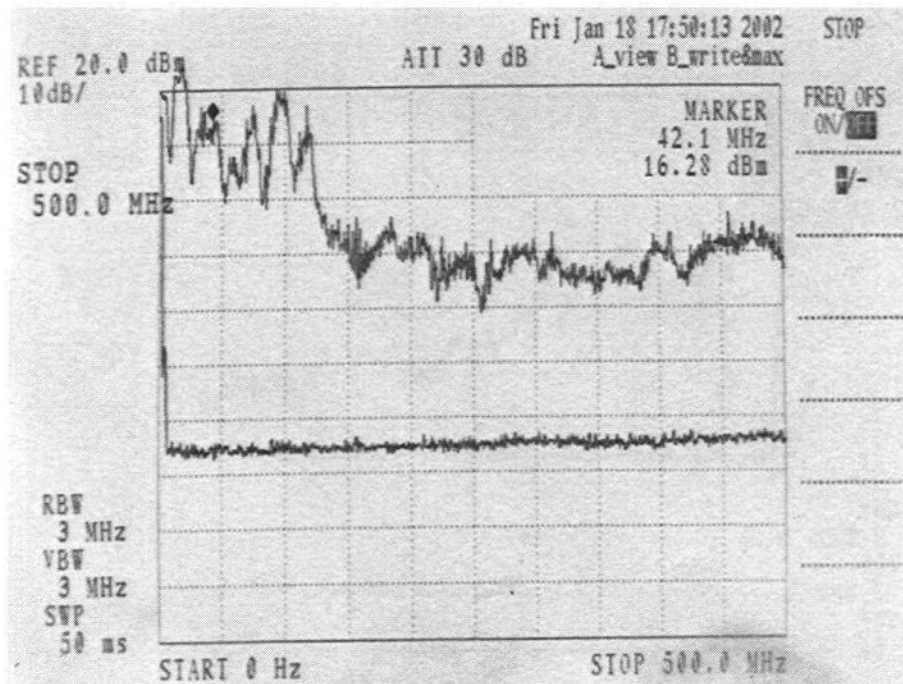


Photo n°15 - Capteur : antenne UHF (0,1-1GHz) ref à +20dBm - bande 0 à 500MHz  
Générateur : 2 résonateurs avec excitation au milieu, espacement 1,2 m

Oscillateur de LAKHOVSKY incomplet

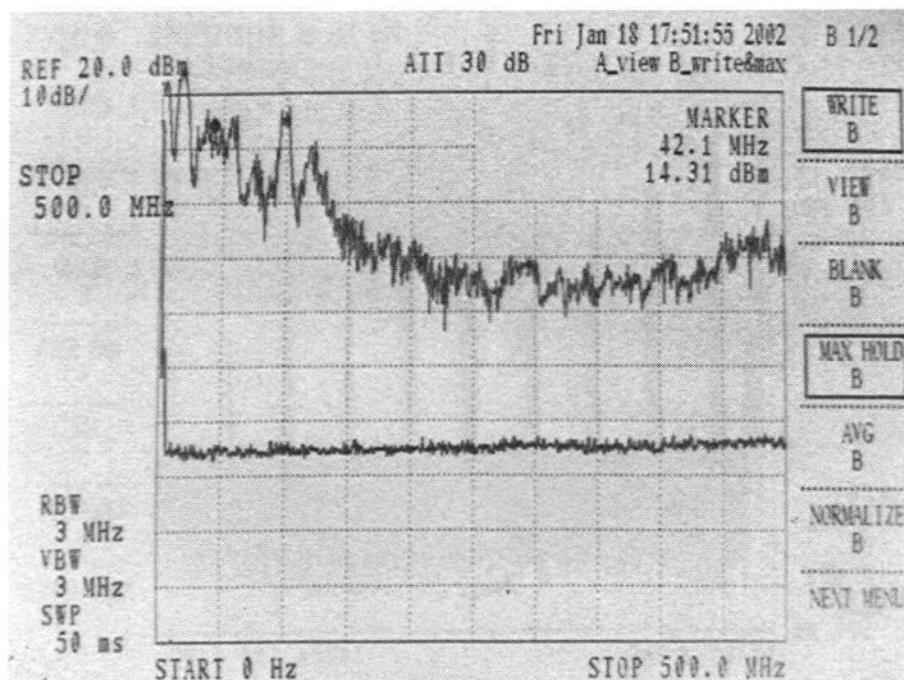


Photo n°16 - Capteur : antenne UHF (0,1-1GHz) ref à +20dBm - bande 0 à 500MHz  
Générateur : 1 résonateur branché avec excitation au milieu - espacement 1,2 m

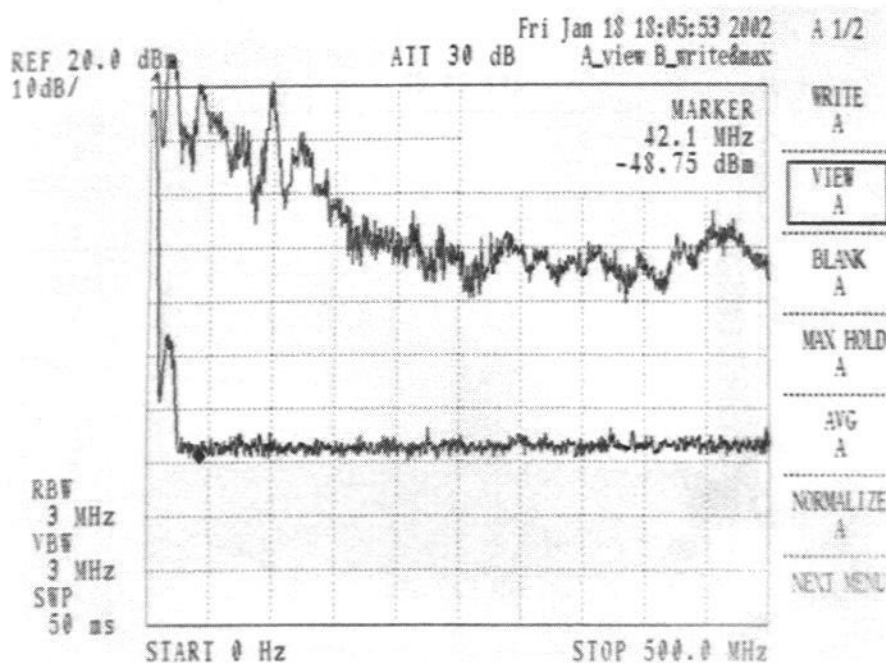


Photo n°17 - Capteur : antenne UHF (0,1-1GHz) ref à +20dBm - bande 0 à 500MHz  
Générateur : un résonateur branché avec excitation sur 1 bord - espacement 1,2 m

Oscillateur de LAKHOVSKY incomplet

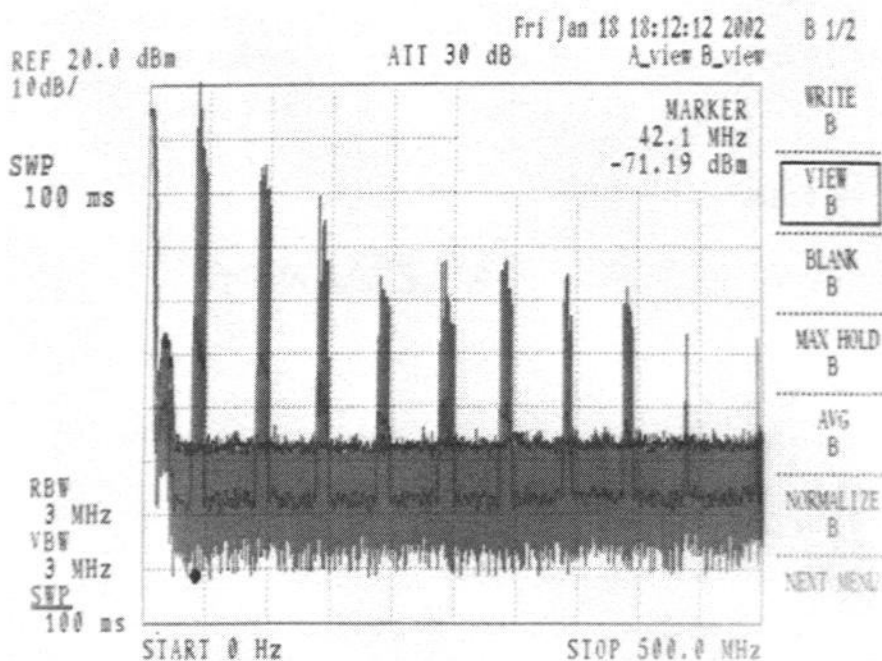


Photo n°18 - Capteur : antenne UHF (0,1-1GHz) ref à +20dBm - bande 0 à 500MHz  
Générateur : un résonateur branché avec excitation sur 1 bord - espacement 1,2 m  
Temps de balayage 100 ms - Affichage sans max-hold

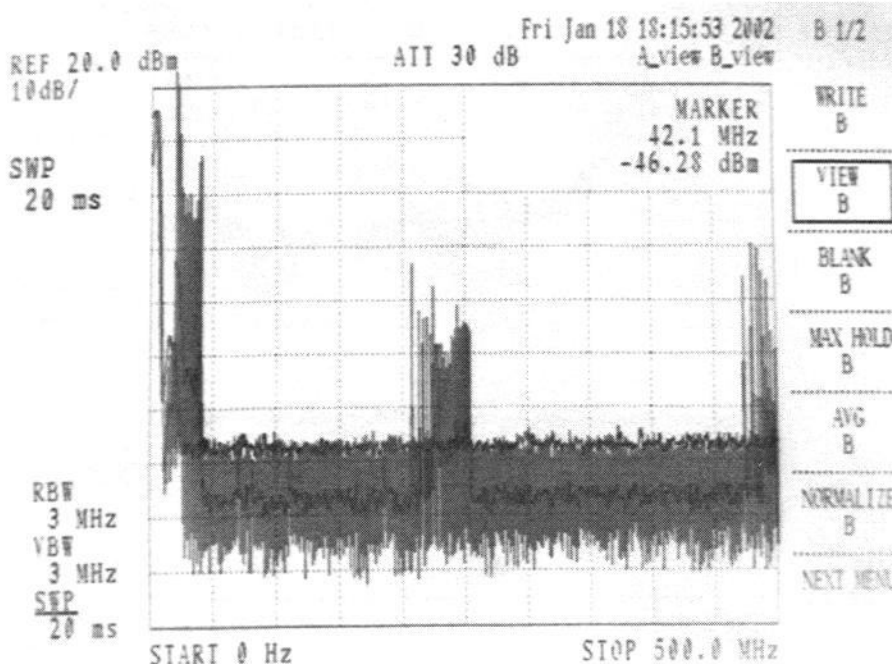


Photo n°19 - Capteur : antenne UHF (0,1-1GHz) ref à +20dBm - bande 0 à 500MHz  
Générateur : un résonateur branché avec excitation sur 1 bord - espacement 1,2 m  
Temps de balayage 20 ms - Affichage sans max-hold

### 3 ESSAIS EFFECTUÉS le 01 - 02 - 02

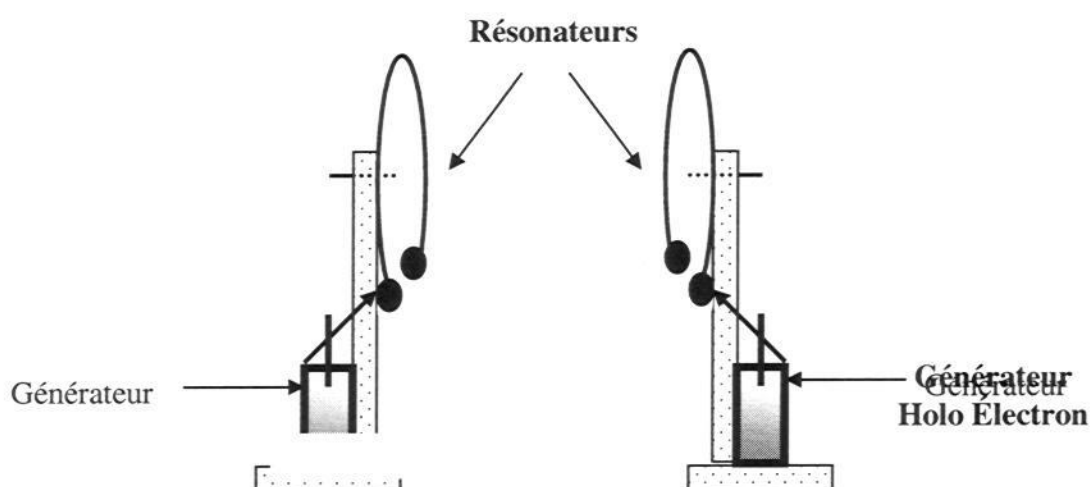
#### 3.1 L'OSCILLATEUR DE GUY THIEUX

#### 3.2 LE MATÉRIEL UTILISÉ

L'oscillateur de Guy Thieux comporte deux oscillateurs indépendants constitués chacun d'un générateur et d'un résonateur.

Le générateur est un "Holo Électron", les résonateurs présentent de grandes analogies avec ceux de l'oscillateur de G. Lakhovsky, tant au niveau des dimensions que de la nature des différents métaux utilisés.

Le schéma de principe ci-après donne une idée de la configuration de l'installation :



### **3.3 LES ESSAIS**

#### **3.3.1 Essais avec deux résonateurs espacés de 82cm**

##### *Configuration*

Les essais sont effectués avec deux résonateurs espacés de 82cm dans les mêmes conditions que précédemment.

**Résultats** : les photos n° 2, 4 et 5 montrent 2 différences très significatives par rapport à l'oscillateur de Lakhovsky.

- le spectre émis est beaucoup plus restreint et ne dépasse guère 2 GHz au lieu de 10 GHz.
- la courbe est très chaotique avec des pics d'énergie aléatoires très importants pour certaines fréquences.

#### **3.3.2 Essais avec deux antennes espacées de 1,2m**

##### *Configuration*

Les deux antennes sont espacées de 1,2m. Les autres paramètres sont inchangés.

**Résultats** : les photos n°6 et 7 ne montrent pas de différences très significatives par rapport aux essais précédents.

Les photos 8, 9 et 10 permettent de mieux préciser l'aspect chaotique du spectre d'émission et en particulier les pics d'énergie très importants.

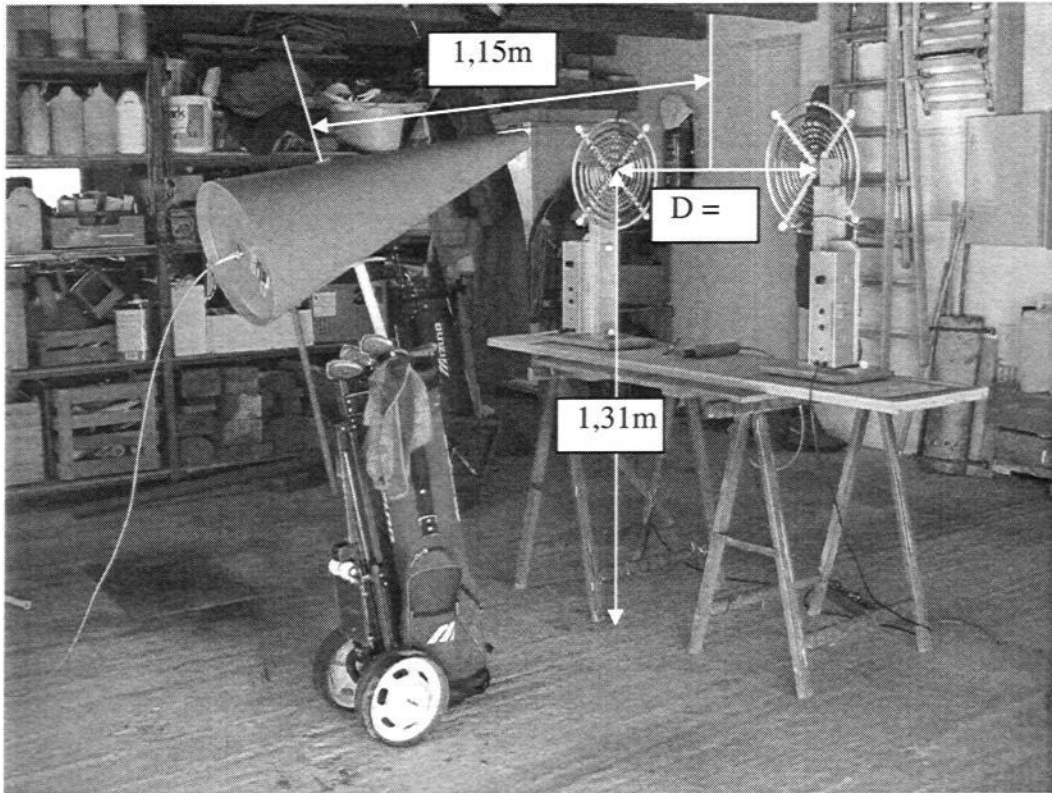
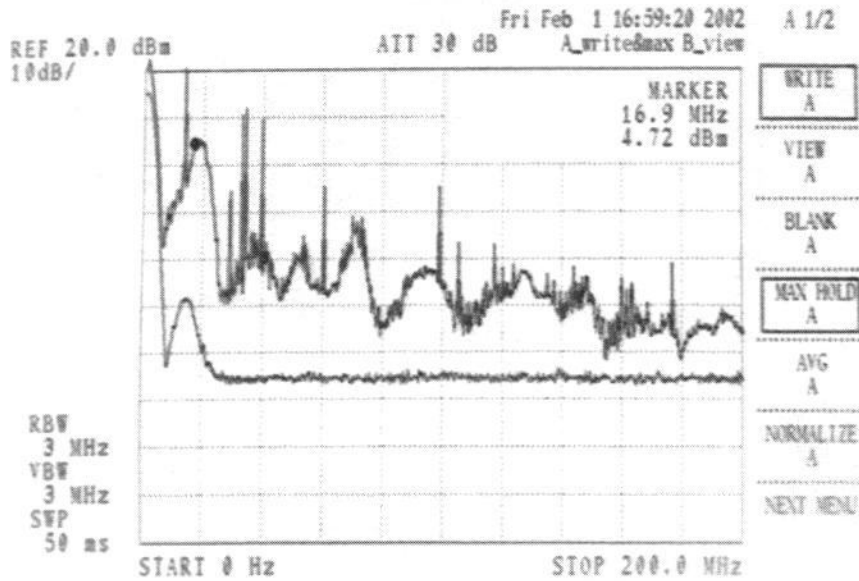


Photo n°1 - 2 résonateurs espacés de 82cm  
Antenne de mesure entre les deux résonateurs



Photos n°2 &3 - Capteur : antenne UHF (0,1-1GHz) réf à +20dBm - bande 0 à 200MH  
Générateur : 2 résonateurs excités - espacement : 0,82m

Générateur de Guy Thieux

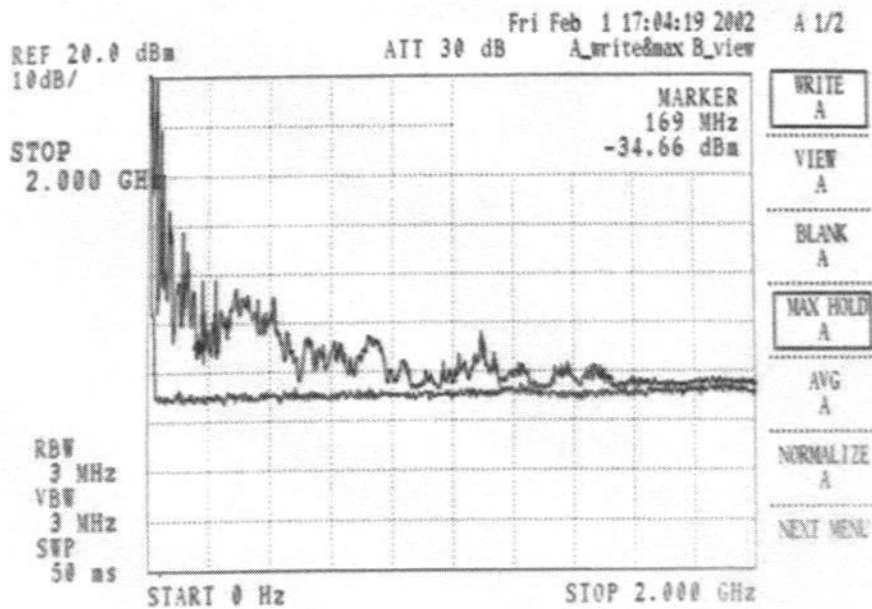


Photo n°4 - Capteur : antenne UHF (0,1-1GHz) réf à +20dBm - bande 0 à 2GHz  
Générateur : 2 résonateurs excités - espacement : 0,82m

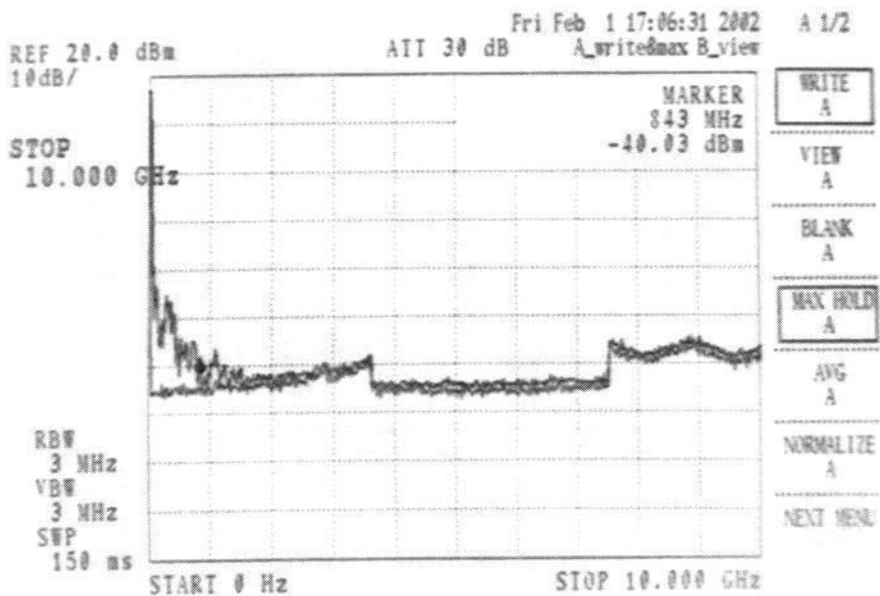


Photo n°5 - Capteur : antenne UHF (0,1-1GHz) réf à +20dBm - bande 0 à 10GHz  
Générateur : 2 résonateurs excités - espacement : 0,82m

Générateur de Guy Thieux

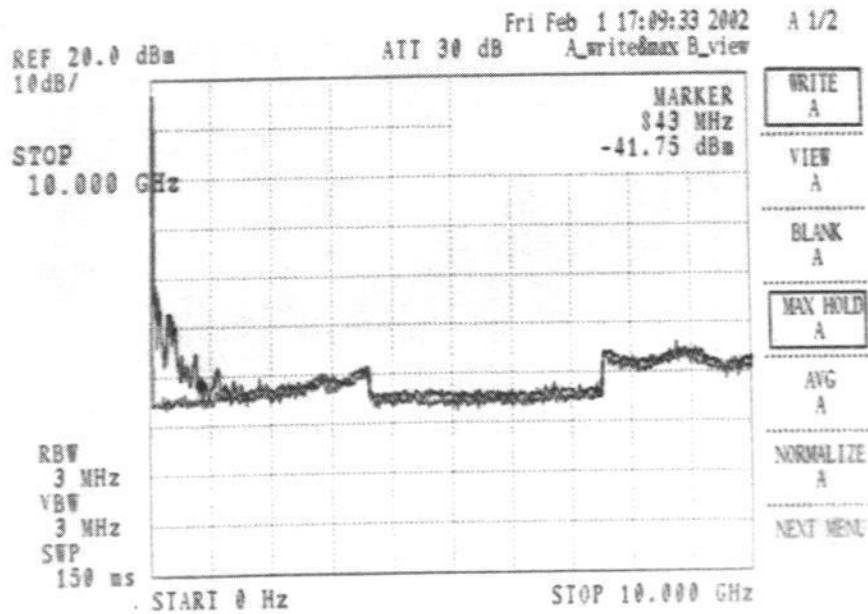


Photo n°6 - Capteur : antenne UHF (0,1-1GHz) réf à +20dBm - bande 0 à 10GHz  
Générateur : 2 résonateurs excités - espacement : 1,2 m

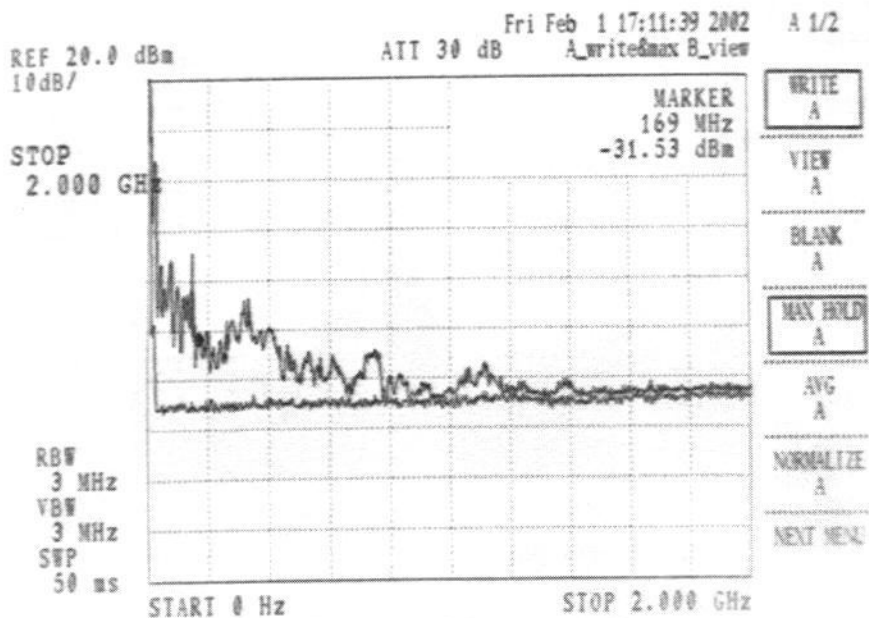


Photo n°7 - Capteur : antenne UHF (0,1-1GHz) réf à +20dBm - bande 0 à 2GHz  
Générateur : 2 résonateurs excités - espacement : 1,2 m

Générateur de Guy Thieux

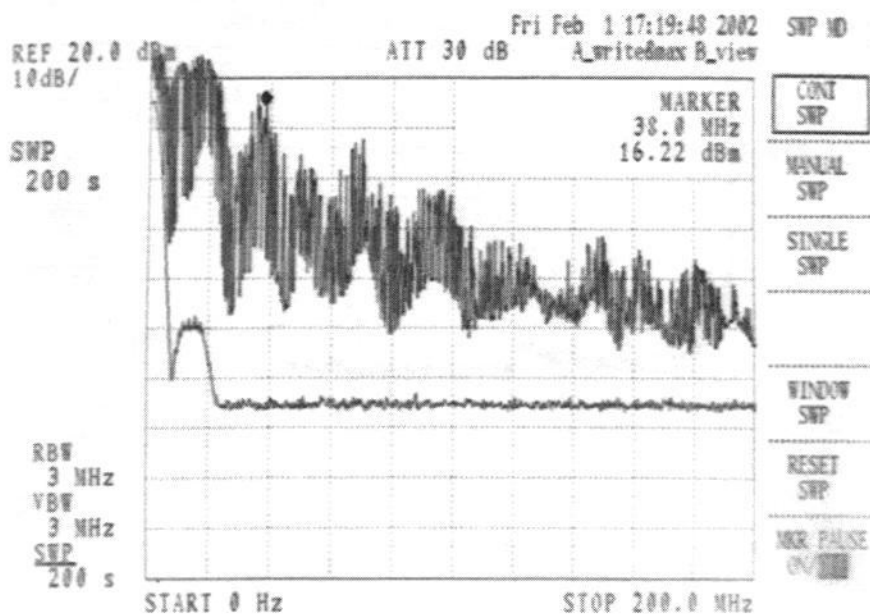


Photo n°8 - Capteur : antenne UHF (0,1-1GHz) ref à +20dBm - bande 0 à 200MHz  
 Générateur : 2 résonateurs excités – espacement : 1,2 m

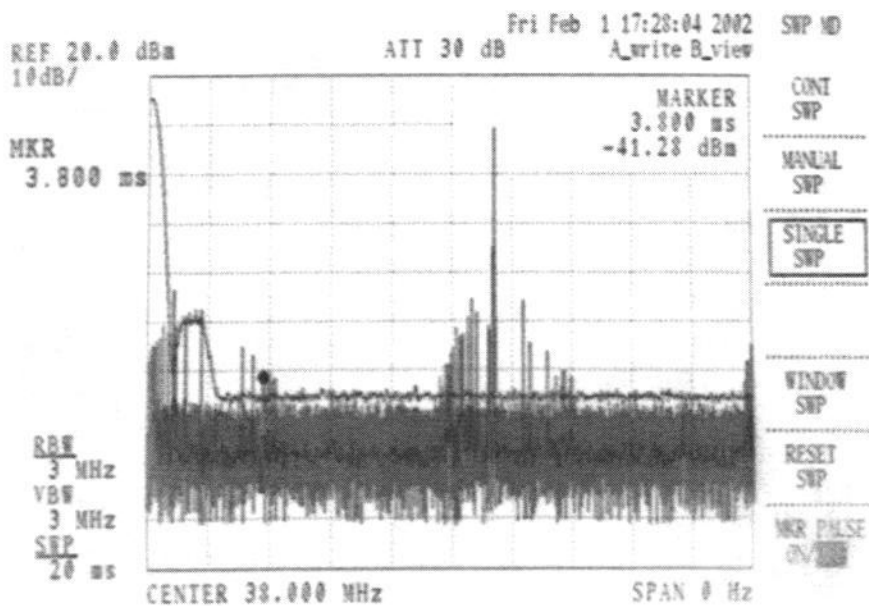


Photo n°9 - Capteur : antenne UHF (0,1-1GHz) ref à +20dBm - visualisation temporelle  
 Générateur : 2 résonateurs excités - espacement 1,2 m  
 Temps de balayage 20ms, l'impulsion d'extra rupture est très forte et très brève

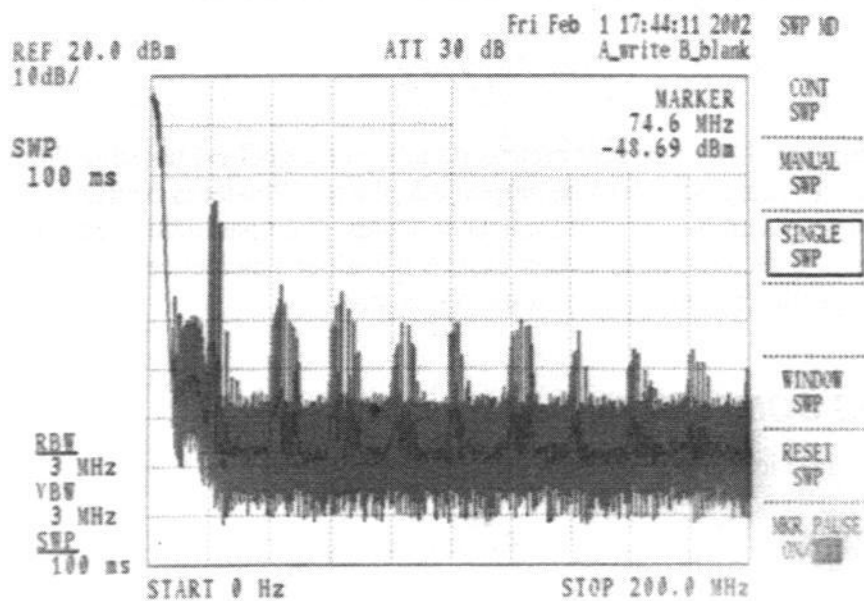


Photo n°10 - Capteur : antenne UHF (0,1-1GHz) ref à +20dBm bande 0 à 200MHz  
2 résonateurs excités - espacement : 1,2 m - Temps de balayage 100 ms  
Affichage sans max-hold photo prise dans des conditions similaire à la n°18

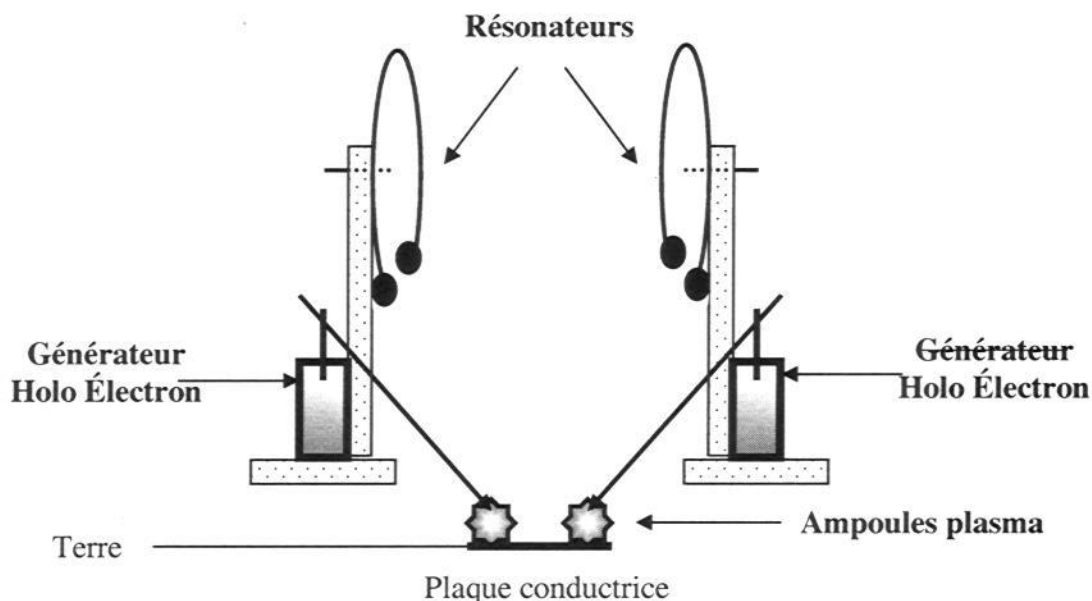
## 4 L'ÉTUDE DE L'AMPOULE "FLICKER"

Les oscillateurs de G. Thieux sont conçus de telle sorte qu'il est possible de débrancher les résonateurs et de les remplacer par une ampoule à plasma. Plusieurs configurations sont alors possibles selon que ces ampoules sont branchées seules ou en parallèle avec le résonateur.

Dans les essais effectués, nous avons essayé d'évaluer l'incidence de la présence de ces ampoules selon qu'elles étaient ou non isolées de la terre.

### 4.1 LES COMPOSANTS

L'ampoule utilisée ici est une ampoule néon de type "Flicker"



### 4.2 LES ESSAIS

#### 4.2.1 Essais avec l'ampoule néon posée sur une plaque en bois

##### *Configuration*

Tous les autres paramètres restent inchangés.

*Résultats* : la photo n°11 ne montre pas de différences très significatives par rapport aux essais précédents.

## **4.2.2 Essais avec l'ampoule néon posée sur une plaque métallique**

### *Configuration*

Tous les autres paramètres restent inchangés.

*Résultats* : la photo n°13 montre une différence significative par rapport aux essais précédents avec une amélioration du niveau du spectre jusqu'à 1 GHz.

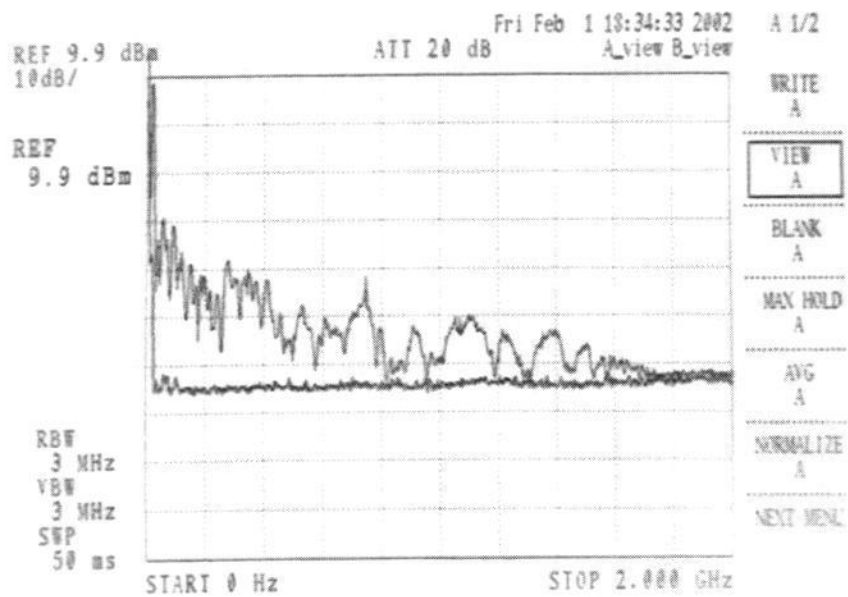
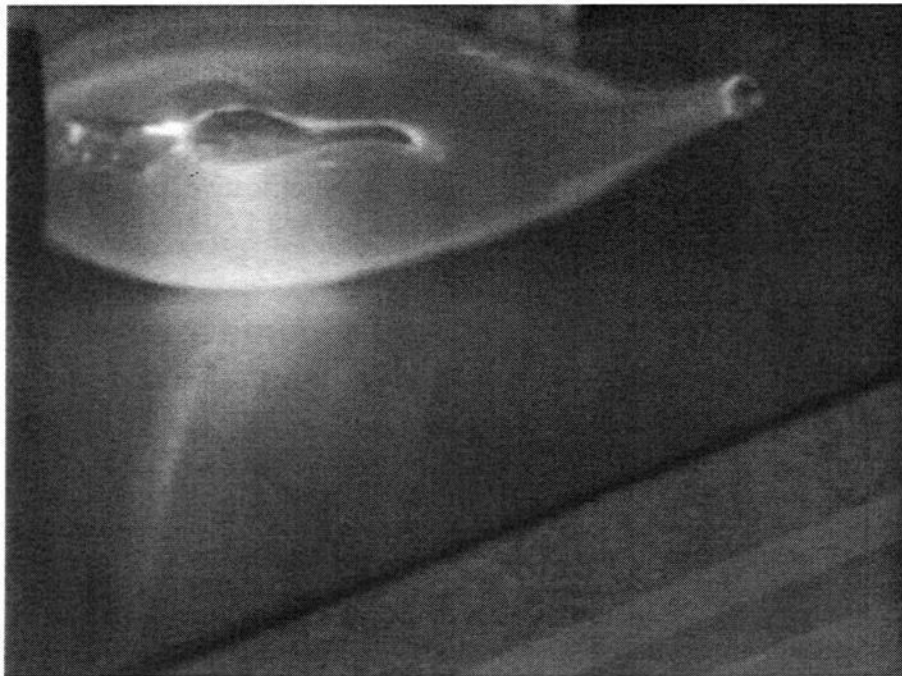
## **4.2.3 Essais identiques aux deux précédents avec les résonateurs déconnectés**

### *Configuration*

Pour ces essais, nous avons déconnecté les deux résonateurs. Tous les autres paramètres sont restés inchangés.

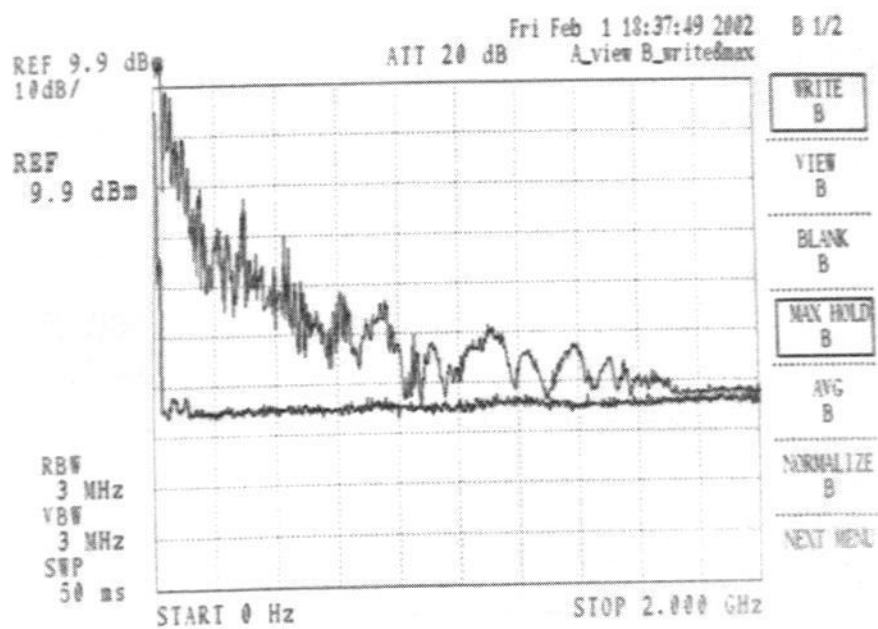
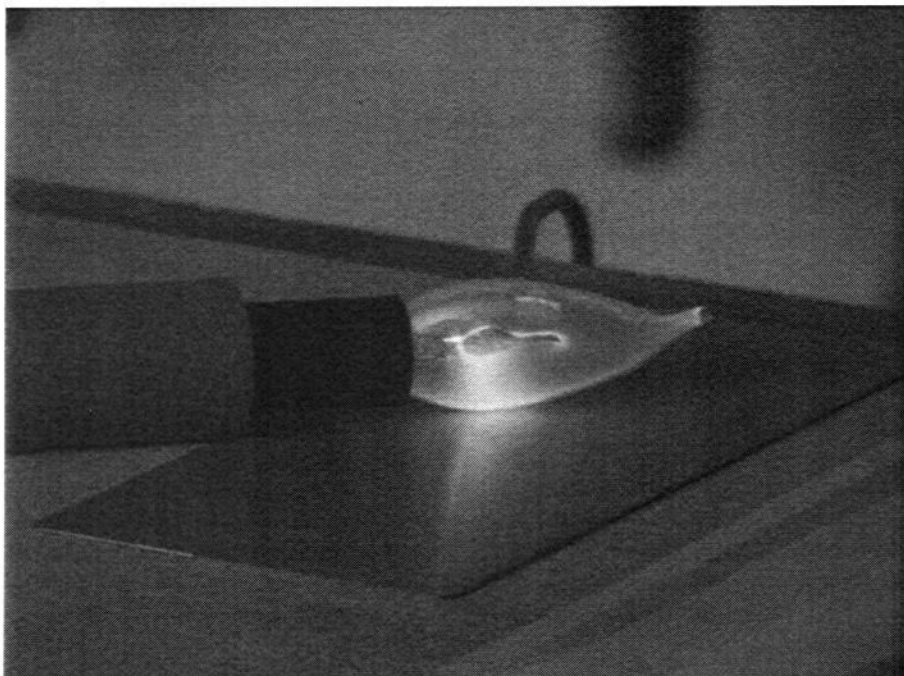
*Résultats* : les photos n°15 et 16 sont quasiment identiques aux photos 13 et 11, ce qui signifie que le spectre émis par les ampoules néon est quasiment identique à celui des résonateurs.

# Ampoule Flicker



Photos n°11 & 12 - Capteur : antenne UHF (0,1-1GHz) ref à +10dBm bande 0 à 2000MHz  
Générateur : 2 résonateurs branchés + une ampoule sur plaque de bois

# Ampoule Flicker



Photos n°13 & 14 Capteur : antenne UHF (0,1-1GHz) ref à +10dBm - bande 0 à 2000MHz  
Générateur : 2 résonateurs branchés + une ampoule sur plaque métallique réunie à la terre

Ampoule Flicker

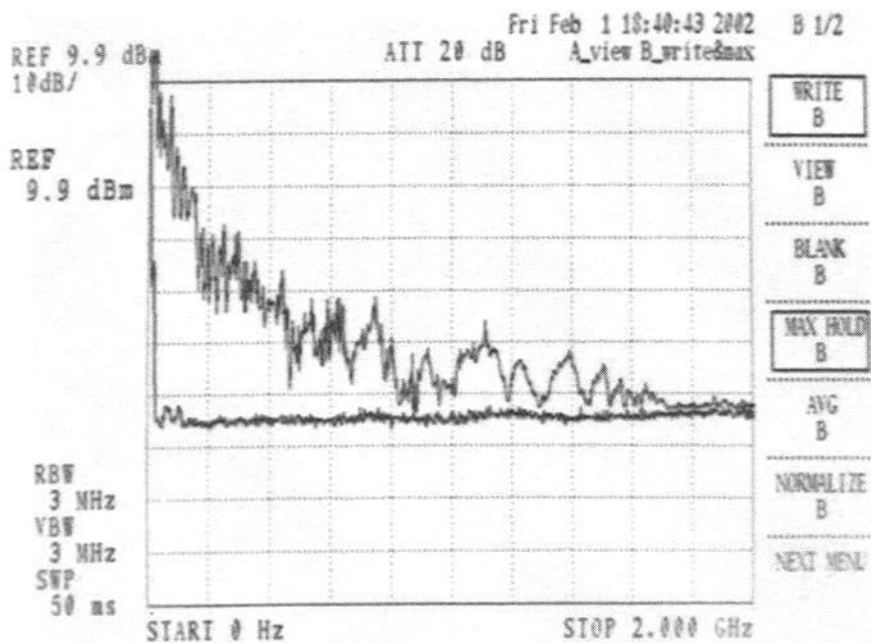


Photo n°15 - Capteur : antenne UHF (0,1-1GHz) ref à +10dBm - bande 0 à 2000MHz  
Générateur : sans résonateur branché, avec lampe sur plaque métallique réunie à la terre

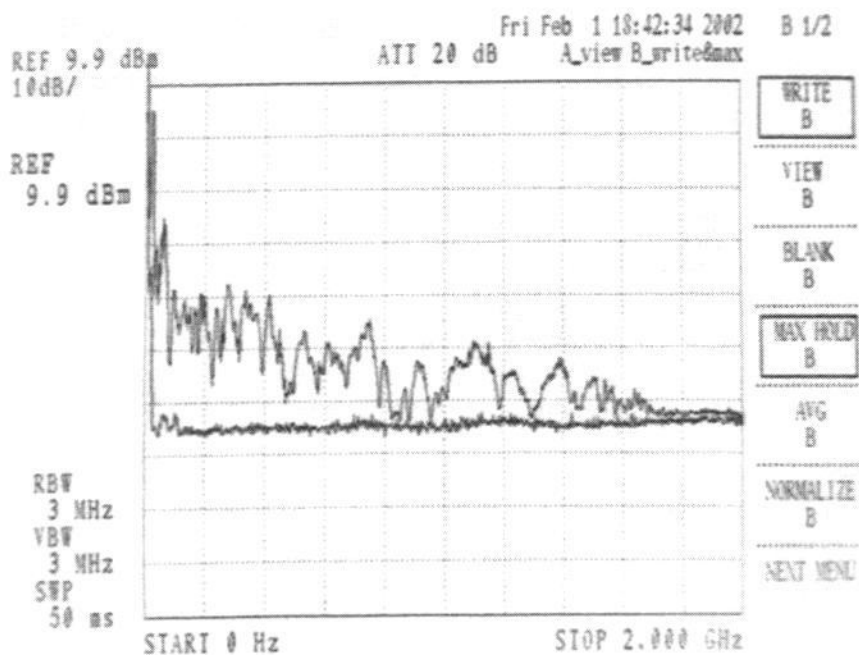


Photo n°16 - Capteur : antenne UHF (0,1-1GHz) ref à +10dBm bande 0 à 2000MHz  
Générateur : sans résonateur branché, avec lampe sur plaque de bois

## 4.3 ANALYSE DE DIVERS PARAMÈTRES

### 4.3.1 Influence du point d'injection sur le diffuseur

L'objectif était de voir comment variaient les caractéristiques du spectre émis par les résonateurs en fonction du point de raccordement du générateur.

Les essais ont été faits en raccordant celui-ci successivement à l'extrémité, à 30°, à 90°, à 180° de la grande spire.

On a constaté peu de différences entre les divers points d'injection. Cependant, c'est l'extrémité qui semble donner les meilleurs résultats. Il faut noter que l'on retrouve ici la configuration adoptée par Lakhovsky.

Par ailleurs, l'injection sur les autres spires montre une nette baisse des performances.

### 4.3.2 Influence du sens de branchement des résonateurs

Le problème que nous nous sommes posé est de savoir si le fait de raccorder les résonateurs à l'une ou l'autre des extrémités de la grande spire avait une incidence sur les performances.

On notera à ce sujet :

1 - Que nous n'avons pas réussi (avec nos moyens de mesure actuels) à mettre en évidence des différences significatives.

2 - Que, les effets thérapeutiques observés avec le générateur de Lakhovsky semblent prouver que ce paramètre a une importance réelle lorsque les résonateurs sont proches l'un de l'autre. Par contre, on ne peut exclure la possibilité que ces effets deviennent négligeables lorsqu'on les éloigne.

*La difficulté qui nous semble exister vient du fait que les champs émis par les spires s'opposent lorsque deux « faces » nord ou sud sont en regard. Deux cas se présentent :*

#### 1 - Dans l'oscillateur de type « Thieux »

Ici, les deux générateurs sont en phase (alimentation secteur), ce qui conduit à les brancher du même côté pour avoir des faces nord et sud dans le même sens (conformément au schéma en page 1). On obtient ainsi la configuration ci-après :



#### 2 - Dans le générateur de Lakhovsky

Ici, les deux sorties sont en opposition de phase. Pour avoir des faces identiques, il faut donc brancher les résonateurs en opposition.

Par ailleurs, il faut remarquer que les lignes de force des champs émis dépendent beaucoup de l'environnement, notamment de la manière dont s'effectuent les rebouclages par la terre. Il faut souligner ici un fait très important, c'est que G.Lakhovsky se plaignait d'obtenir des

résultats thérapeutiques très divergents selon les lieux (nature du sol, etc.). Ainsi, nous avons observé qu'en mettant un grillage sous les pieds du patient, le champ environnant celui-ci était beaucoup mieux réparti.

**Une étude complémentaire plus fine de cet aspect du problème nous apparaît donc indispensable.**

#### **4.4 CONCLUSION**

Les principales conclusions que nous avons tirées de ces essais et de ceux effectués le 18-01-02 sur l'oscillateur de Lakhovsky simplifié sont les suivantes :

1 – Il existe des différences très importantes entre les performances des deux oscillateurs. Celles-ci tiennent essentiellement au fait que les deux systèmes de génération du spectre sont très différents. En effet :

- l'oscillateur de G. Lakhovsky utilise 4 gros éclateurs qui fournissent un spectre très étendu et assez régulier.

- l'oscillateur de G. Thieux utilise un rupteur qui ne génère qu'un petit arc électrique. Ce dispositif donne un spectre assez fluctuant et beaucoup moins étendu que le précédent.

**D'où la question : en regard des résultats thérapeutiques obtenus en son temps avec l'appareil de G. Lakhovsky, quelles peuvent être les conséquences d'une réduction importante du spectre d'émission ?**

2 - On observe la présence dans le spectre de l'oscillateur de G. Thieux des raies d'émission ayant une durée très brève et une intensité très élevée. De plus, la plus grande partie de l'énergie émise est dissipée dans ces raies.

**D'où la question : quelles peuvent être les réactions des cellules vivantes si elles entrent en résonance avec les fréquences spécifiques qui correspondent à ces raies d'émission ?**

3 – Dans l'oscillateur de G. Thieux, les ampoules néon semblent émettre un spectre équivalent à celui des résonateurs. Ainsi, on peut se demander ce que donnerait le remplacement pur et simple de ceux-ci par des ampoules à plasma.

Il reste toutefois une différence majeure entre les ampoules à plasma et les résonateurs, c'est que ceux-ci comportent différents métaux susceptibles de générer des éléments de spectre ayant une incidence significative sur le plan thérapeutique. Comme il est impossible, avec les moyens de mesure dont nous disposons, d'objectiver ce paramètre, il est impossible de se prononcer sur les effets thérapeutiques de cette présence.

**Si ce rôle est réel, il est évident que le spectre d'émission des ampoules comportera une insuffisance à cet égard.**

On peut ici émettre l'hypothèse qu'il suffit d'intercaler ces métaux dans le champ émis par les ampoules pour retrouver les mêmes effets.

## 5 ESSAIS EFFECTUÉS le 10 – 01 – 2003

### 5.1 L'OSCILLATEUR M.W.O

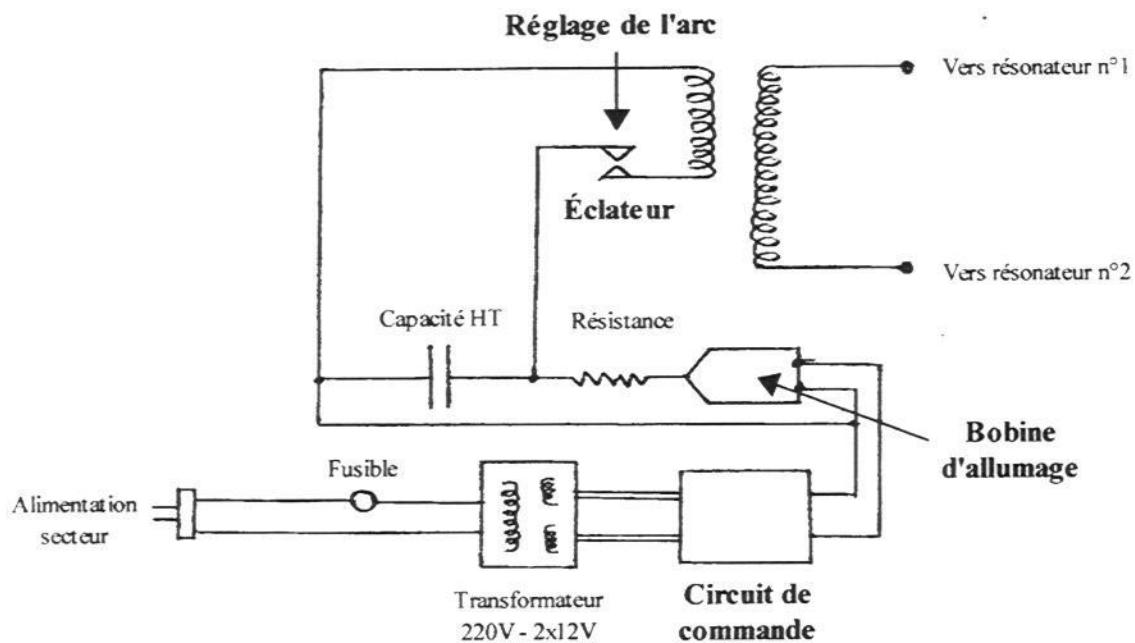
#### 5.1.1 LE MATÉRIEL UTILISÉ

Cet oscillateur comporte :

- un générateur,
- deux résonateurs.

Il s'agit de matériels spécifiques.

Le schéma ci-après en donne le principe général :



## 5.1.2 LES ESSAIS

### *Configuration*

On conserve la configuration générale des essais précédents et les mêmes moyens de mesure pour que les résultats restent comparatif.

Lorsqu'on utilise les 2 diffuseurs, ceux-ci sont toujours espacés de 0,82 cm.

L'excitation des diffuseurs est faite à leur extrémité.

La photo n°5 donne une vue d'ensemble du dispositif.

### *Résultat général*

Les photos n°1, 2 et 3 montrent un spectre ne dépassant pas 1,5 GHz

### *Résultat en débranchant les 2 fils de liaison côté résonateurs*

La photo n°4 montre que, si l'on débranche les deux résonateurs, le spectre est peu modifié. Ce qui signifie que l'essentiel de celui-ci est émis par le générateur lui-même.

### *Résultat en laissant un espace de 10mm sur un fil de liaison pour créer un arc*

La photo n° 11 montre la configuration.

La photo n° 9 montre deux améliorations importantes : la plage de fréquence (qui va jusqu'à 2,5 GHz), les niveaux (gain de 20 dB).

### *Résultat en mettant les 2 fils de liaison en court-circuit*

La photo n°12 montre la configuration.

La photo n°10 montre un spectre peu différent de la photo n°9, ce qui tend à prouver que l'essentiel de celui-ci est bien émis directement par le générateur.

Oscillateur MWO

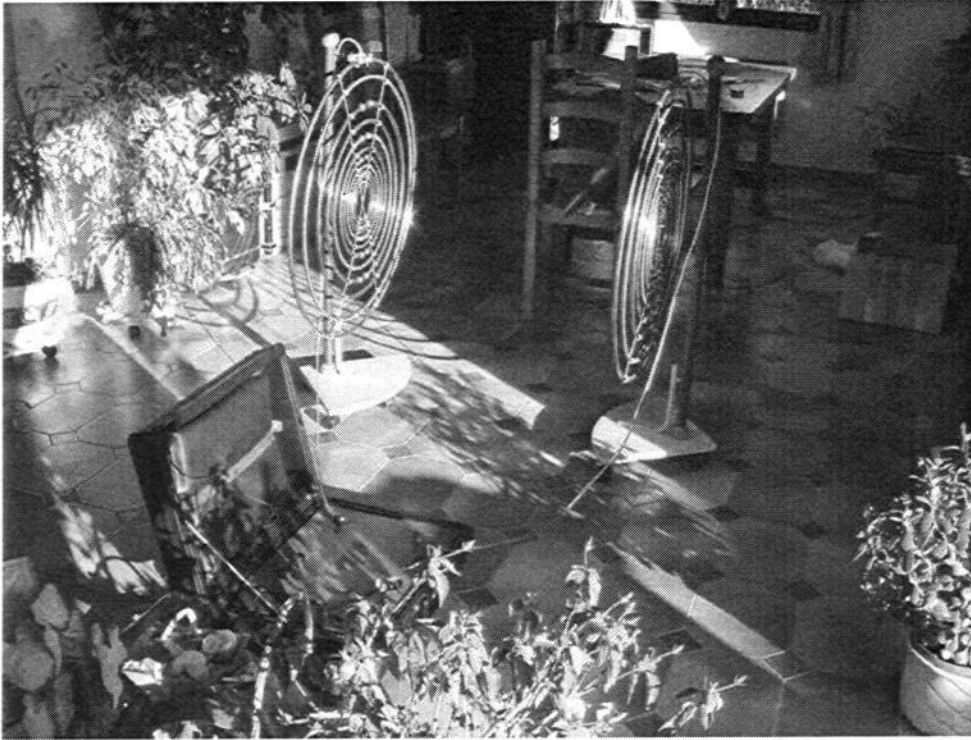


Photo n°5 – Vue d'ensemble de l'installation  
Antenne de mesure dans l'axe du plan médian des résonateurs

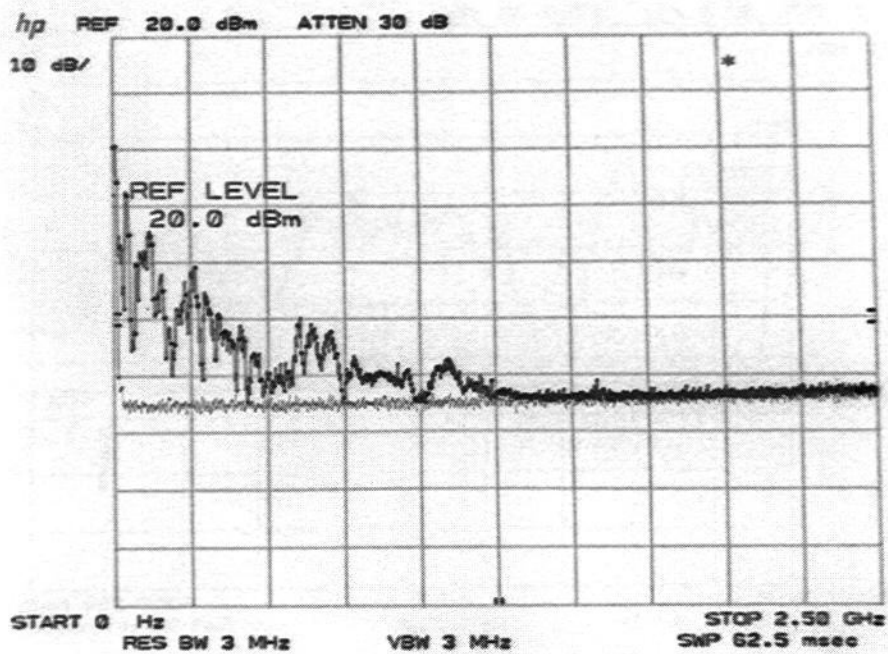


Photo n°1 - Capteur : antenne UHF (0,1-1GHz) ref à +20dBm - bande 0 à 2,5GHz  
Générateur : 2 résonateurs excités - espacement 0,82m

Oscillateur MWO

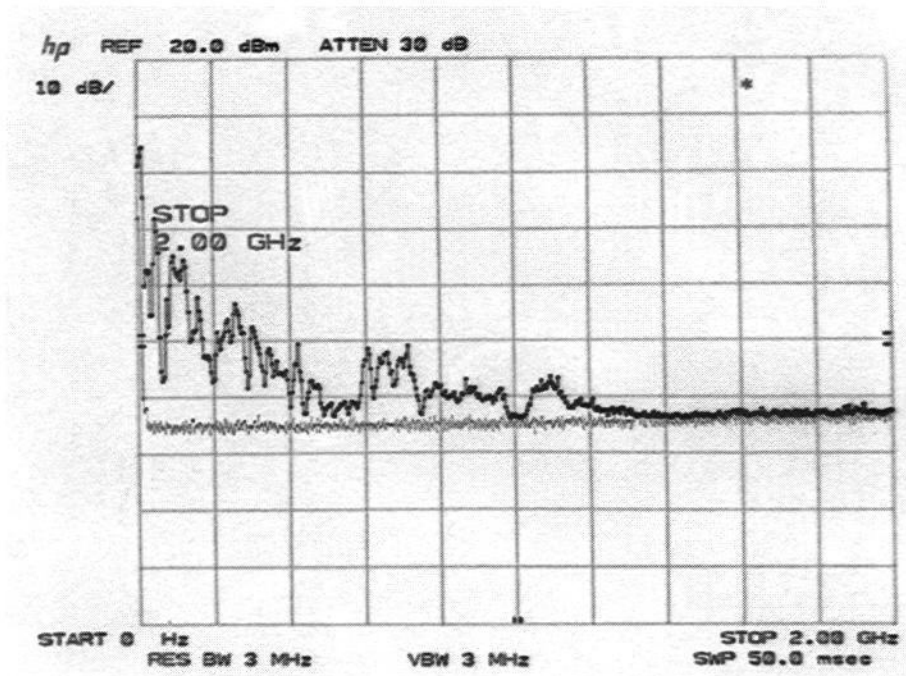


Photo n°2 - Capteur : antenne UHF (0,1-1GHz) ref à +20dBm - **bande 0 à 2GHz**  
Générateur : 2 résonateurs excités - espacement 0,82m

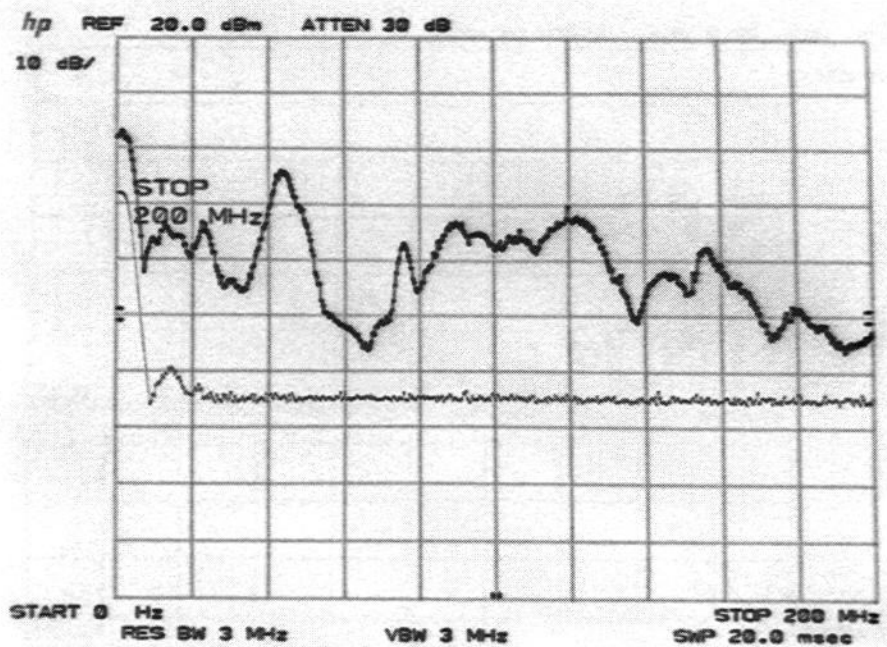


Photo 3 - Capteur : antenne UHF (0,1-1GHz) ref à +20dBm - **bande 0 à 200MHz**  
Générateur : 2 résonateurs excités - espacement 0,82m

Oscillateur MWO

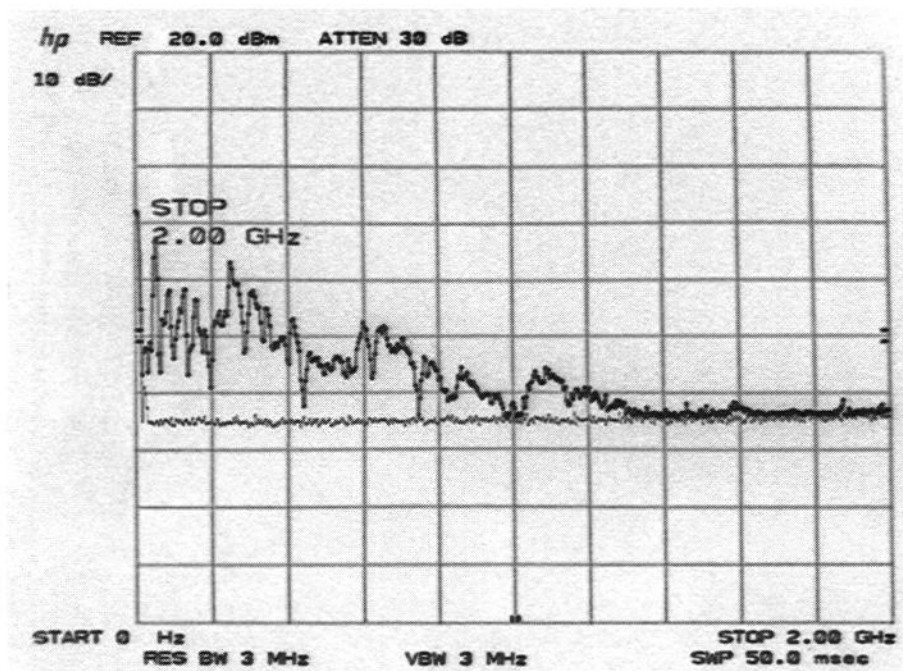


Photo n°4 - Capteur : antenne UHF (0,1-1GHz) ref à +20dBm - bande 0 à 2GHz  
Générateur : 2 résonateurs débranchés - espacement 0,82m

## Oscillateur MWO



Photo n°11 – Création d'un arc électrique entre les deux fils de sortie du générateur

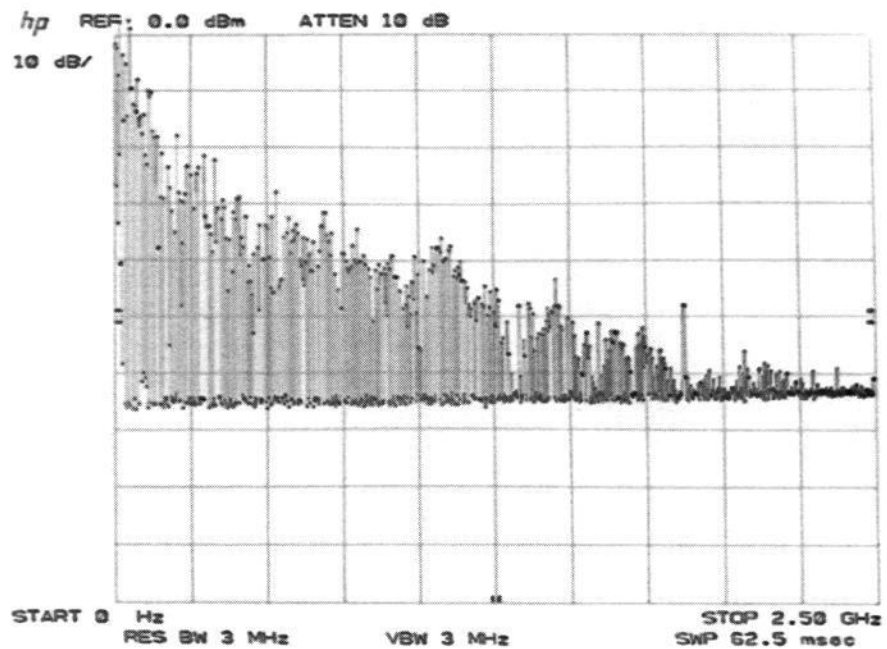


Photo n°9 - Capteur : antenne UHF (0,1-1GHz) ref à +20dBm - **bande 0 à 2,5GHz**  
Résonateurs débranchés, **création d'un arc de 10mm** entre les extrémités des fils de liaison

## Oscillateur MWO



Photo n°12 – Création d'un court-circuit entre les deux fils de sortie du générateur

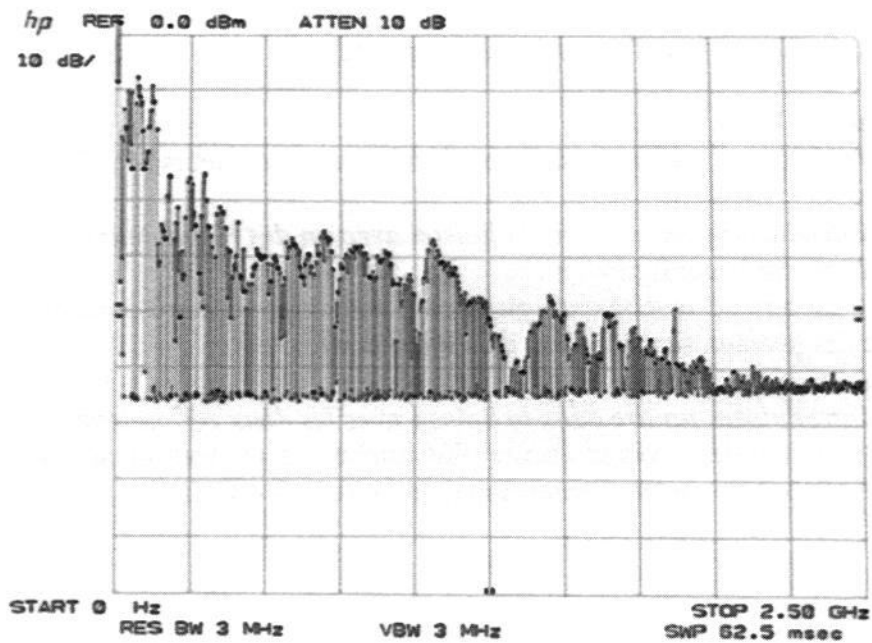


Photo n°10 - Capteur : antenne UHF (0,1-1GHz) ref à +20dBm - bande 0 à 2,5GHz  
Résonateurs débranchés, création d'un court-circuit entre les fils de sortie du générateur

## **5.2 L'OSCILLATEUR M.W.O et RÉSONATEURS « Thieux » avec spires alignées**

### **5.2.1 LE MATÉRIEL UTILISÉ**

Le générateur reste identique. Par contre, les résonateurs sont remplacés par le modèle de G. Thieux. Les spires des deux résonateurs sont « alignées », c'est-à-dire disposées dans un même plan de symétrie.

La photo n°1 donne une vue d'ensemble du dispositif.

#### ***Résultat général***

La photo n°4 montre un spectre comparable à celui des résonateurs MWO.

#### ***Résultat en introduisant un arc dans la liaison avec un des résonateurs***

La photo n°2 montre la configuration.

La photo n°3 montre un spectre analogue à celui obtenu avec les résonateurs MWO (photo n°9), mais avec des niveaux sensiblement plus importants.

#### ***Résultat en introduisant un arc dans la liaison avec les deux résonateurs***

La photo n°5 montre des niveaux encore plus importants qu'avec un seul arc. De plus, la photo n°6 laisse envisager une large extension du spectre (> à 4 GHz).

Oscillateur MWO – résonateurs « Thieux »



Photo n°1 – Vue d'ensemble avec résonateurs « Thieux »

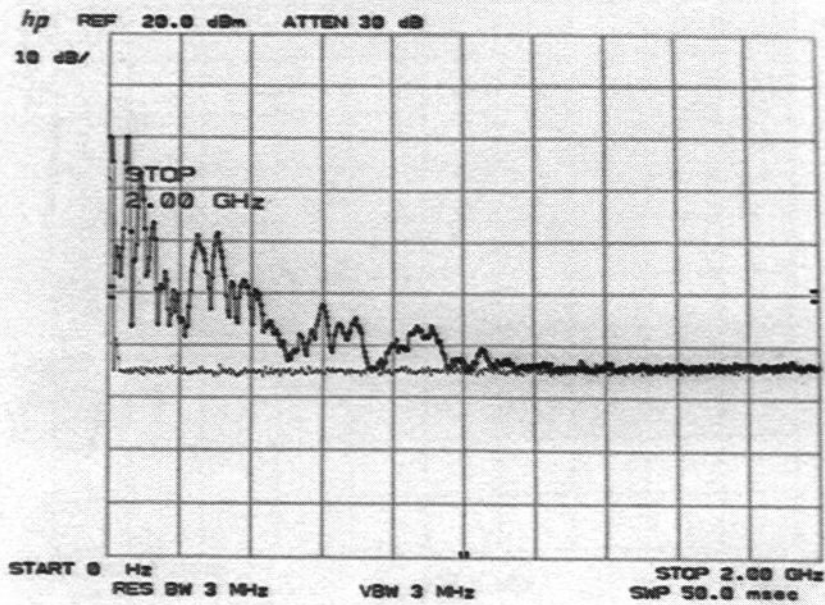


Photo n°4 - Capteur : antenne UHF (0,1-1GHz) ref à +20dBm - bande 0 à 2GHz  
Générateur : 2 résonateurs excités sans arc sur les connections

Oscillateur MWO – résonateurs « Thieux »



Photo n°2 – Introduction d'un arc sur un des résonateurs

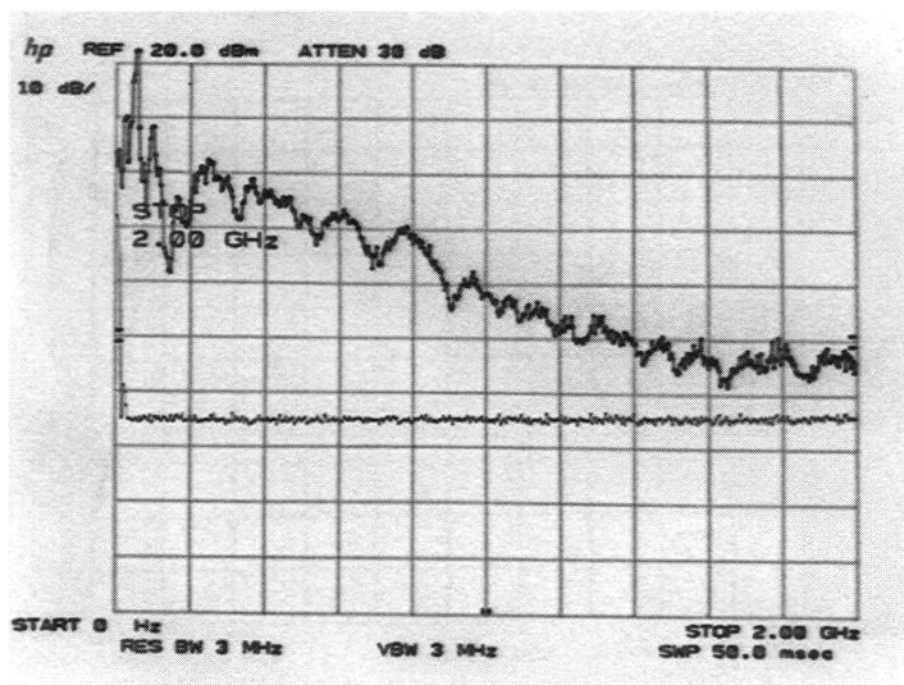


Photo n°3 - Capteur : antenne UHF (0,1-1GHz) ref à +20dBm - bande 0 à 2GHz  
Générateur : 2 résonateurs excités – avec arc sur une connexion

Oscillateur MWO – résonateurs « Thieux »

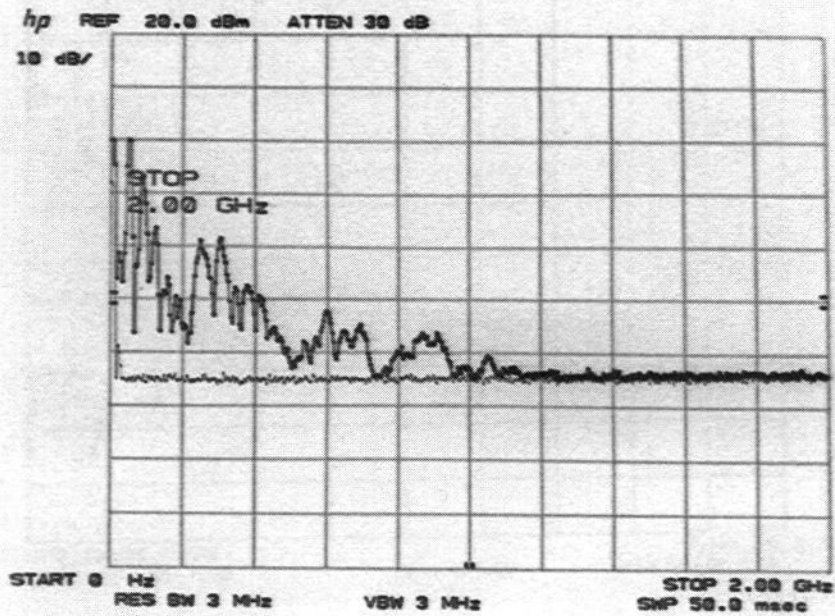


Photo n°4 - Capteur : antenne UHF (0,1-1GHz) ref à +20dBm - bande 0 à 2GHz  
Générateur : 2 résonateurs excités – sans arc sur les connexions

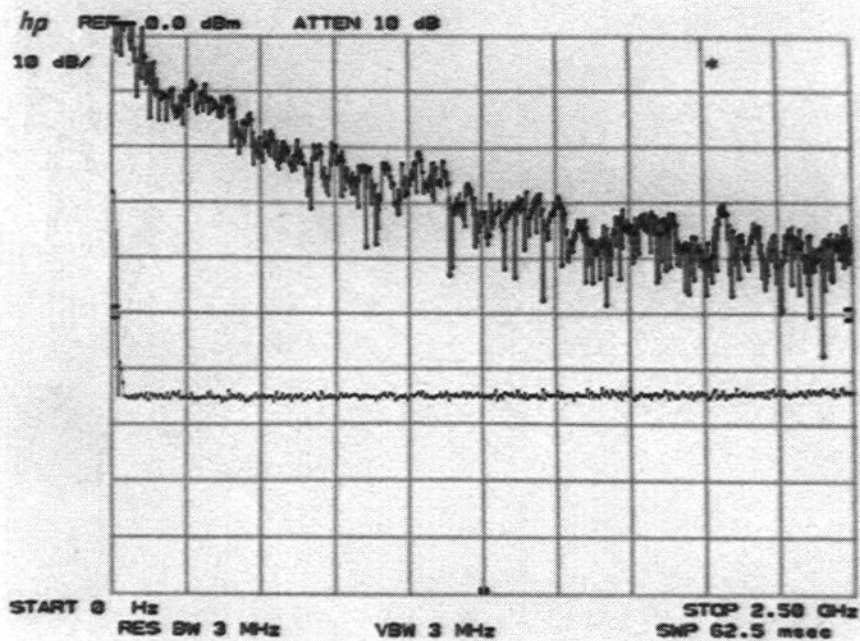


Photo n°5 - Capteur : antenne UHF (0,1-1GHz) ref à +20dBm - bande 0 à 2,5GHz  
Générateur : 2 résonateurs excités – avec arc sur les 2 connexions

Oscillateur MWO – résonateurs « Thieux »

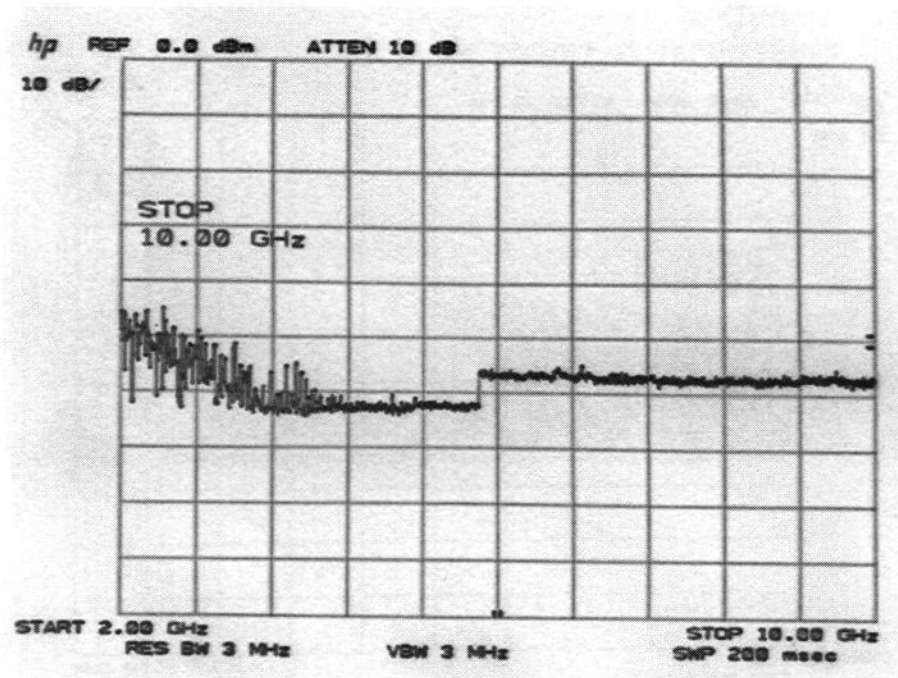


Photo n°6 - Capteur : antenne UHF (0,1-1GHz) ref à +20dBm - bande 2 à 10GHz  
Générateur : 2 résonateurs excités – avec arc sur les 2 connexions

### **5.3 L'OSCILLATEUR M.W.O et RÉSONATEURS « Thieux » avec spires alternées**

#### **5.3.1 LE MATÉRIEL UTILISÉ**

La configuration générale reste la même. Par contre, les ouvertures des spires des deux résonateurs ne sont plus « alignées » mais décalées de 90°.

##### ***Résultat général***

La photo n°1 montre un spectre bien meilleur qu'avec les diffuseurs dont les spires sont alignées.

##### ***Résultat en introduisant un arc dans la liaison avec les deux diffuseurs***

Les photos n° 2 et 3 montrent un spectre très amélioré par rapport au précédent.

##### ***Résultat en introduisant un arc dans la liaison avec les deux diffuseurs sur la 4<sup>ème</sup> spire***

Les photos n° 7 et 8 montrent un spectre nettement moins intéressant que le précédent.

Oscillateur MWO – résonateurs « Thieux »

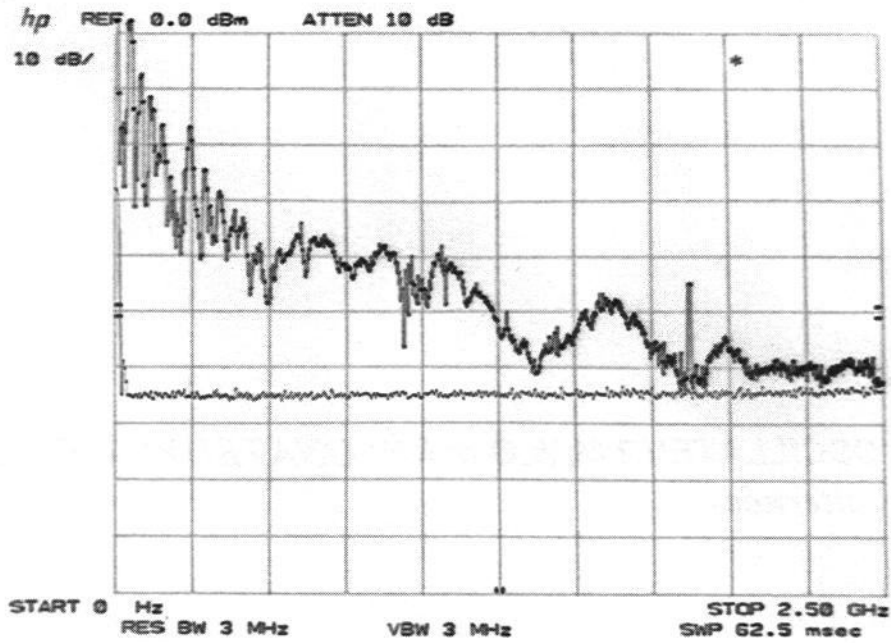


Photo n°1 - Capteur : antenne UHF (0,1-1GHz) ref à 0dBm - bande 0 à 2,5GHz  
Générateur : 2 résonateurs excités – sans arc sur les 2 connexions

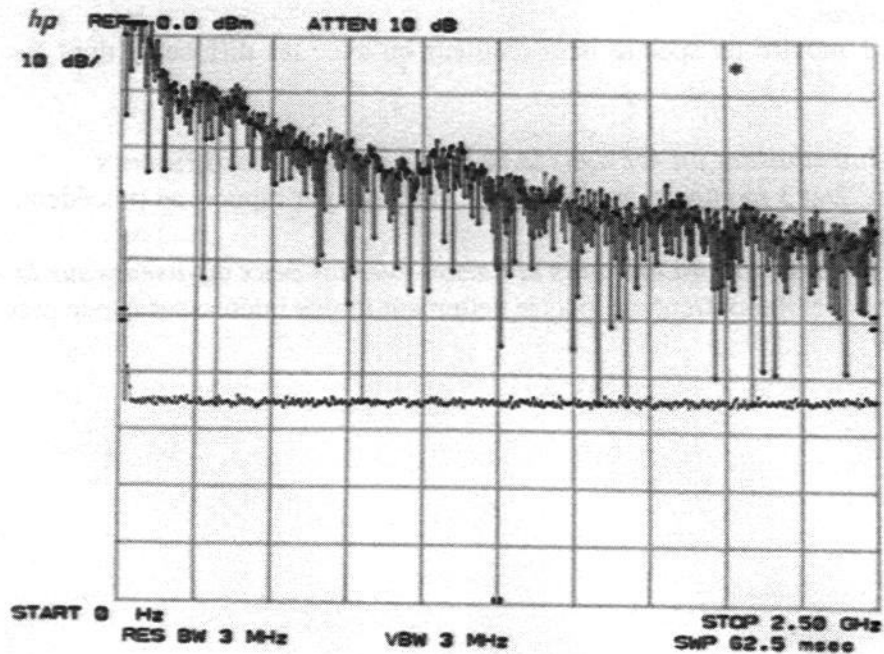


Photo n°2 - Capteur : antenne UHF (0,1-1GHz) ref à 0dBm - bande 0 à 2,5GHz  
Générateur : 2 résonateurs excités – avec arc sur les 2 connexions

Oscillateur MWO – résonateurs « Thieux »

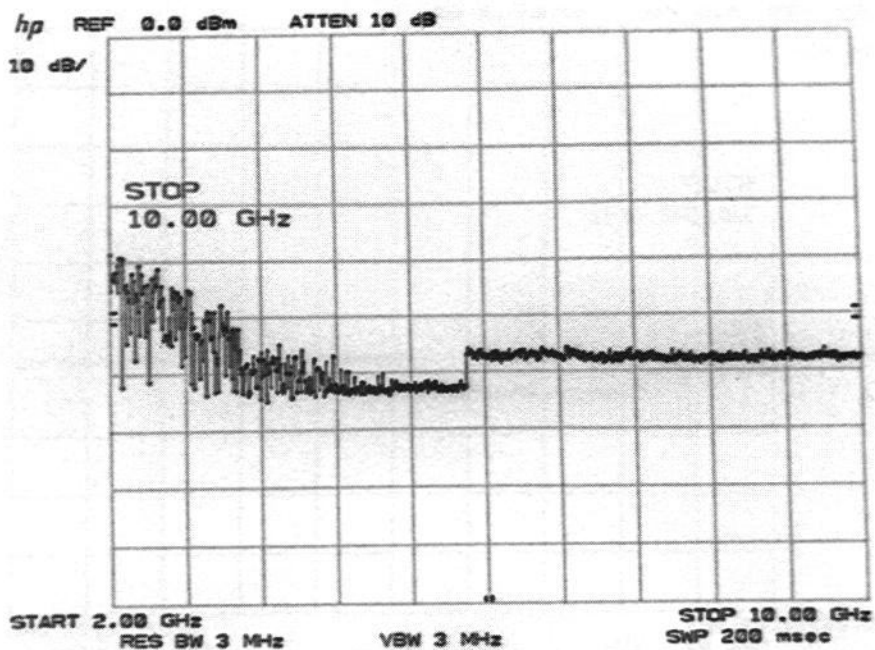


Photo n°3 - Capteur : antenne UHF (0,1-1GHz) ref à 0dBm - bande 0 à 10GHz  
Générateur : 2 résonateurs excités – avec arc sur les 2 connexions

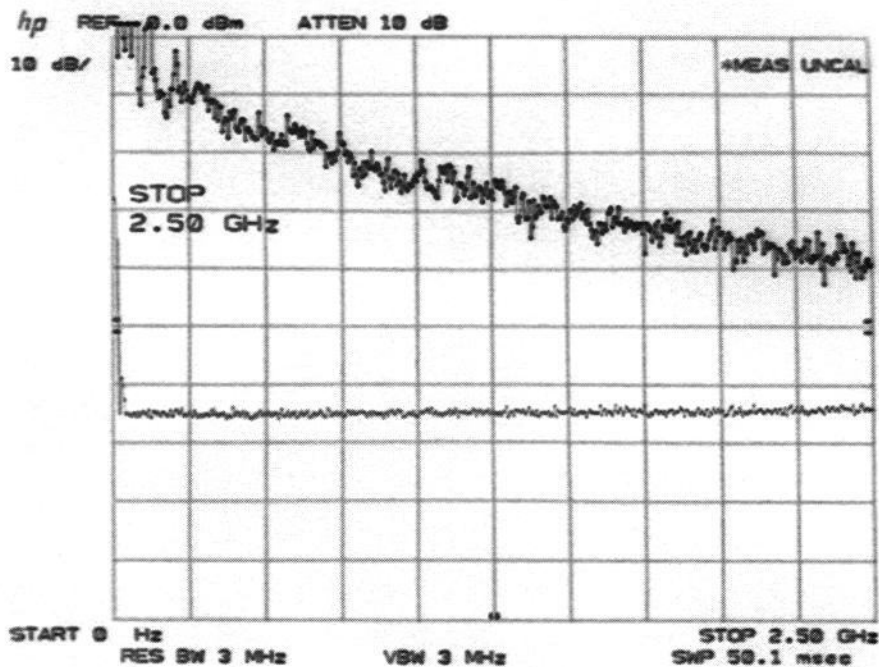


Photo n°7 - Capteur : antenne UHF (0,1-1GHz) ref à 0dBm - bande 0 à 2,5GHz  
Générateur : 2 résonateurs excités sur la 4ème spire – avec arc sur les 2 connexions

Oscillateur MWO – résonateurs « Thieux »

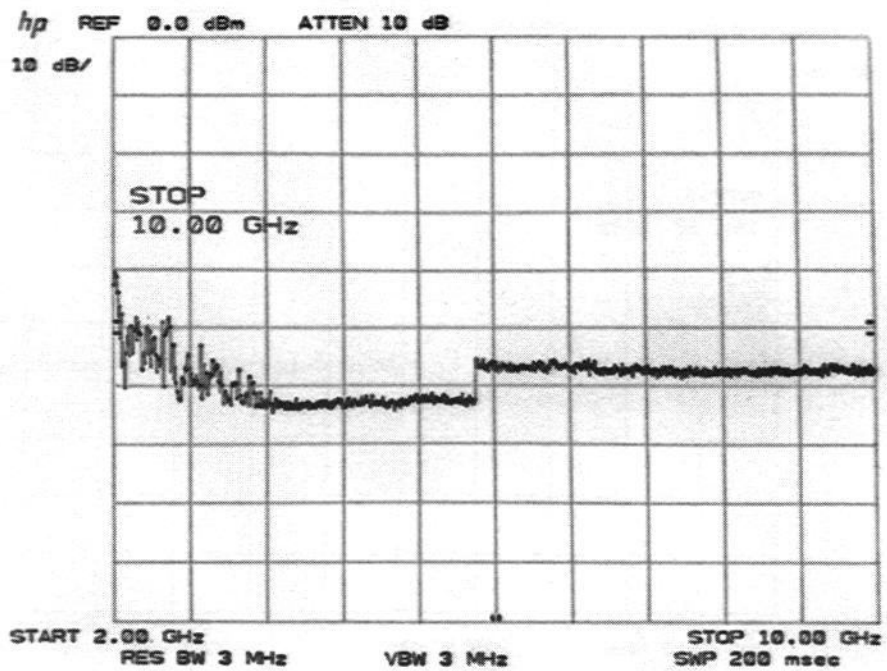


Photo n°7 - Capteur : antenne UHF (0,1-1GHz) ref à 0dBm - bande 2 à 10GHz  
Générateur : 2 résonateurs excités sur la 4ème spire – avec arc sur les 2 connexions

## **5.4 L'OSCILLATEUR « DIETI-NATURE »**

### **LE MATÉRIEL UTILISÉ**

Cet oscillateur comporte :

- un générateur « Holo Électron »,
- un résonateur spécial constitué d'un certain nombre de spires alternées (10 spires  $\varnothing 5$  et 4 spires  $\varnothing 2$ ) analogues à celles du diffuseur Thieux associées à un tube néon.

#### ***Résultat général***

La photo n°4 montre que les niveaux sont en moyenne un peu plus élevés que ceux du générateur Hollande associé aux diffuseurs Thieux. Par contre, on constate la présence d'un trou important entre 500 et 750 MHz.

#### ***Résultat en débranchant le tube néon***

La figure 5 montre que la présence du tube néon n'apporte rien de bien significatif.

#### ***Résultat en introduisant un arc dans la connexion avec le tube néon***

La figure 6 montre une amélioration très importante des niveaux qui présente de grandes analogies avec celle observée pour les diffuseurs Thieux. De plus, on constate que le trou observé avec le tube néon a disparu.

Oscillateur « Diéti Nature »

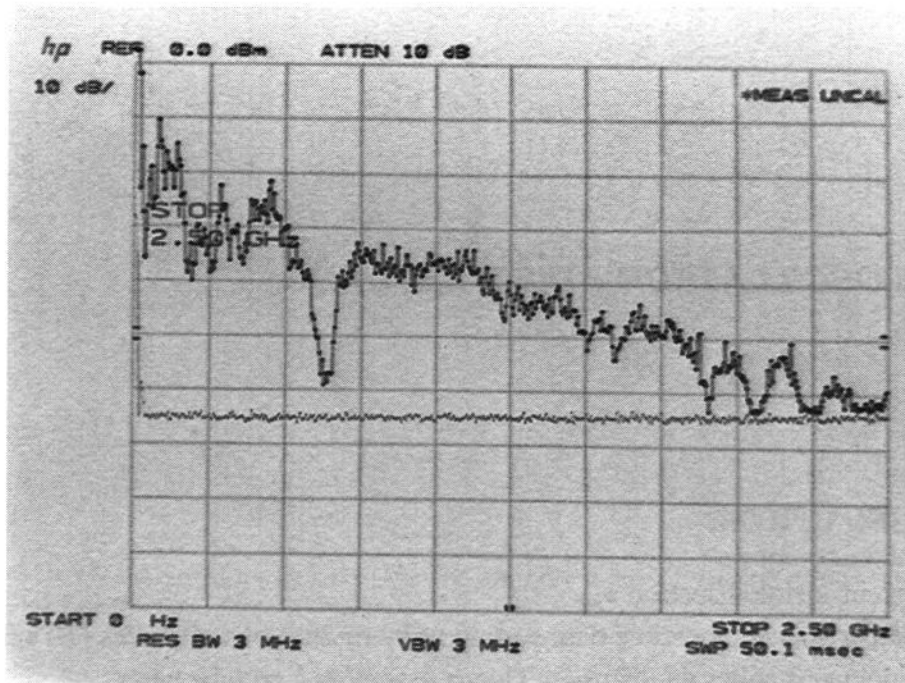


Photo n°4 - Capteur : antenne UHF (0,1-1GHz) ref à 0dBm - bande 0 à 2,5GHz  
Générateur : 1 résonateurs excité + tube néon branché

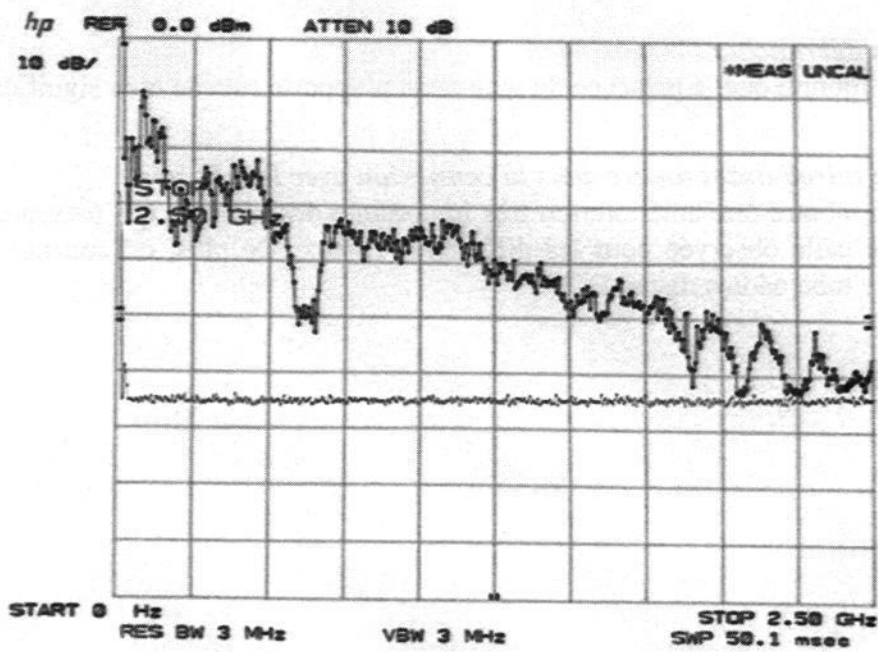


Photo n°5 - Capteur : antenne UHF (0,1-1GHz) ref à 0dBm - bande 0 à 2,5GHz  
Générateur : 1 résonateurs excité + tube néon débranché

Oscillateur « Dieti Nature »

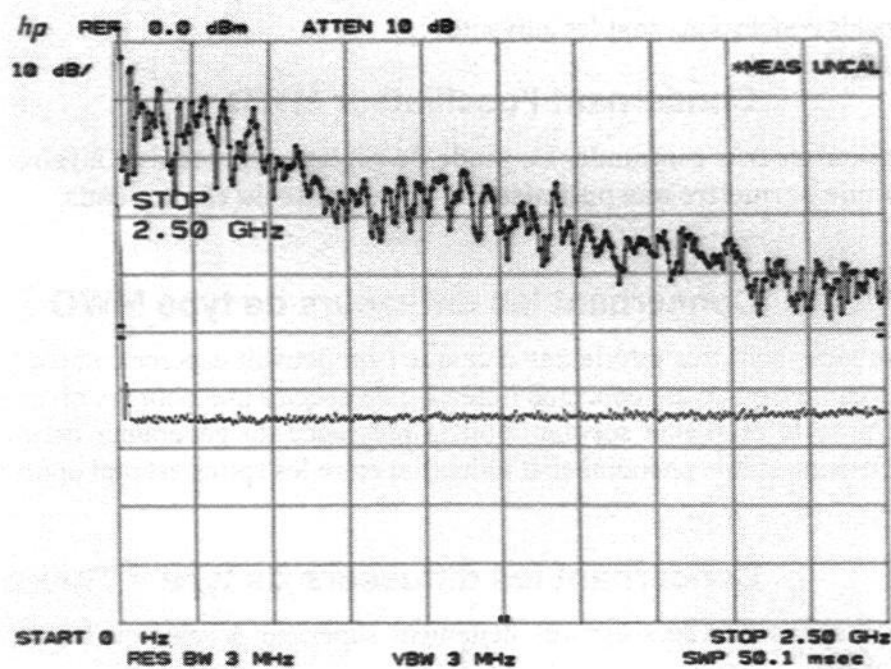


Photo n°6 - Capteur : antenne UHF (0,1-1GHz) ref à 0dBm - bande 0 à 2,5GHz  
Générateur : 1 résonateur excité avec arc sur la bande spire + tube néon débranché

## **5.5 CONCLUSION**

Les principales conclusions sont les suivantes :

### **5.5.1 Concernant l'oscillateur MWO**

Son utilisation est très commode. Le mode de réglage qui consiste à faire varier l'arc électrique semble permettre une optimisation importante du champ émis.

### **5.5.2 Concernant les diffuseurs de type MWO**

Les performances sont très inférieures à ce que l'on pouvait espérer compte tenu de leurs dimensions, aussi bien en ce qui concerne l'étendue du spectre que pour les niveaux.

Ce constat pose le problème suivant : soit la puissance du générateur est trop faible en regard des diffuseurs, soit le phénomène d'induction entre les spires est mal optimisé.

### **5.5.3 Concernant les diffuseurs de type « Thieux »**

Le modèle à spires alternées est très nettement supérieur à celui où les ouvertures des spires sont alignées.

### **5.5.4 Concernant les effets des arcs électriques**

On constate que l'introduction d'arcs électriques entraîne une amélioration considérable des performances (+20 dB). Il faut remarquer que les niveaux obtenus grâce à ce moyen rappellent ceux du générateur de Lakhovsky. Cependant, ils restent encore très inférieurs à celui-ci en ce qui concerne l'étendue du spectre (qui va jusqu'à 10 Ghz).

### **5.5.5 Influence de l'injection à travers une ampoule néon**

Le fait de créer un arc électrique au niveau des diffuseurs ayant montré que ce procédé permettait d'obtenir une amélioration considérable du spectre (+20dB), nous avons voulu voir s'il en était de même avec une lampe à plasma.

Cette injection à travers une ampoule néon sur un, puis sur les deux diffuseurs, n'a pas montré de modifications notables des performances.

### **5.5.6 Conclusion provisoire**

En résumé, deux choses ressortent très nettement de cette étude :

1 – L'introduction d'arcs électriques dans le circuit de liaison avec les résonateurs permet d'améliorer beaucoup le spectre.

2 – Il nous semble évident que la configuration exacte du champ électrique émis par les résonateurs a une influence considérable sur les effets thérapeutiques obtenus.

En conséquence, il conviendra d'étudier plus avant cet aspect du problème.

## 6 ESSAIS EFFECTUÉS Le 06 – 06 -2003

### 6.1 ÉTUDE DE L'OSCILLATEUR DE "LANCOSME"

#### 6.1.1 LE MATÉRIEL UTILISÉ

Cet oscillateur comporte :

- un générateur émettant 3 gammes de fréquences,
- deux résonateurs.

Il s'agit de matériels spécifiques dont nous ne connaissons pas le principe de fonctionnement.

#### 6.1.2 LES ESSAIS

##### *Configuration*

On conserve la configuration générale des mesures effectuées lors des essais précédents.

Les signaux émis sont captés au moyen d'une antenne située à environ 1,15 m dans l'axe du dispositif et à 1,31 m du sol.

Les 2 diffuseurs sont toujours espacés de 0,82 m.

La photo n°1 donne une vue d'ensemble du dispositif.

##### *Résultats*

La photo n°2 donne le spectre correspondant aux gammes de fréquence 1 et 2.

La photo n°3 donne le spectre correspondant à la gamme de fréquence n°3.

On remarque qu'il y a très peu de différences entre chaque gamme et que l'étendue du spectre reste très faible : < 300 MHz.

Par ailleurs, les mesures que nous avons faites concernant l'intensité du champ électrique montrent que celui-ci est très important.

Oscillateur "Lancosme"

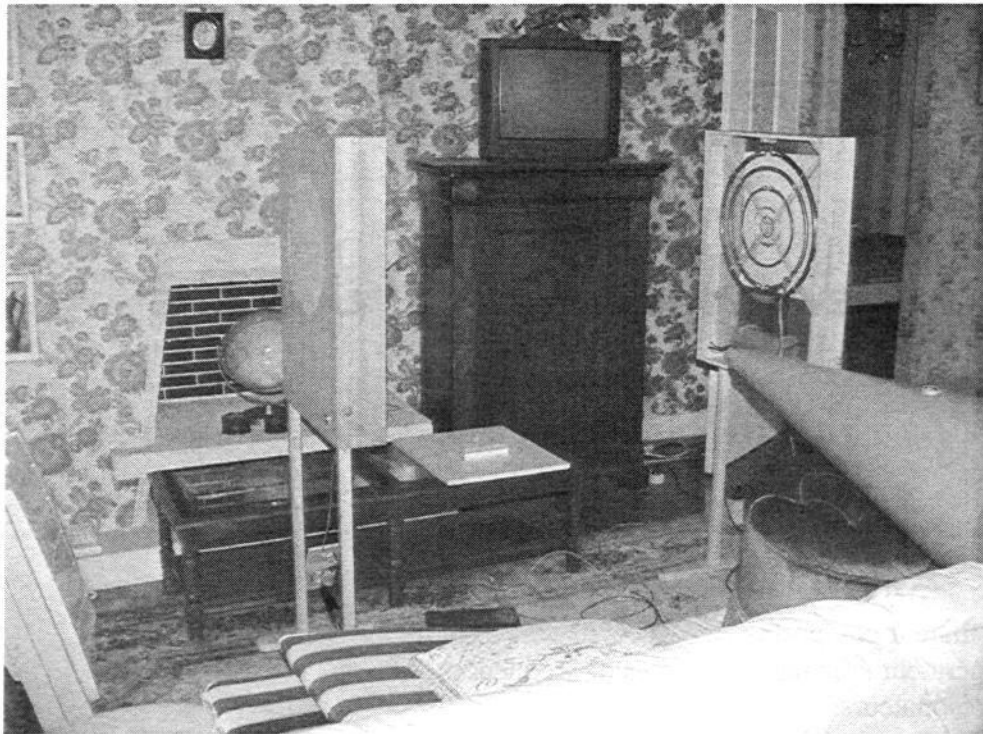


Photo n°1 – Vue d'ensemble de l'installation "Lancosme"

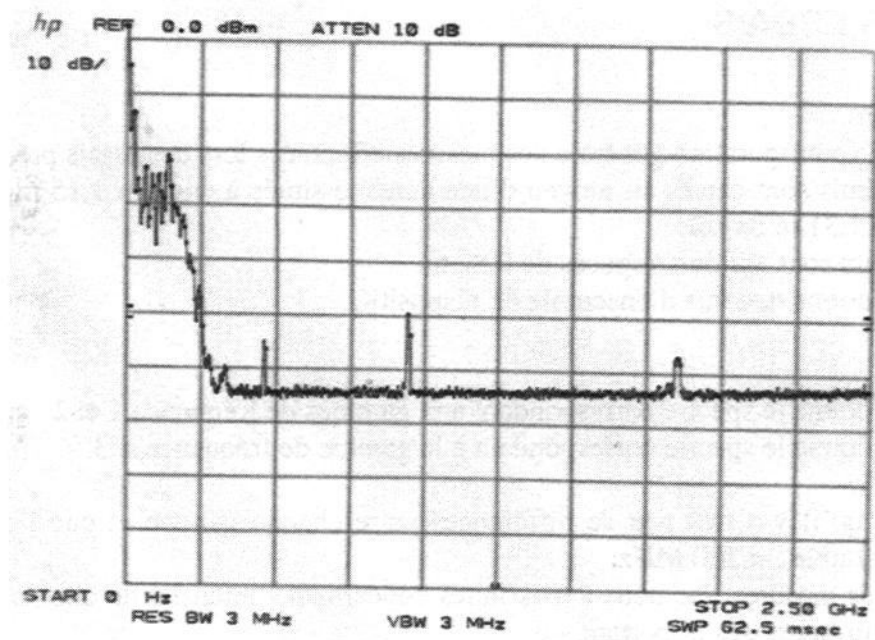


Photo n°2 – Gamme de fréquences 1 et 2

Oscillateur "Lancosme"

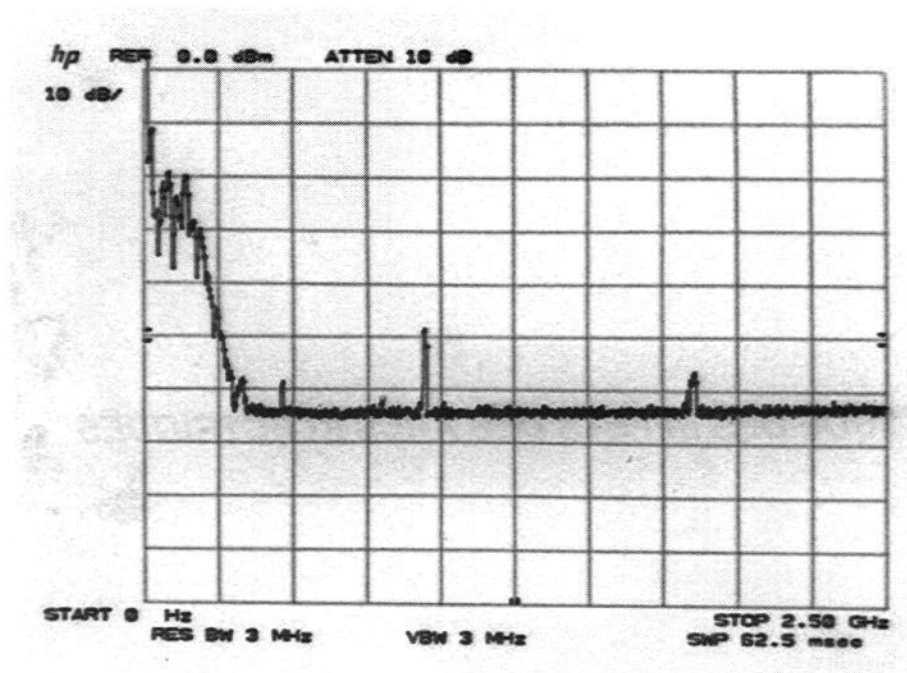


Photo n°3 – Gamme de fréquences 3

## **6.2 ÉTUDE DES EFFETS DES ARCS ÉLECTRIQUES**

### **6.2.1 LE MATÉRIEL UTILISÉ**

L'oscillateur utilisé pour faire ces essais est constitué de :

- deux générateurs "Holo Electron",
- deux résonateurs de type "DECLA".

### **6.2.2 LES ESSAIS**

Le but est d'étudier de manière plus détaillée les effets obtenus en introduisant un arc électrique dans le circuit d'excitation des résonateurs.

Les essais ont été faits :

- Sans arc électrique.
- En insérant un arc électrique sur chaque résonateur au moyen d'une bougie de voiture.

Trois variantes ont été évaluées : les bougies sont d'abord situées à la sortie de la bobine de l'Holo Électron, puis directement sur le résonateur diffuseur, enfin pour ce dernier cas, les masses des deux bobines sont reliées entre elles.

- En insérant les arcs à la sortie de chaque bobine au moyen de vis platinées.

#### ***Configuration***

On conserve la configuration générale des essais précédents.

La photo n°4 donne une vue d'ensemble du dispositif.

## 6.2.3 Résultats

### *Résultats sans arc électrique*

Les photos n°5 et 6 donnent le spectre d'onde émis ; l'étendue de celui-ci est d'environ 2 GHz.

### *Résultats avec arcs électriques générés par des bougies d'automobiles*

Les photos n°5 et 6 donnent le spectre d'onde émis ; l'étendue de celui-ci est d'environ 2 GHz.

#### **– Les bougies sont situées à la sortie des bobines**

La photo n°7 montre un spectre très nettement amélioré jusqu'à 0,8 GHz (comparaison avec la photo n°5).

#### **– Les bougies sont situées directement au contact des diffuseurs**

La photo n°8 ne montre pas de différences significatives avec la précédente.

**– Les bougies sont situées directement au contact des diffuseurs et les masses sont reliées**

La photo n°9 montre une légère amélioration au tout début du spectre.

### *Résultats avec arcs électriques générés par des vis platinées*

Les photos n°10 et 11 montrent une amélioration considérable : environ 10 dB en début de spectre et 20 dB à la fin de celui-ci.

On remarque que l'on obtient des résultats tout à fait comparables à ceux des mesures effectuées le 10-01-03 avec l'oscillateur MWO associé aux résonateurs « Thieux ».

Étude des arcs électriques



Photo n°4 - Vue d'ensemble de l'installation utilisée pour étudier les arcs électriques

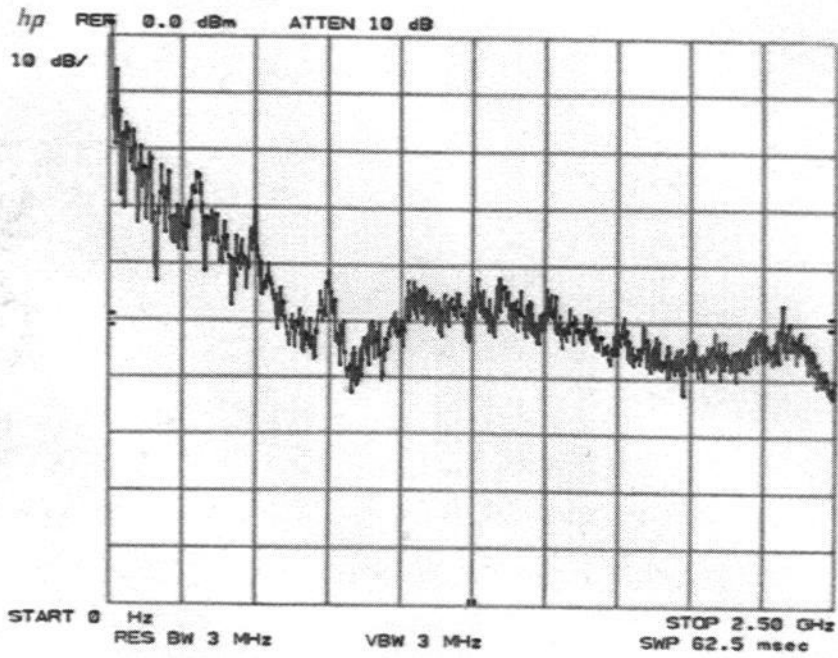


Photo n°5 - Sans arc électrique

Étude des arcs électriques

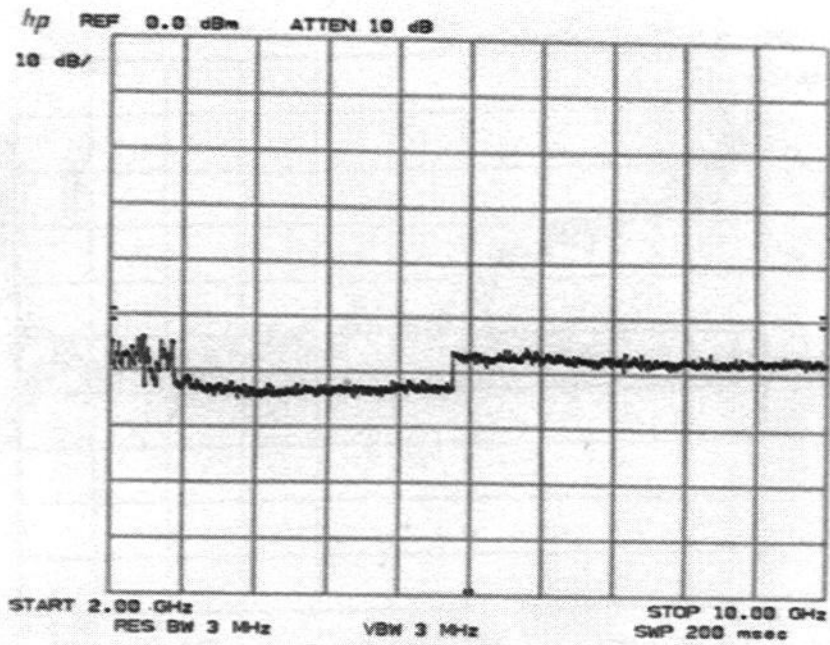


Photo n°6 – Sans arc électrique

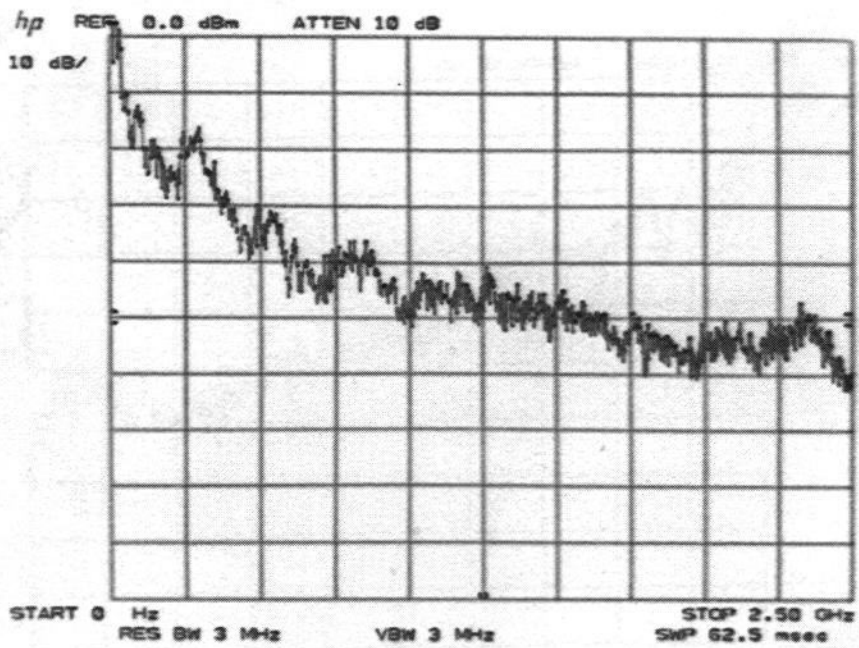


Photo n°7 – Avec arcs électriques générés par des bougies situées en sortie des Holo Électron

## Étude des arcs électriques

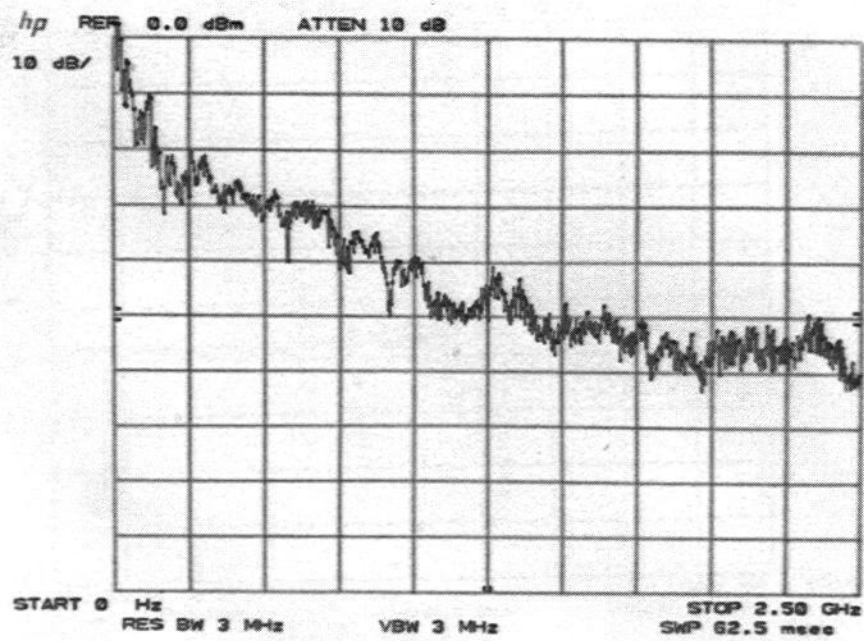


Photo n°8 – Avec arcs électriques générés par des bougies en contact avec les résonateurs

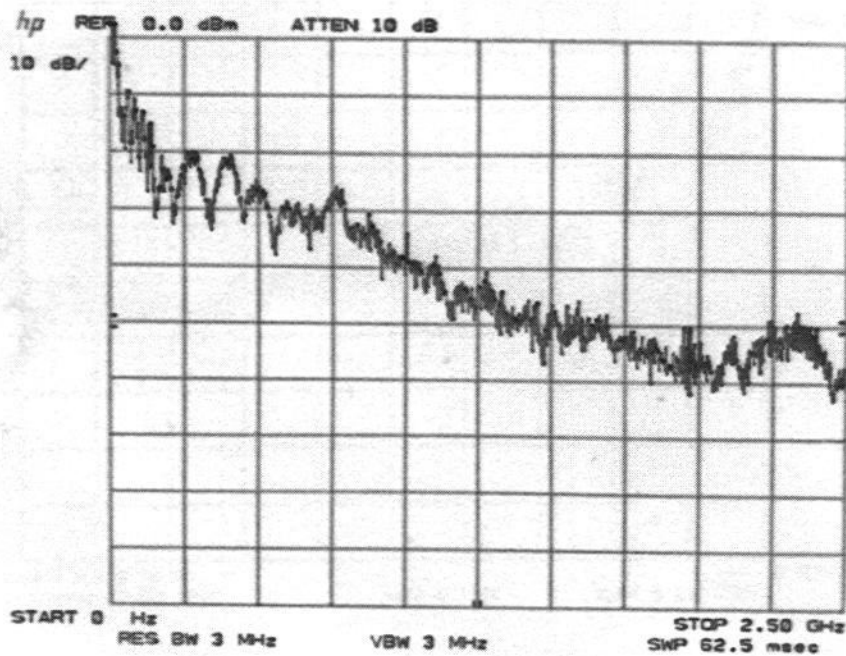


Photo n°9 – Avec arcs électriques générés par des bougies en contact avec les résonateurs : les masses des 2 Holo Électron sont reliées

# Étude des arcs électriques

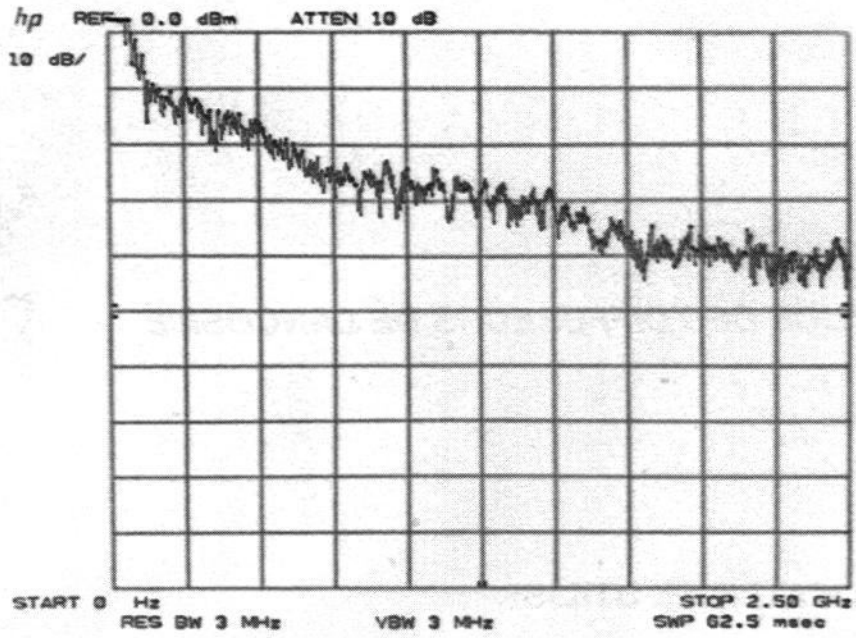


Photo n°10 – Avec arcs électriques générés par des vis platinées

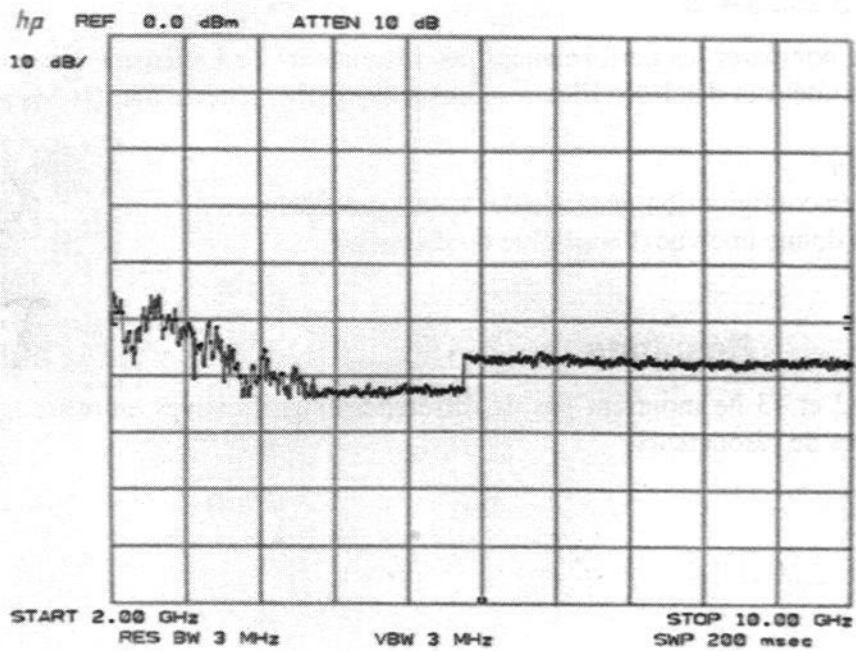


Photo n°11 – Avec arcs électriques générés par des vis platinées

## **6.3 ÉTUDE DES DIFFUSEURS DE LANCOSME**

### **6.3.1 LE MATÉRIEL UTILISÉ**

Cet oscillateur comporte :

- deux générateurs Holo Électron,
- deux résonateurs de "Lancosme".

### **6.3.2 LES ESSAIS**

Le but est de comparer les performances des résonateurs de Lancosme à ceux de DECLA lorsqu'ils sont excités par des Holo Électron. Les arcs ont été générés par des vis platinées.

#### ***Configuration***

On conserve la configuration générale des essais précédents.

La photo n°4 donne une vue d'ensemble du dispositif.

### **6.3.3 Résultats**

Les photos 12 et 13 ne montrent pas de différences significatives entre les spectres émis par les deux types de résonateurs.

Étude des résonateurs de Lancosme

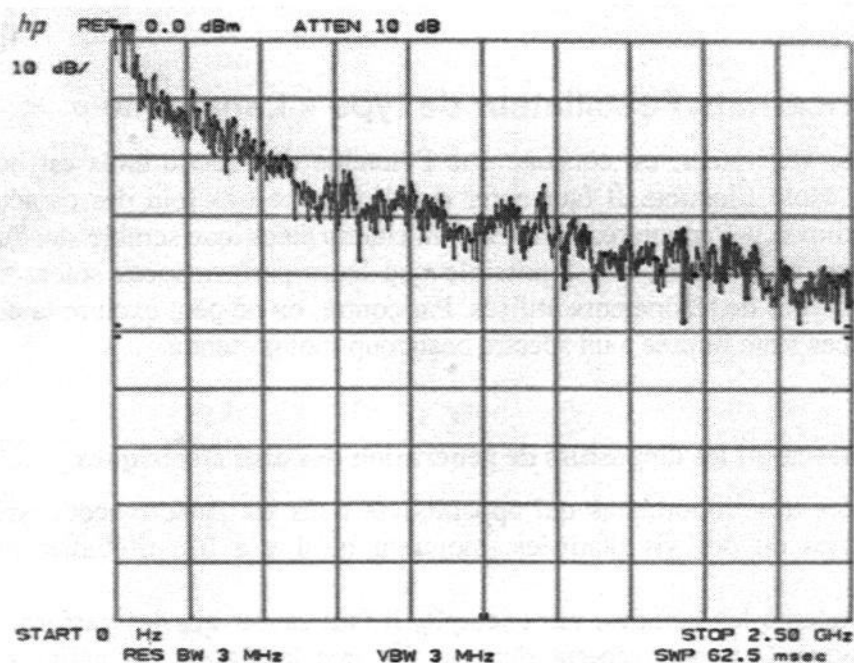


Photo n°12 – Résonateurs de Lancosme  
Arcs électriques générés par des vis platinees

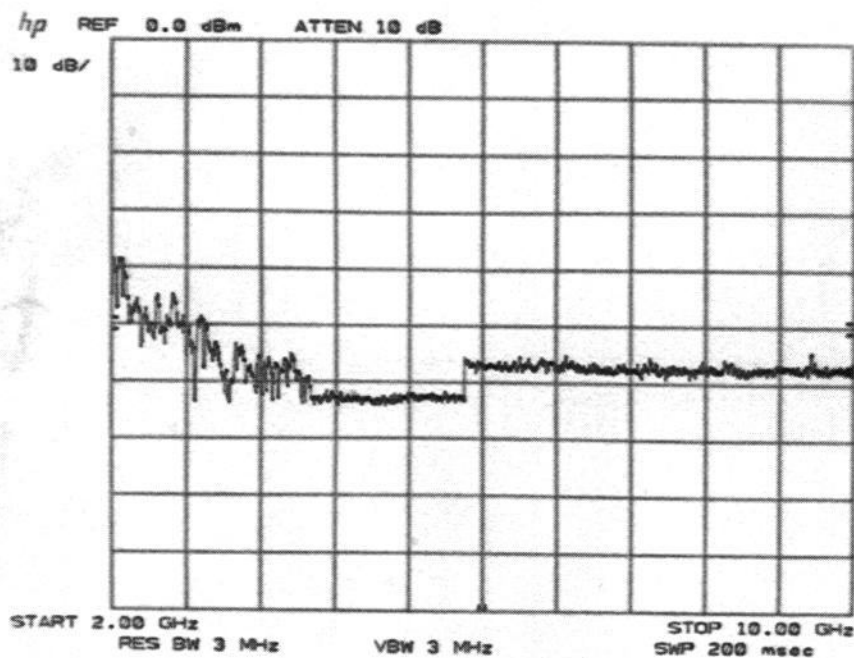


Photo n°13 – Résonateurs de Lancosme  
Arcs électriques générés par des vis platinees

## **6.4 CONCLUSION**

Les principales conclusions sont les suivantes :

### **6.4.1 Concernant l'oscillateur de type « Lancosme »**

Concernant le générateur, on constate que l'étendue du spectre émis est beaucoup plus faible qu'avec l'Holo Électron. Il faut noter que l'on reste très loin des caractéristiques de l'OLOM de Lakhovsky. Par contre, l'intensité du champ électrique semble satisfaisante.

Concernant les résonateurs, il est possible que leurs performances soient supérieures à celles des autres types de résonateurs utilisés. Par contre, on ne peut exclure la possibilité que leurs performances reste limitée à un spectre beaucoup moins étendu.

### **6.4.2 Concernant les dispositifs de génération des arcs électriques**

Les différences très importantes qui apparaissent dans les performances, selon que l'on utilise des bougies ou des vis platinées, montrent qu'il y a lieu d'étudier plus avant ce domaine.

En ce qui concerne les bougies, par exemple, il faut savoir que les performances varient avec le type utilisé. Cet inconvénient tient au fait que la plupart est antiparasitée, ce qui introduit une impédance qui amortit l'arc électrique. Ce problème n'existe pas avec les vis platinées.

## **7 ESSAIS EFFECTUÉS Le 16 – 01 - 2004**

### **7.1 L'OSCILLATEUR "TESLAKOV"**

#### **7.1.1 LE MATÉRIEL UTILISÉ**

Cet oscillateur constitue une innovation importante.

Il comporte un générateur et deux résonateurs spécifiques :

- le générateur a été conçu en tenant compte des études précédentes et en particulier du fait que les arcs électriques permettaient d'obtenir des spectres d'ondes beaucoup plus importants.

Le nom que nous lui avons choisi est là pour rappeler les travaux de Nicolas Tesla et de Georges Lakhovsky, qui nous ont permis d'aboutir à une solution particulièrement élégante.

- quant aux résonateurs, l'objectif était de s'affranchir au maximum des problèmes de fabrication des spires ouvertes des solutions précédentes.

#### **7.1.2 LES ESSAIS**

##### ***Configuration générale***

On conserve la configuration générale des mesures effectuées lors des essais précédents.

Les signaux émis sont captés au moyen d'une antenne située à environ 1,15 m dans l'axe du dispositif et à 1,31 m du sol.

Les résonateurs utilisés sont de type « DECLA » et espacés de 1,20 m.

La photo n°4 des essais effectués le 06 – 06 – 03 donne une idée de l'installation. Il ne manque que le générateur.

##### ***Résultats sans arcs électriques***

La photo n°1 donne le spectre du générateur seul.

La photo n°2 donne le spectre avec les deux diffuseurs.

### ***Résultats avec arcs électriques***

Les arcs électriques sont insérés dans le circuit de liaison entre le générateur et chacun des diffuseurs par l'intermédiaire de vis platinées.

- les vis platinées sont fermées (par d'arcs)

Voir la photo n°3.

- les vis platinées sont écartées

Voir la photo n°4

On constate que l'introduction des arcs électriques entraîne une augmentation importante des niveaux (entre 10 et 20dB). On peut logiquement en déduire que cela entraîne une augmentation sensible de la plage de fréquence.

## **7 ESSAIS EFFECTUÉS Le 16 – 01 - 2004**

### **7.1 L'OSCILLATEUR "TESLAKOV"**

#### **7.1.1 LE MATÉRIEL UTILISÉ**

Cet oscillateur constitue une innovation importante.

Il comporte un générateur et deux résonateurs spécifiques :

- le générateur a été conçu en tenant compte des études précédentes et en particulier du fait que les arcs électriques permettaient d'obtenir des spectres d'ondes beaucoup plus importants.

Le nom que nous lui avons choisi est là pour rappeler les travaux de Nicolas Tesla et de Georges Lakhovsky, qui nous ont permis d'aboutir à une solution particulièrement élégante.

- quant aux résonateurs, l'objectif était de s'affranchir au maximum des problèmes de fabrication des spires ouvertes des solutions précédentes.

#### **7.1.2 LES ESSAIS**

##### *Configuration générale*

On conserve la configuration générale des mesures effectuées lors des essais précédents.

Les signaux émis sont captés au moyen d'une antenne située à environ 1,15 m dans l'axe du dispositif et à 1,31 m du sol.

Les résonateurs utilisés sont de type « DECLA » et espacés de 1,20 m.

La photo n°4 des essais effectués le 06 – 06 – 03 donne une idée de l'installation. Il ne manque que le générateur.

##### *Résultats sans arcs électriques*

La photo n°1 donne le spectre du générateur seul.

La photo n°2 donne le spectre avec les deux diffuseurs.

# Oscillateur Teslakov

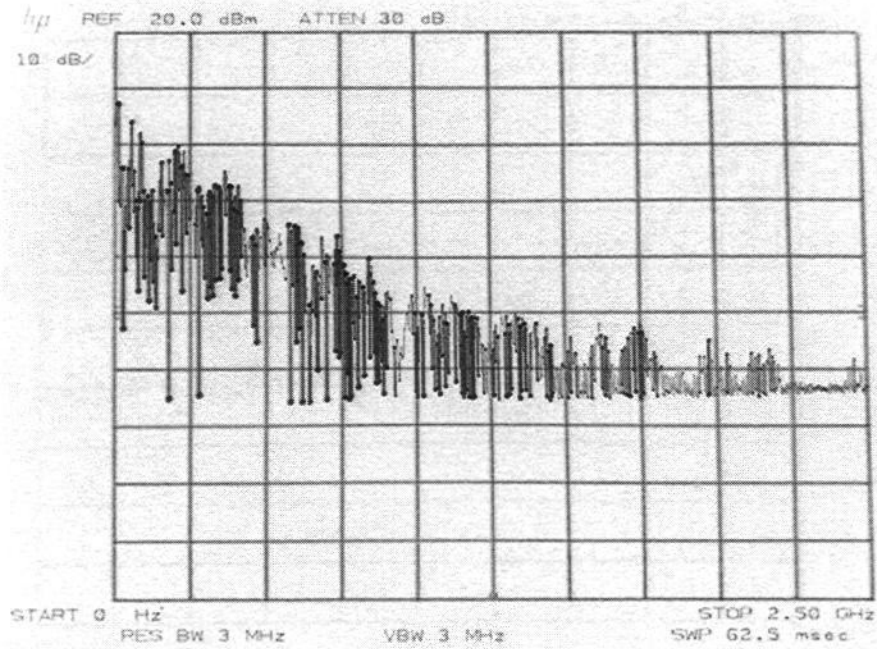


Photo n°1 - Générateur de type TESLA seul

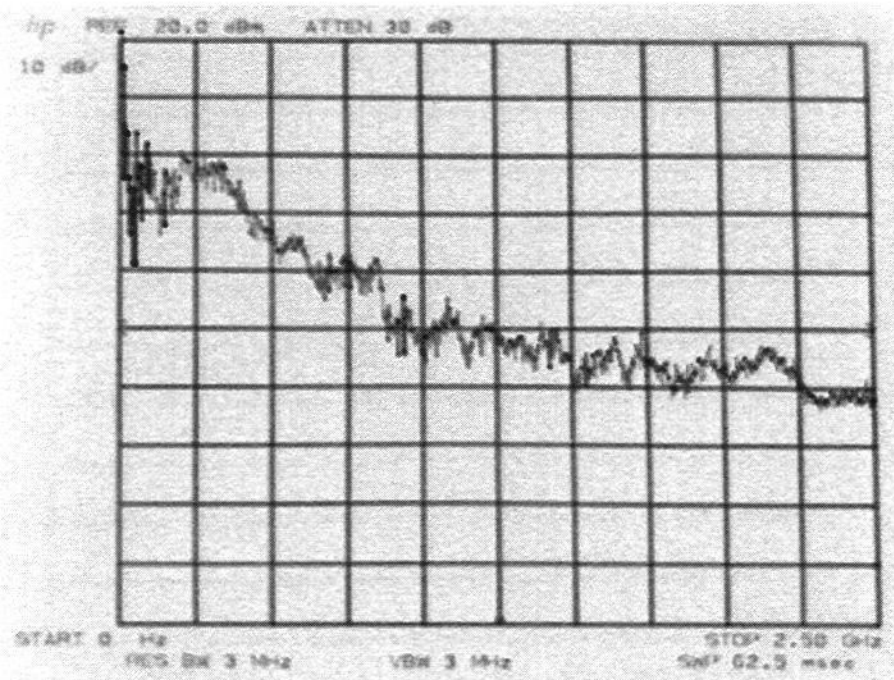


Photo n°2 - Générateur de type TESLA avec 2 diffuseurs de type DECLA

Oscillateur Teslakov

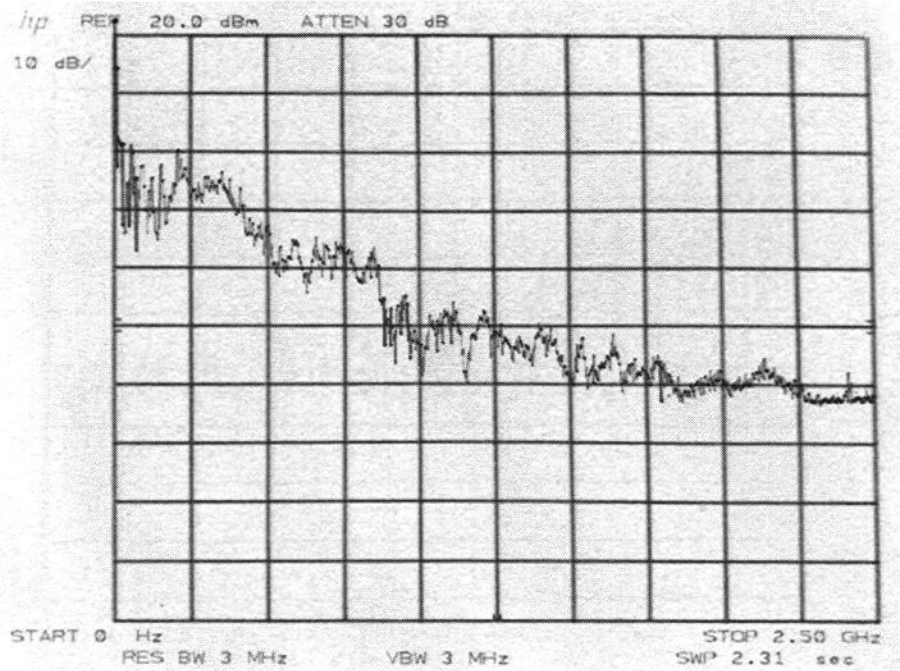


Photo n°3 - Même matériel avec vis platinées fermées (pas d'arcs)

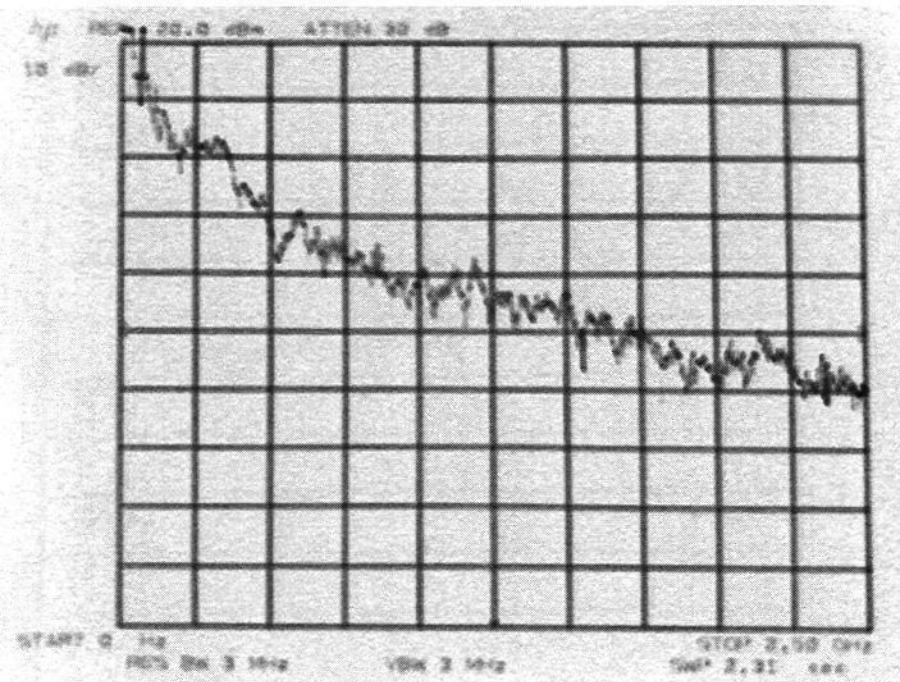


Photo n°4 Même matériel avec vis platinées écartées (arcs)

## **7.2 ÉTUDE D'UNE COPIE DU LAKHOVSKY**

### **7.2.1 LE MATÉRIEL UTILISÉ**

Il s'agit d'une copie simplifiée de l'oscillateur de Lakhovsky.

Le schéma de principe est respecté. Par contre, la réalisation fait appel aux matériels et technologies actuelles.

Les résonateurs utilisés sont de type « DECLA ».

### **7.2.2 LES ESSAIS**

#### *Configuration générale*

On conserve la configuration générale des mesures effectuées lors des essais précédents.

Les signaux émis sont captés au moyen d'une antenne située à environ 1,15 m dans l'axe du dispositif et à 1,31 m du sol.

#### *Résultats sans arcs électriques*

La photo n°5 donne le spectre du générateur seul.

La photo n°6 donne le spectre avec les deux diffuseurs.

#### *Résultats avec arcs électriques*

Les arcs électriques sont insérés dans le circuit de liaison entre le générateur et chacun des diffuseurs par l'intermédiaire de vis platinées. Celles-ci sont légèrement écartées.

Voir la photo n°7

On constate que l'introduction des arcs électriques entraîne ici peu de changement.

Globalement, on ne retrouve pas les résultats obtenus avec la vraie machine de LAKHOVSKY. Finalement, on constate que, pour des raisons inconnues, le transformateur est hors d'usage et que le générateur ne marche pas correctement.

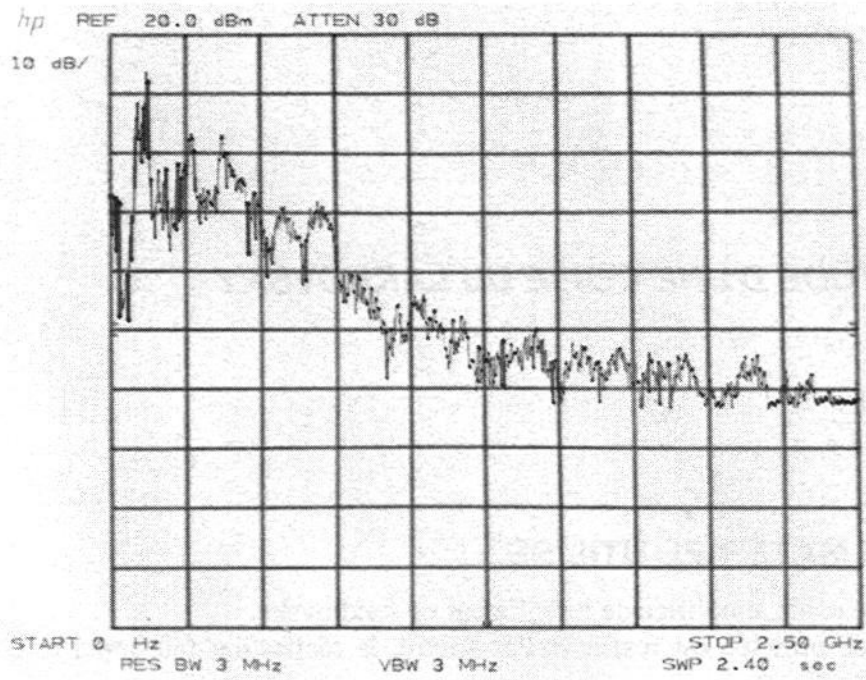


Photo n°5 - Générateur de type LAKHOVSKY seul

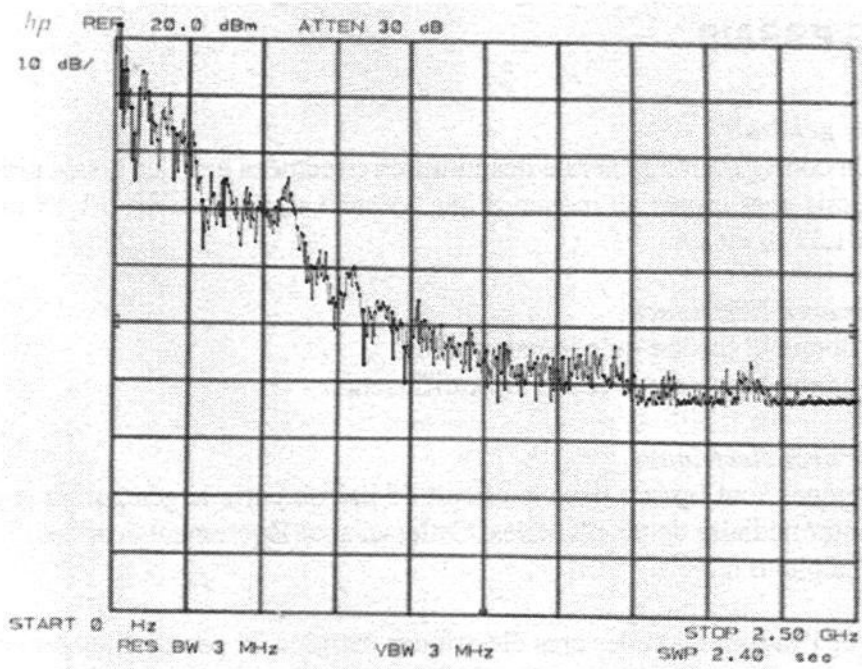


Photo n°6 - Générateur de type LAKOVSKY avec 2 diffuseurs de type DECLA

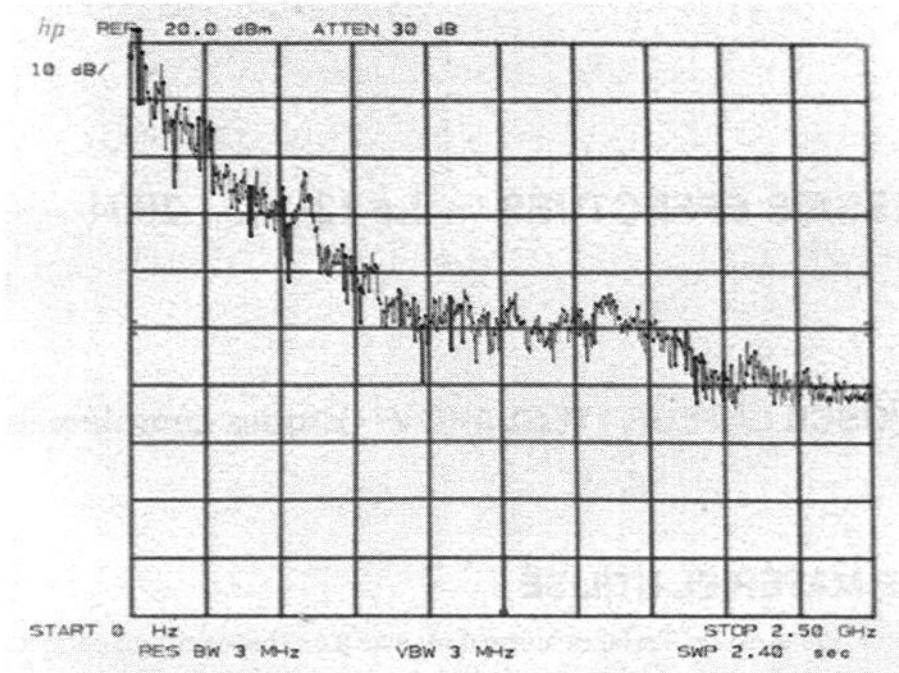


Photo n°7 - Matériel précédent avec les vis platinées légèrement écartées

### 7.2.3 Conclusion

Ces essais permettent de conclure :

1 – Que l'introduction d'arcs électriques entre le générateur et les diffuseurs augmente le niveau de l'énergie rayonnée et la plage de fréquence.

2 – Que les diffuseurs de type « DECLA » ont des performances comparables à celles de la machine de LAKHOVSKY d'origine.

## **8      ESSAIS EFFECTUÉS      Le 12 - 03 - 2004**

### **8.1.1    L'OSCILLATEUR "TESLAKOV" Études complémentaires**

#### **8.1.2    LE MATÉRIEL UTILISÉ**

Le générateur utilisé est un Teslakov normal associé à un dispositif qui permet d'introduire un arc électrique important et réglable dans la liaison avec les résonateurs.

Selon les essais, deux types de résonateurs ont été utilisés : un DECLA normal et un hybride de type Thieux (dimensionné à partir des dernières améliorations connues).

La photo n°1 donne une vue d'ensemble du dispositif.

#### **8.1.3    LES ESSAIS SUR L'OSCILLATEUR TESLAKOV**

##### *Configuration*

On conserve la configuration générale des mesures effectuées lors des essais précédents.

Les signaux émis sont captés au moyen d'une antenne située à environ 1,15 m dans l'axe du dispositif et à 1,31 m du sol.

Les deux résonateurs sont de type DECLA et espacés de 1,20 m.

### 8.1.4 Les résultats

Les essais ont été effectués de manière à évaluer l'incidence du réglage de l'éclateur de sortie sur le spectre.

**- avec éclateur réglé en position moyenne**

La photo n°3 donne le spectre de 0 à 2 GHz.

La photo n°4 donne le spectre de 2 à 10 GHz.

**- avec éclateur réglé en position mini et maxi**

La photo n°5 donne le spectre de 2 à 10 GHz pour un écartement mini.

La photo n°6 donne le spectre de 2 à 10 GHz pour un écartement maxi.

On constate que le réglage de l'éclateur ne semble pas avoir d'incidence significative sur le spectre émis.

Si l'on compare le spectre obtenu avec celui de la vraie machine de LAKHOVSKY, on peut dire :

- que ces spectres sont très voisins,
- que celui du générateur TESLAKOV est plus régulier et plus riche en harmoniques. Par ailleurs, les essais complémentaires effectués montrent également qu'il va beaucoup plus loin (on trouve des émissions jusqu'à 20 GHz).

### 8.1.5 L'ÉTUDE COMPARATIVE DES DIFFUSEURS DE TYPE DECLA ET THIEUX

*Configuration*

On conserve la configuration générale des mesures effectuées lors des essais précédents.

Les essais sont effectués en remplaçant l'un des diffuseurs de type DECLA par le diffuseur de type THIEUX.

*Les résultats*

Les essais effectués n'ont pas montré de différences significatives des spectres d'émission.

# Étude du Teslakov

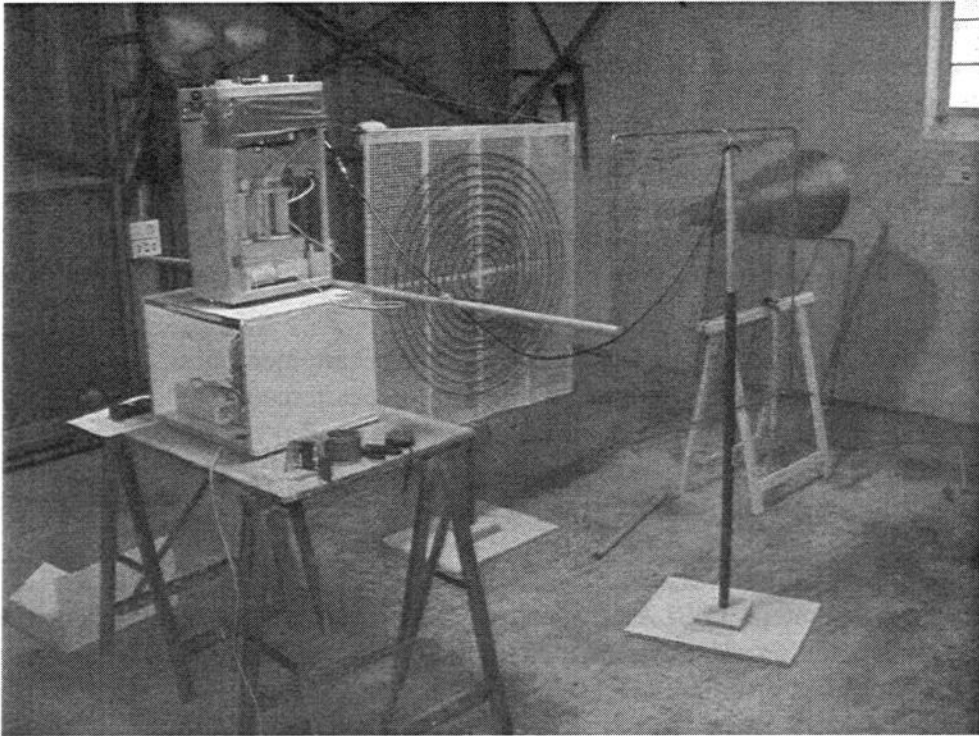


Photo n°1 - Vue d'ensemble du dispositif.

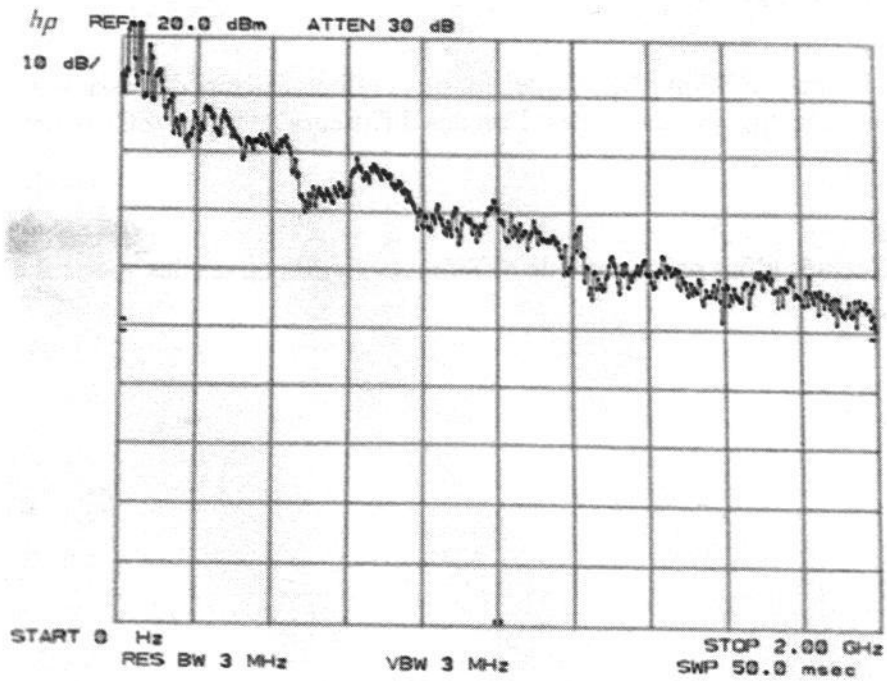


Photo n°3 - Réglage des éclateurs en position moyenne

# Étude du Teslakov

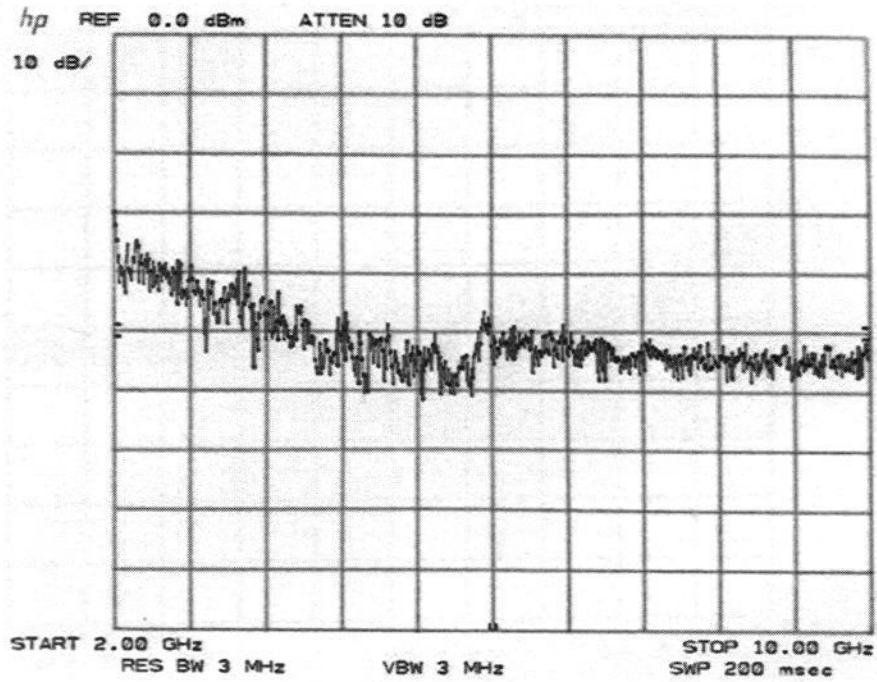


Photo n°4 - Réglage des éclateurs en position moyenne

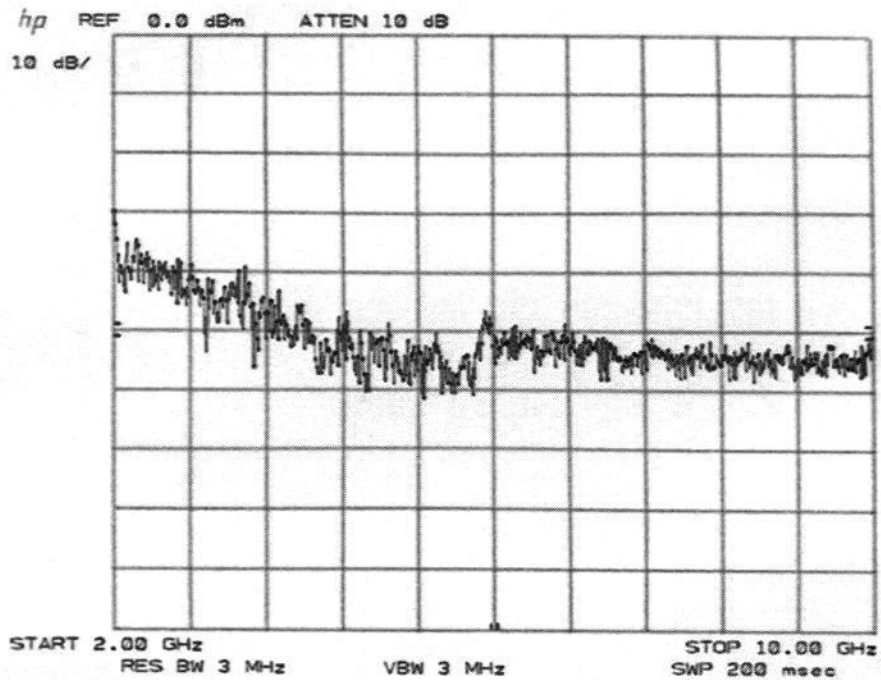


Photo n°5 - Réglage des éclateurs en position mini

Étude du Teslakov

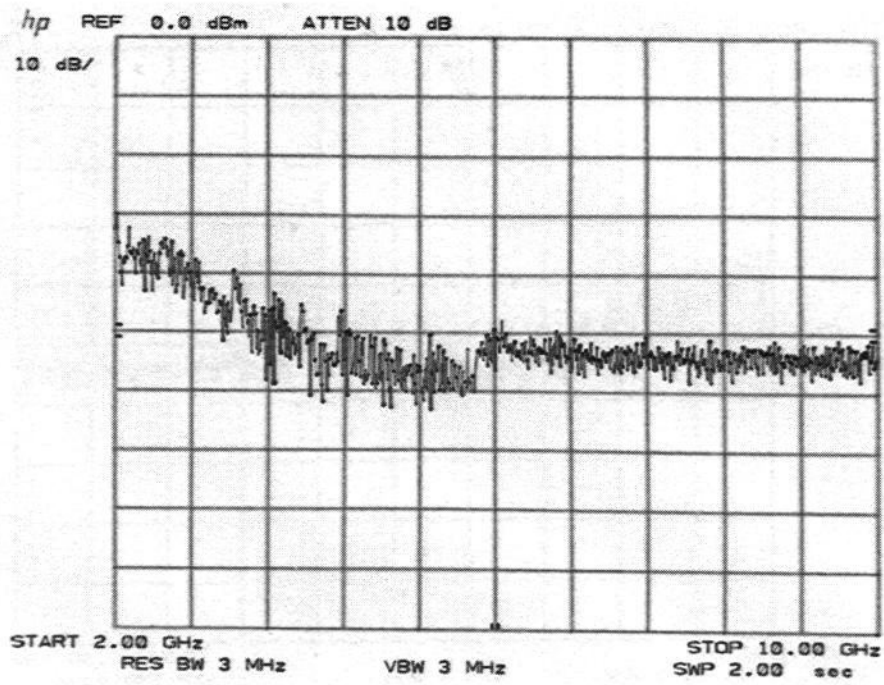


Photo n°6 - Réglage des éclateurs en position maxi

## **8.2 Conclusion**

Ces essais permettent de conclure que :

- 1 – L'introduction d'un arc électrique en liaison directe avec les 2 diffuseurs augmente considérablement la plage de fréquence du spectre émis.
- 2 – Le réglage des éclateurs ne semble pas avoir d'effet très significatif sur ce spectre.
- 3 – Les performances respectives des diffuseurs DECLA et THIEUX sont comparables.

Par ailleurs, on a pu vérifier que l'association du TESLAKOV et des diffuseurs DECLA permettait d'obtenir un excellent rendement vis-à-vis de l'énergie rayonnée.

### ***Remarques***

On peut s'interroger ici sur les raisons précises qui ont conduit G. LAKHOVSKY à concevoir des diffuseurs à partir de spires ouvertes aussi sophistiquées. Le fait d'améliorer éventuellement les effets thérapeutiques en utilisant des métaux différents lors de leur réalisation ne nous semble pas suffisant pour expliquer ce choix.

À notre sens et sauf erreur, ce concept nous semble avoir eu pour objectif essentiel d'améliorer le spectre d'émission du générateur utilisé en multipliant le nombre d'harmoniques grâce à cette configuration.

Avec l'oscillateur Teslakov, ce besoin disparaît puisque, cette fois, les harmoniques sont créés par le générateur lui-même lorsque les arcs électriques sont en liaison directe avec les résonateurs. Dès lors, la seule exigence qui subsiste est de disposer de résonateurs capables de rayonner correctement l'énergie fournie, ce qui est le cas du concept DECLA.

## 9 ESSAIS EFFECTUÉS Le 19 – 07 - 2007

### 9.1 L'OSCILLATEUR DE Georges LAKHOVSKY Version complète

#### 9.1.1 LE MATÉRIEL UTILISÉ

Le générateur est un matériel d'époque, conforme au schéma donné au début de ce document, qui a été complètement restauré. Il fonctionne sur les trois enroulements du primaire du transformateur.

Les résonateurs sont d'origine. L'un d'eux a été restauré complètement, les isolants supportant les spires ayant fondus par effet Corona. Il lui manquait plusieurs spires (au centre), qui ont été remplacées. La seule différence par rapport aux spires d'origine concerne les métaux utilisés.

Le 1er résonateur est connecté aux sorties 1 et 2 et le second à la sortie 3, comme représenté sur le schéma en page 2 de ce document.

#### 9.1.2 LES ESSAIS

##### Essai global

###### *Configuration*

Cet essai a été effectué avec les deux résonateurs espacés de 82 cm.

La configuration générale est la même que lors des essais précédents. Le centre des résonateurs est situé à 1,31m du sol (photo n°1 et n°1 bis) .

###### *Moyen de mesure*

Les signaux émis sont captés au moyen d'une antenne située à 1,15m dans l'axe dans les mêmes conditions que lors des essais précédents (photo n°1).

###### *Résultats*

Les photos 2 et 3 montrent que les résultats sont quasiment identiques à ceux obtenus

avec l'Oscillateur de LAKHOVSKY incomplet, voir photo n°8 et n°9 de l'essai du 18-01-2002

### **Essais détaillés**

L'objectif de ces essais consistait à examiner comment évoluait le spectre :

- 1 - En modifiant la distance entre les 2 résonateurs,
- 2 - Avec un seul résonateur.
- 3 - En reliant les excitateurs directement aux sorties 1 et 2 du générateur, comme lors des essais du 18-01-02.

Tous les relevés effectués lors des essais de type 1 et 2 peuvent être représentés, à quelques détails près, par les photos n°4 et 5. On constate que les résultats sont quasiment identiques à ceux obtenus pour l'essai global.

*En définitive, on peut considérer que le spectre d'ondes émis est quasiment indépendant de l'espacement entre les résonateurs et même de l'absence d'un de ceux-ci.*

Ce résultat, qui peut sembler surprenant, corrobore parfaitement les premiers essais effectués le 18-01-02.

Les photos 6 et 7 correspond à l'essai de type 3. Dans ce cas on se retrouve quasiment dans les conditions d'essai du 18-01-2002 avec l'Oscillateur de LAKHOVSKY incomplet et l'on retrouve également les mêmes spectres (voir photo n°8 et n°9 de l'essai du 18-01-2002). Le fait de travailler sans les excitateurs (bobine de houdin) diminue très légèrement le rayonnement aux très hautes fréquences (comparer le spectre de la photo n°3 et n°7)

Tout ceci nous a amenés à examiner quelle était la part de spectre due au générateur seul.

### **Essais effectués avec le générateur seul**

La photo n°8 montre qu'il existe effectivement un spectre d'ondes émis par le générateur seul, mais celui-ci est relativement faible et ne remet pas en cause les résultats ci-dessus.

Oscillateur de LAKHOVSKY complet

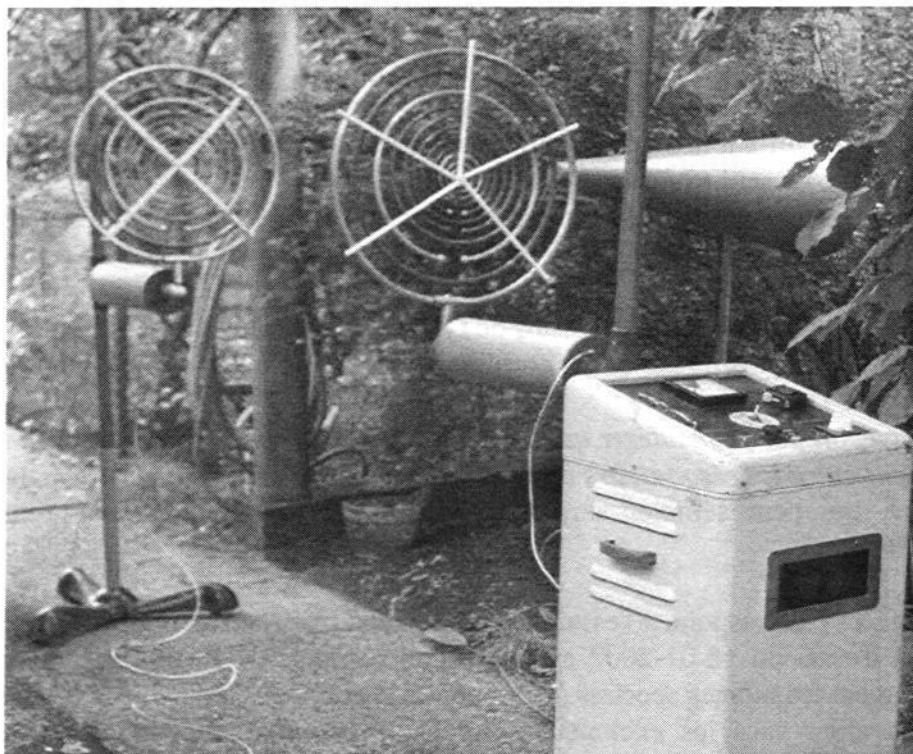


Photo n°1 - Oscillateur de LAKHOVSKY  
Antenne de mesure entre les deux résonateurs



Photo n°1 bis - Oscillateur de LAKHOVSKY  
Autre vue de l'antenne de mesure entre les deux résonateurs  
Oscillateur de LAKHOVSKY complet

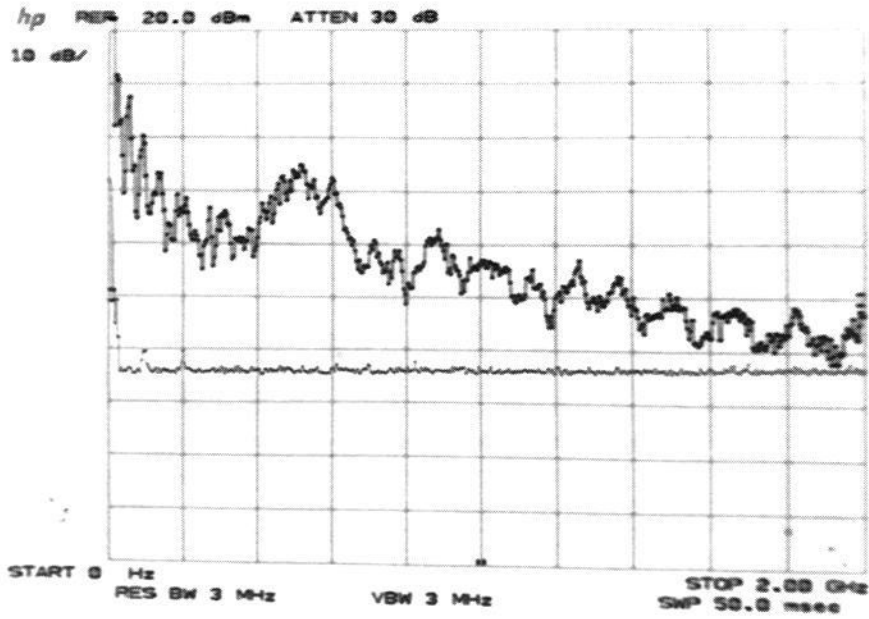


Photo n°2 - Capteur : antenne UHF (0,1-1GHz) ref à +20dBm - bande 0 à 2GHz  
Générateur : configuration nominale

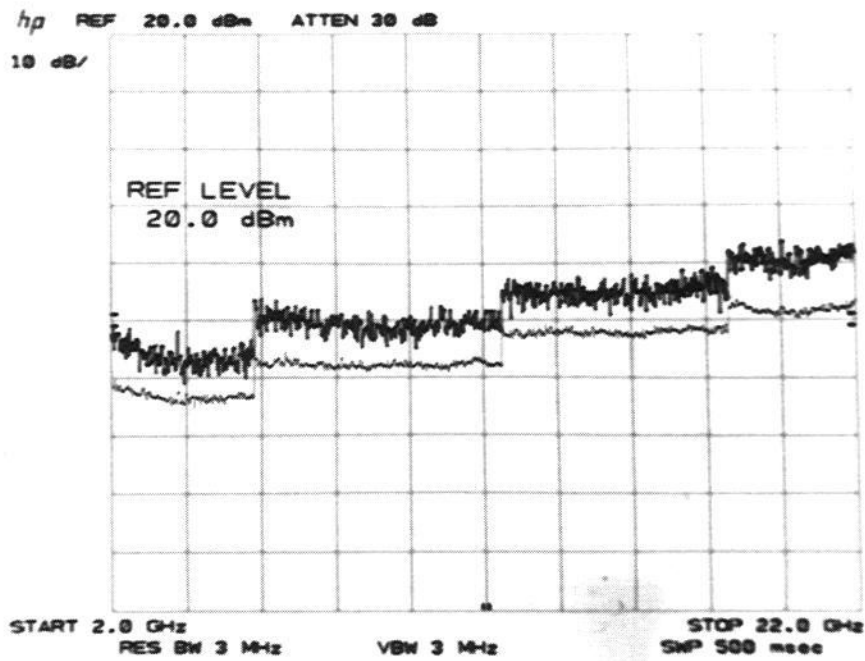


Photo n°3 - Capteur : antenne UHF (0,1-1GHz) ref à +20dBm - bande 2 à 22GHz  
Générateur : configuration nominale

Oscillateur de LAKHOVSKY complet

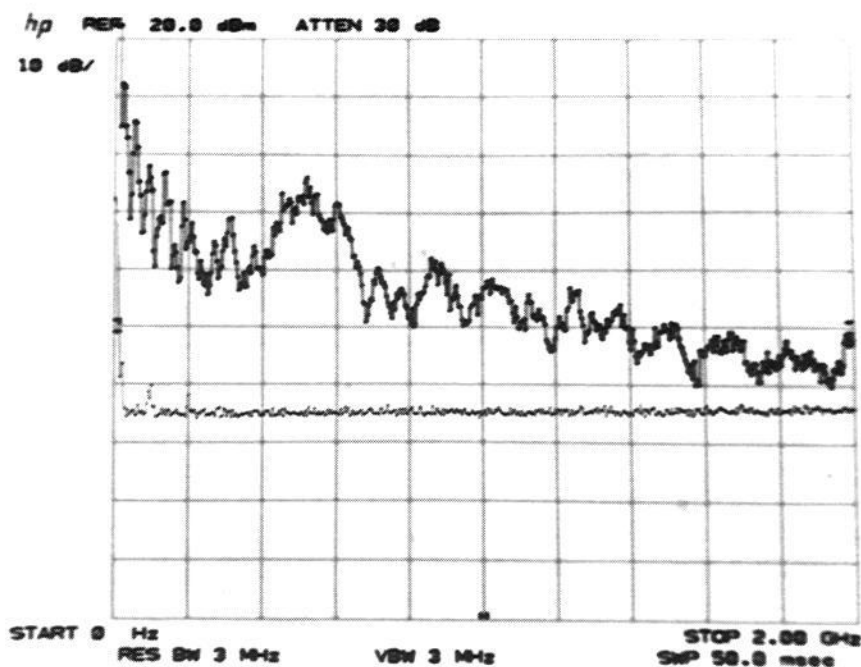


Photo n°4 - Capteur : antenne UHF (0,1-1GHz) ref à +20dBm - bande 0 à 2GHz  
Générateur : configurations diverses

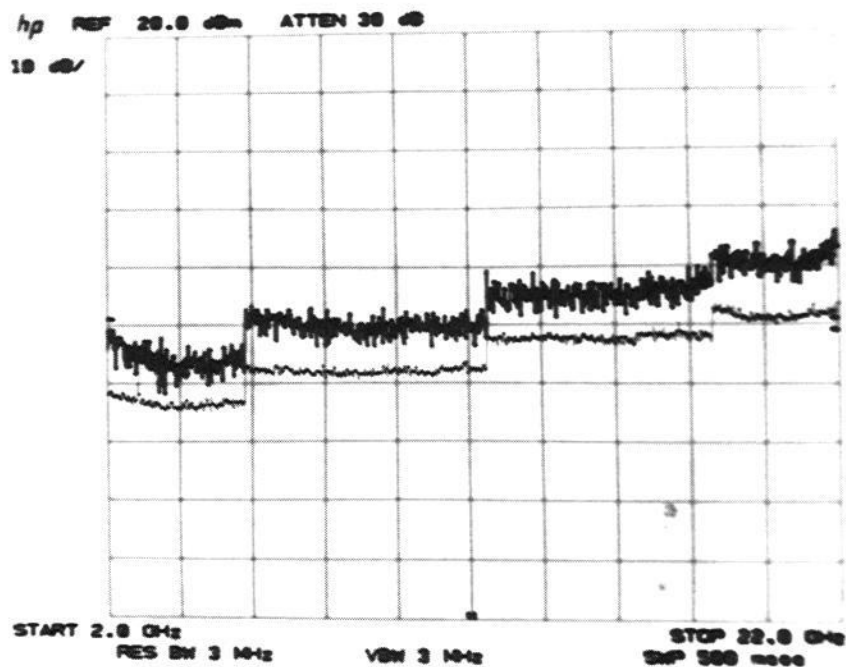


Photo n°5 - Capteur : antenne UHF (0,1-1GHz) ref à +20dBm - bande 2 à 22GHz  
Générateur : configurations diverses

Oscillateur de LAKHOVSKY complet

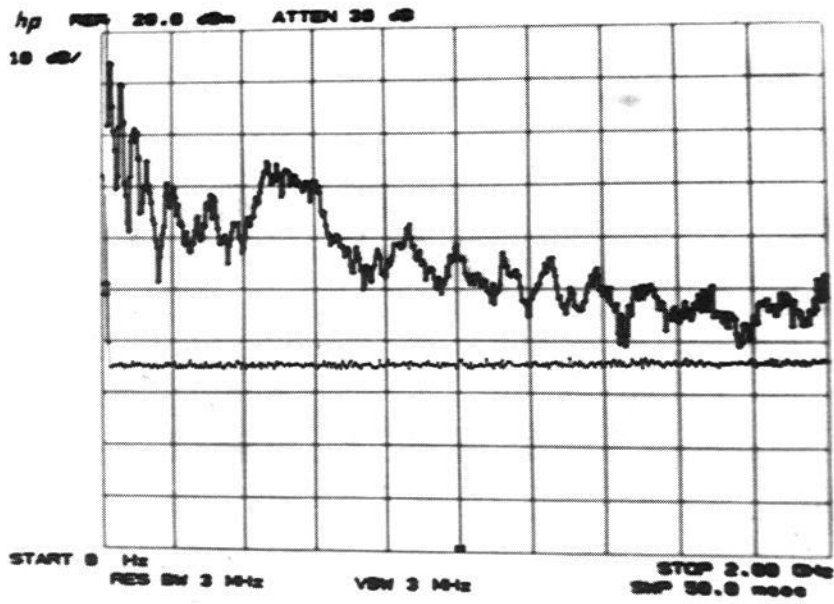


Photo n°6 - Capteur : antenne UHF (0,1-1GHz) ref à +20dBm - bande 0 à 2GHz  
Générateur : résonateurs reliés aux sorties 1 et 2

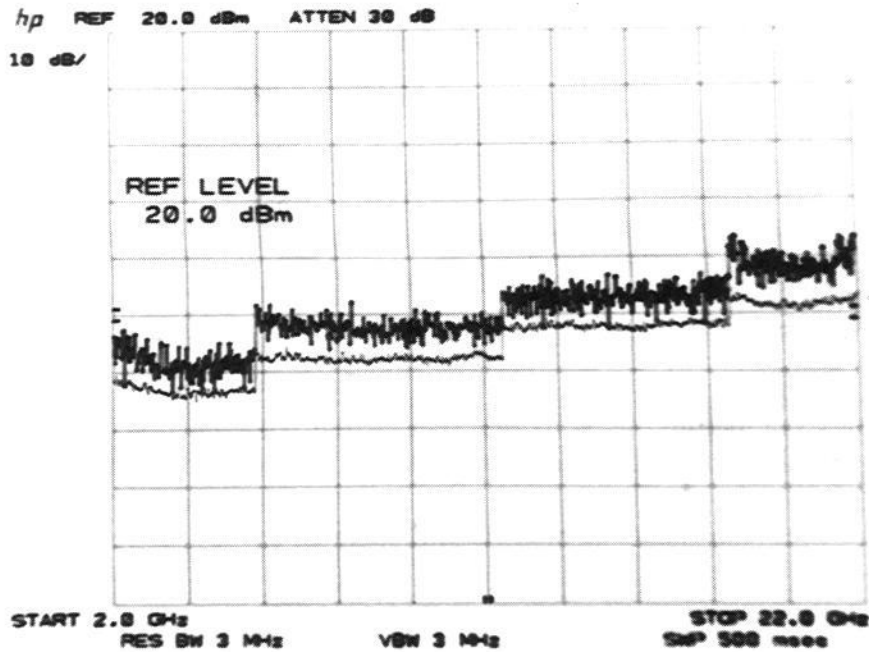


Photo n°7 - Capteur : antenne UHF (0,1-1GHz) ref à +20dBm - bande 2 à 22GHz  
Générateur : résonateurs reliés aux sorties 1 et 2

## Oscillateur de LAKHOVSKY complet

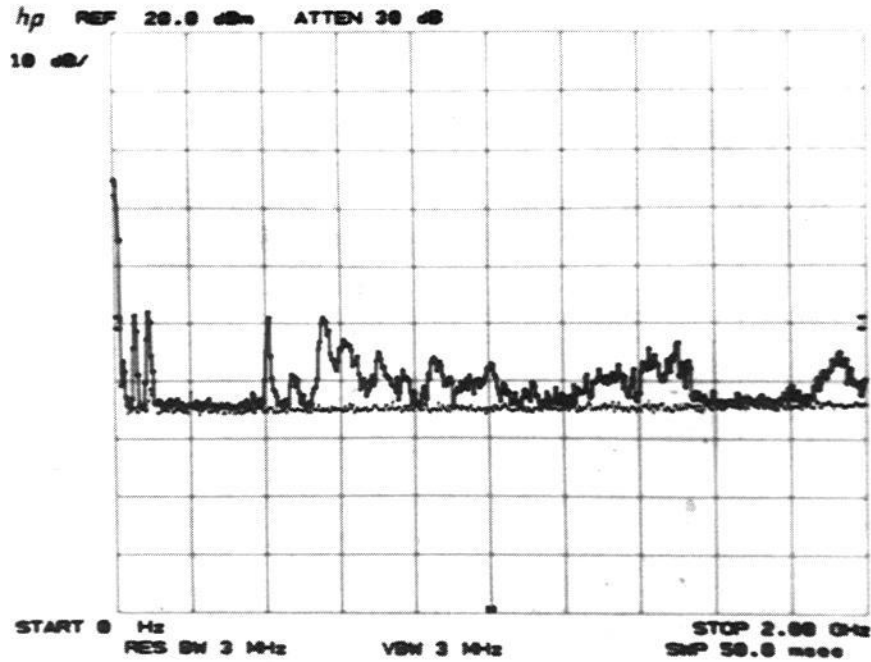


Photo n°8 - Capteur : antenne UHF (0,1-1GHz) ref à +20dBm - bande 0 à 2GHz  
Générateur seul

### 9.1.3 Conclusion

Ces essais nous ont permis de voir que l'adjonction d'excitateurs (bobine de houdin) n'augmentait pas la puissance de la réponse spectrale de Oscillateur de LAKHOVSKY

La distance entre les résonateurs ne modifie pratiquement pas le spectre d'onde émis

L'absence d'un de ceux ci donne également le même résultat.

Le spectre émis par le générateur seul est relativement faible et nous conforte dans les résultats obtenus